

1996. I

РАДИО

АУДИО • ВИДЕО • СВЯЗЬ • ЭЛЕКТРОНИКА • КОМПЬЮТЕРЫ

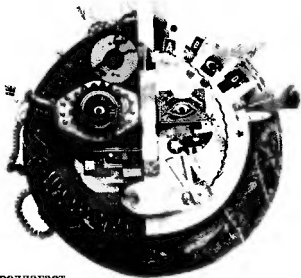


ИЗДАЕТСЯ С 1924 ГОДА

1
1996

Сегодня

**рынок средств связи
выглядит примерно вот так:**



**громное множество фирм предлагает
купить у них какие-то непонятные
устройства, которые, по их мнению, Вам совершенно необходимы.
Возможно так оно и есть.**

Но положение вещей меняется быстрее, чем Вы успеваете за этим следить. Фирма ЮНИКОМ предлагает Вам не только широчайший выбор различных средств связи и услуг. В течение этого года на страницах журнала мы будем информировать Вас обо всем самом интересном в мире профессиональных и любительских средств связи, поможем Вам разобраться и выбрать то, что Вам действительно необходимо.



есть спектр проф-
фессиональных
средств связи для
обеспечения работы
служб безопасности, банков, авиа-
и транспортных компаний в диа-
пазонах **160 МГц, 300 МГц,
400 МГц, 800 МГц**
Продажа, монтаж и полное сервис-
ное обслуживание.



любительские средства связи -
от наиболее современного и
высокотехнологичного оборудова-
ния производства ведущих зару-
бежных компаний до недорогих и
простых в эксплуатации
устройств.



информация о новых и старых
технологиях. История развития
радио. Основные принципы действия рас-
пространенных и уникальных средств связи.

Москва
АО - Радиотехцентр
(035) 6-96631

Санкт-Петербург
ЗАО "Аэроинформ"
(812) 1105377

Воронеж
МФ "Эра-1"
(073) 2 560072, 736810,
736812 ф.

Липецк
ОАО "Липецк"
(074) 2 415000

Ставрополь
ИП "ЮНИКОМ" (865) 2 762174

Именно так мы поможем Вам решить задачу.

ЮНИКОМ
UNIQUE COMMUNICATIONS

Тел./факс : (095) 930 80 80



РАДИО

1. 1996

МАССОВЫЙ ЕЖЕМЕСЯЧНЫЙ
РАДИОТЕХНИЧЕСКИЙ ЖУРНАЛ

аудио • видео • связь
электроника • компьютеры

ИЗДАЕТСЯ С 1924 ГОДА

УЧРЕДИТЕЛЬ: РЕДАКЦИЯ
ЖУРНАЛА "РАДИО"

Зарегистрирован Комитетом РФ по
печати 21 марта 1995 г.
Регистрационный № 01331

Главный редактор

А.В. ГОРОХОВСКИЙ

Редакционная коллегия:

И.Т. АКУЛИНИЧЕВ, В.М. БОНДАРЕНКО,
С.А. БИРЮКОВ (отв. секретарь),
А.М. ВАРБАНСКИЙ, А.Я. ГРИФ,
А.С. ЖУРАВЛЕВ, Б.С. ИВАНОВ,
А.Н. ИСАЕВ, Н.В. КАЗАНСКИЙ,
Е.А. КАРНАУХОВ, В.И. КОЛОДИН,
А.Н. КОРСТОНОШКО, В.Г. МАКОВЕЕВ,
В.В. МИГУЛИН, С.Л. МИШЕНКОВ,
А.Л. МИСЛАВСКИЙ,
Б.Г. СТЕПАНОВ (зам. гл. редактора).

Художественный редактор

Г.А. ФЕДОТОВА

Корректор Т.А. ВАСИЛЬЕВА

Компьютерная верстка

Ю. КОВАЛЕВСКАЯ

Адрес редакции: 103045,
Москва, Селиверстов пер., 10

Телефон для справок и группы
работы с письмами — 207-71-28.

Отделы: общей радиоэлектроники —
207-88-16;

аудио, видео, радиоприема
и измерений — 208-83-05;

микропроцессорной техники и тех-
нической консультации — 207-89-00;

оформления — 207-71-69;

группа рекламы и реализации —
208-99-45

Тел./факс (095) 208-77-13;
208-13-11.

"КВ-журнал" — 208-89-49.

РИП "Символ-Р" — 208-81-79.

Наши платежные реквизиты: почто-
вый индекс банка — 101000; для ин-
дивидуальных платяльщиков и орга-
низаций г. Москвы и области — ИИН
7708023424, ЗАО "Журнал "Радио",
р/сч. 400609329 в АКБ "Бизнес" в
Москве, МФО 44583478, уч. 74; для
иных организаций-платяльщи-
ков — р/сч. 400605329 в АКБ "Бизнес",
МФО 201791, корр.сч. 478161600 в
РКЦ ГУ ЦБ

Редакция не несет ответственности за
достоверность рекламных объявлений.

Подписано к печати 21.12.1995 г.
Формат 60х84/8. Бумага мелованная.
Гарнитуры "Гельветика" и "Прагма-
тика". Печать офсетная. Объем 8,0
печл., 4,0 бум. л. Усл. печ. л. 7,4.

В розницу — цена договорная.

Подписной индекс по каталогу
"Роспечати" — 70772

Отпечатано UPC Consulting LTD
(Vaasa, Finland)

© Радио, 1996 г.

РАДИОКУРЬЕР

АКТУАЛЬНАЯ ТЕМА

РЕФОРМА В СВЯЗИ

ВИДЕОТЕХНИКА

А. Пескин. МИКРОСХЕМЫ ТДАМ66** В МНОГОУСТУПНОМ ДЕКОДЕРЕ
СТРУКТУРНАЯ СХЕМА И ФОРМИРОВАТЕЛЬ ОПознаватель ТДАМ650.
Ю. Петропавловский. ВИДЕОТЕХНИКА ФОРМАТА VHS. СИСТЕМЫ БЕС-
КОНТАКТНОГО ЭЛЕКТРОПРИВОДА—ОСОБЕННОСТИ И РЕМОНТ (с. 11)
А. Мельник. АНТЕННЫ С КОЛЬЦЕВЫМИ ВИБРАТОРАМИ (с. 14) А. Ануф-
риев. СОПРЯЖЕНИЕ ВИДЕОМАГНИТОФОНА С ТЕЛЕВИЗОРОМ "РЕКОРД
ВЦ-311" (с. 16)

ЗВУКОТЕХНИКА

Д. Панкратьев. УСОВЕРШЕНСТВОВАНИЕ ПРОЦЕССОРНОГО БЛОКА СТЕ-
РЕОКОМПЛЕКСА "ВЕГА-119С". М. Корзинин. СХЕМОТЕХНИКА УСИЛИ-
ТЕЛЕЙ МОЩНОСТИ ЗВУКОВОЙ ЧАСТОТЫ ВЫСОКОЙ ВЕРНОСТИ (с. 22)

МИКРОПРОЦЕССОРНАЯ ТЕХНИКА

В. Чернышев. ЧЕРТЕЖИ ПЕЧАТНЫХ ПЛАТ—НА "РАДИО-86РК". С. Гру-
шин, В. Мелюхин. FLASH-ПАМЯТЬ INTEL. ИДЕТ НА СМЕНУ EPROM (с. 30)

ИЗМЕРЕНИЯ

С. Козал. ЦИФРОВЫЕ ОСЦИЛЛОГРАФЫ: ВОЗМОЖНОСТИ И ПРИМЕНЕ-
НИЕ. И. Нецаев. ВТОРАЯ ПРОФЕССИЯ БЫТОВОГО ДОЗИМЕТРА. ИЗМЕ-
РИТЕЛЬ ЕМКОСТИ КОНДЕНСАТОРОВ (с. 36)

"РАДИО" — НАЧИНАЮЩИМ

А. Мохов. УПРАВЛЕНИЕ МОДЕЛЯМИ ПО РАДИО. ЧИТАТЕЛИ ПРЕДЛАГА-
ЮТ (с. 43)

ЭЛЕКТРОНИКА В БЫТУ

С. Бирюков. СИМИСТОРНЫЕ РЕГУЛЯТОРЫ МОЩНОСТИ

ЭЛЕКТРОННЫЕ МУЗЫКАЛЬНЫЕ ИНСТРУМЕНТЫ

В. Баников. ТРЕХТОНАЛЬНЫЕ МУЗЫКАЛЬНЫЕ СИГНАЛИЗАТОРЫ

ДОМАШНИЙ ТЕЛЕФОН

Д. Ганженко, И. Коршун. ДВЕ КОНСТРУКЦИИ НА PIC-КОНТРОЛЛЕРЕ

ЭЛЕКТРОНИКА ЗА РУЛЕМ

В. Вилл. УЛЬТРАЗВУКОВОЙ АВТОСТОРОЖ

ИСТОЧНИКИ ПИТАНИЯ

Д. Данюх, Г. Пилько. СЕТЕВОЙ БЛОК ПИТАНИЯ ПЕРЕНОСНОЙ РАДИО-
АППАРАТУРЫ

РАДИОЛЮБИТЕЛЮ-КОНСТРУКТОРУ

В. Вяхирев, М. Душоносский. ТЕРМОРЕЗИСТОР—ОГРАНИЧИТЕЛЬ ПУСКО-
ВОГО ТОКА ЛАМПЫ НАКАЛИВАНИЯ

ЗА РУБЕЖОМ

ИСПЫТАТЕЛЬ КВАРЦЕВЫХ РЕЗОНАТОРОВ

СПРАВочНЫЙ ЛИСТОК

В. Гаврилов, В. Тух. МОЩНЫЕ ТЕРМОРЕЗИСТОРЫ С ОТРИЦАТЕЛЬНЫМ
ТКС

ОБМЕН ОПЫТОМ (с. 19, 59). НА КНИЖНОЙ ПОЛКЕ (с. 31, 51). НАША КОНСУЛЬТА-
ЦИЯ (с. 63). ДОСКА ОБЪЯВЛЕНИЙ (с. 21, 24—26, 32, 38, 39, 49, 56, 57, 60, 64—66)

НА ПЕРВОЙ СТРАНИЦЕ ОБЛОЖКИ. С 3 по 11 октября 1995 г. в Же-
нэе прошла выставка "TELECOM-95". На крупнейшей в мире экспози-
ции в области телекоммуникаций, проводимой раз в четыре года,
свои новейшие разработки представили более 1000 фирм из многих
стран мира. Из наших снимков — торжественное открытие выставки;
экспозиции России, концерна "ALCATEL" и фирмы "NOKIA".

Фоторепортаж А. ГОРОХОВСКОГО

Вот и наступил Новый, 1996 год. В нашей с вами жизни, в жизни страны в декабре прошлого года произошло большое событие — избран новый парламент. Будем надеяться, что его депутаты не внесут радикальных изменений в ту политическую и экономическую обстановку, в которой мы стали привыкать, а точнее, стали вырабатывать в себе качества, необходимые для работы в условиях рыночной экономики. Как показывают опыты, многие развитые страны, в том числе и те, которые достигли успехов в последние 20–30 лет, в своем развитии опирались на законы именно такой экономики.

По тому пути идет сейчас и наша страна. Сошлось лишь на один положительный пример работы в новых условиях. Творчески осваивая возможности рыночной экономики, близкая нам отрасль — «Связь» за четыре года реформ существования продвинулась вперед, несмотря на трудности нашего непростого времени. Об этом идет речь в первой статье этого номера — «Реформа в связи». Думается, пример связистов весьма убедительный. К сожалению, многие предприятия радиотехнического и электронного профиля все еще не нашли себя и зачастую пребывают в плачевном состоянии. Об этом свидетельствует тот факт, что отечественные изделия бытового радиоэлектроника почти исчезли с рыночных полок магазинов — они не конкурентоспособны в сравнении с аналогичной зарубежной аппаратурой. Эти проблемы не могут на интересовать наших читателей, а редакция с осени публикации в 1996 году читателей помогла им разобраться в создавшейся ситуации, ответить на волнующие их вопросы.

Проведенный нами в прошлом году анкетный опрос читателей «Радио» показал, что они, в основном, положительно относятся к традиционным рубрикам журнала, удовлетворены уровнем помещаемых в нем статей, их тематикой. Конечно, это не означает, что в ответах на вопросы анкеты нет вполне справедливых критических высказываний и полезных пожеланий. В одном из ближайших номеров будет опубликован достаточно подробный анализ полученных редакцией откликов.

В 1996 году мы сохранили рубрику журнала. Но редакция совершенно ясно, что надо расширять, к примеру, такой раздел, как «Справочник листов». Немалый интерес представляет и быстро развивающаяся Си-Би связь (гражданской связи), и мы намереваемся сделать этот раздел обязательным в каждом номере журнала.

Полки магазинов сегодня буквально завалены самыми разнообразными зарубежными радиоэлектронными изделиями. Редакция будет регулярно информировать о них читателей, оценивать преимущества и недостатки этой аппаратуры, квалифицированно советовать ее покупателям.

В ближайших номерах мы намерены ввести постоянную рубрику, материалы которой будут рассказывать о популярных сегодня видах подвижной радиосвязи — сотовой, пейджерной и некоторых других. Дело в том, что число абонентов, среди которых немало наших читателей, пользующихся услугами этих видов связи, постоянно растет. Кроме того, многие на них сейчас работают в фирмах различных форм собственности и профессионально занимаются созданием и обслуживанием сетей подвижной радиосвязи. Подобные статьи окажутся полезными и для тех, кто различными видами связи просто пользуется.

Напомним, что с 1996 года объем журнала возрастет до 68 страниц. Думается, что в дальнейшем нам удастся еще увеличить его, причем без повышения стоимости журнала.

В наступившем году редакция проведет очередную, ставшую теперь традицией, лотерею среди подписчиков журнала. Как всегда, и ней будут разыграны ценные и поощрительные призы. Более подробно о лотерее «Радио-96» вы прочтете в № 3 журнала.

Думается, наших постоянных и новых корреспондентов заинтересует и такая информация. Уже с № 11 за 1995 год редакция резко повысила авторский гонорар — в среднем до 10000 руб. за каждую журнальную полосу (это примерно пять стандартных машинописных страниц). Из этого, в частности, следует, что вы, опубликовав в журнале статью объемом, скажем, всего около одной полосы, сможете получать журнал в течение полугода. О вашем желании так поступить следует сообщить нам письмом примерно следующего содержания: прошу причислять меня гонорар за статью (или соавторскую часть гонорара) удержат в счет оплаты за подписку на «Радио». Напомним, что подписаться на журнал можно как редакция, так и почтовым отделением. Редакция продолжит издавать «КВ журнал» с периодичностью четыре номера в год.

Надо также учесть, что гонорар будет изменяться в соответствии с темпами инфляции.

Вот очень кратко о том, что нас ожидает в журнале «Радио» в наступившем году.

В заключение хотелось бы новым году пожелать всем вам, дорогие читатели, всего самого доброго, благополучия, успехов в вашем творчестве не ниже радиотехники и электроники.

А. ГОРОХОВСКИЙ, главный редактор

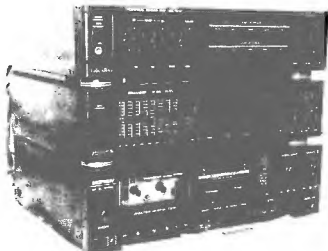
СТЕРЕОКОМПЛЕКС "МОРИОН"

Полный усилитель "Морион 200Y-103C" (на фото сверху) предназначен для высококачественного усиления электрических сигналов от электропроигрывателей, магнитофонов, лазерных проигрывателей и других источников звуковых программ. В усилителе предусмотрена защита акустических систем от перегрева напряжения при включении усилителя, защита усилителя от короткого замыкания в нагрузке и от перегрева выходных транзисторов, имеется индикация включения входа и выхода для записи сигнала на магнитофон и индикация перегрузки выходной цепи подключения акустических систем.

ношение сигнал/шум (взвешенное значение) — 98 дБ; коэффициент гармоник — 0,03%; габариты — 430x110x320 мм; масса — 4 кг.

Стационарный кассетный магнитофон-приставка "Морион МП-101С" (на фото внизу) предназначен для записи и последующего воспроизведения речевых и музыкальных программ на магнитную ленту в кассетах МК60 и МК90.

В магнитофоне применен трехмотовый прямой привод ЛПМ. Используется сендасовая магнитная головка, имеются переключатель типа ленты, вакуумно-люминесцентный индикатор уровня записи и воспроизведения, электронный автоост, эффективная комбинированная система шумо-



Основные технические характеристики. Номинальная (длительная) максимальная выходная мощность на нагрузке 8 Ом — 2x100 (2x200) Вт; эффективный диапазон частот — 20...25000 Гц; коэффициент гармоник — не более 0,05%; потребляемая мощность — не более 330 Вт; габариты — 430x110x362 мм; масса — 13 кг.

Стационарный десятиполосный эквалайзер "Морион Э-103С" (на фото в центре) обеспечивает раздельную регулировку АЧХ каждого из каналов высококачественных звуковоспроизводящих комплексов.

Основные технические характеристики. Пределы регулировки уровня выходного сигнала на частотах 32, 63, 125, 250, 500, 1000, 2000, 4000, 8000 и 16000 Гц — ±12 дБ; от-

ношения, квазисенсорный переключатель режимов работы. В "Морионе МП-101С" предусмотрен обзор записей при перемещении ленты с прослушиванием каждой фонограммы в течение 15 с, возможно программирование воспроизведения не менее 15 участков выбранных фонограмм, автоповтор заданной программы.

Основные технические характеристики. Скорость ленты — 4,76 см/с; коэффициент детонации — 0,14%; рабочий диапазон частот — 31,5...18000 Гц; коэффициент гармоник — не более 2,5%; относительный уровень шумов в канале записи — воспроизведения при использовании ленты с магнитным слоем Fe₂O₃ — не менее 60, а с магнитным слоем CrO₂ — не менее 68 дБ; потребляемая мощность — не более 25 Вт; габариты — 430x120x320 мм; масса — 7,5 кг.

ВНИМАНИЮ ДИСК-ЖОКЕЕВ

Фирма Denon начала серийный выпуск совершенно новых пультов дистанционного управления профессиональными аудиоприемными — декод DN-730R и проигрывателем компакт-дисков DN-600F. Пульт выполнен в виде наручных часов обычных размеров, у которых вместо циферблата имеется кнопчатая клавиатура. Пользователь нажимает в первую очередь диск-жокеи в дисках, пользующиеся большой популярностью.

"Stereo & video"

С СИСТЕМОЙ PAL plus — В БУДУЩЕ

У телевидения высокой четкости по системе HD-Mac пока не очень-то большие перспективы. И прежде всего, из-за несовместимости с уже имеющимися в эксплуатации в огромном количестве старых телевизионных приемников. Поэтому до введения цифровых систем вещания сегодня в качестве альтернативного решения проблемы наиболее приемлемой следует считать модифицированную систему PAL plus. В ее основу положена давно и успешно работающая система цветного телевидения PAL, дополненная элементами, позволяющими полноценно выводить изображение на телевизоры с форматом экрана 16:9.

Телевизоры старых моделей практически тоже способны принимать передачи по новой системе, но без реализации дополнительных возможностей. Прием же телевизионных программ в модифицированном варианте осуществляют лишь при наличии специального блока декодера. Он представляет собой несложное устройство — в новых приемниках оно предусмотрено, а для старых — выпускается в виде узла, который нетрудно установить дополнительно.

Как обстоят дела с подготовкой новых телевизионных программ? Некоторые компании в Германии (ARD, ZDF, ProSieben, BR3) уже приступили к модернизации техники и созданию программ в формате 16:9. Число таких компаний и объем вещания неуклонно растут. Соответственно увеличивается и спрос на широкоформатные телевизоры.

В цифровом телевидении,

развитие которого начинается после запуска спутника "Astra 1E", бизнесмены от телевизионной индустрии конкурентов на ближайшие годы пока не видят.

"Test"

"ВЕРАС РП-225"

Всеголовный приемник "Верас РП-225" рассчитан на прием радиовещательных станций в диапазоне длинных (148,5...283,5 кГц), средних СВ1 (525...1300 кГц) и СВ2 (1800...1607 кГц), коротких 49 м (5950...6200 кГц), 31 м (9500...9775 кГц), 25 м (11700...11975 кГц), 19 м (15100...15450 кГц), 16 м (17700...17900 кГц) и ультракоротких (65,8...74 МГц) волн. Переключение диапазонов — электронное, в дисководе УКВ предусмотрен фиксированный выбор четырех программ.

тракта — 200...3500 Гц, ЧМ — 125...10 000 Гц; максимальная выходная мощность усилителя 34 — 1 Вт; габариты — 350х252х89 мм; масса — 2,5 кг.

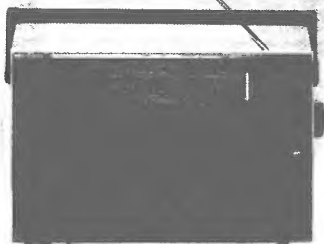
"КАРАОКЕ"

Японские конструкторы создали новое развлечение для владельцев радиоаппаратуры. Называется оно "караоке", что в переводе на русский означает "пустой оркестр, без голоса". На мировом рынке уже продается магнитофоны, проигрыватели и видеомангофоны, обеспечивающие функцию "караоке". При ее реализации с помощью полосовых фильтров (в простых аппаратах) или цифровыми методами (в более сложных) подавляется вокальная партия воспроизводимого музыкального произведения и оригинальное исполнение профессионально-

явился в продаже проигрыватель CD Graphik, способный воспроизводить фонограммы компакт-дисков, на которых вместе с музыкальной записью на текстовой информации. Причем текст может отображаться на экране телевизора, а это значит, что начинающий исполнитель способен заменить профессионального певца даже без знания текста музыкального произведения. Уже начали выпускаться на только классические компактные диски, но и записанные подобным образом видеодиски, а также устройства для их воспроизведения — видеопроигрыватели с функцией CD Graphik. Теперь текст песен появляется на экране телевизора на фоне видеоклипов, причем слова, которые нужно произносить в данный момент, закрываются в такт музыке, так что исполнитель не может ошибиться.

Помимо бытовой, освоено производство профессиональной аппаратуры с функцией "караоке", которой оснащаются бары, ночные клубы, дискотеки. В Японии никто не пойдет в такое заведение, где нет "караоке", оно стало атрибутом любого развлечения. Появились подобные клубы и в Москве. Они также на страдают от отсутствия посетителей.

"Stereo & Video",
"Деловые люди"



БУКЕТ ОТ КОМПЬЮТЕРА

Бутылку французского шампанского или букет цветов отныне можно заказать в Британии не только по телефону, но и с персонального компьютера в режиме "On line". Восемь крупнейших британских домов розничной торговли открыли свои электронные двери через систему CompuServe. Достаточно сделать заказ и указать номер своей кредитной карточки — и можно считать, что покупка сделана.

Пользоваться новой услугой недорого: поверенная плата на взимается, хотя пользователь должен быть подписчиком издания "CompuServe", что стоит 6 фунтов 50 пенсов в месяц.

Правда, потребители пока еще побаиваются использовать это новшество. Как показали исследования, 85 % покупателей не решаются доверить номера своих кредитных карточек компьютерному пространству.

"Известия из Лондона"

Прием радиостанций ведется на две встроенные антенны: магнитную (в ДВ и СВ диапазонах) и телескопическую (в КВ и УКВ диапазонах). В диапазоне УКВ — автоматическая подстройка частоты, отключаемая система бесшумной настройки. Имеется возможность регулирования тембров по низким и высоким частотам, подключения внешней антенны, магнитофона и миниатюрного телефона. У приемника крупная шкала и мягкий вернер. Пользоваться им удобно и приятно.

Питание — универсальное от автономного источника напряжением 9 В (6 элементов 343), от бортовой сети автомобиля напряжением 12 В и сети переменного тока.

Основные технические характеристики. Диапазон воспроизводимых частот АМ

го певца заменяется индивидуальным исполнением песни одним или несколькими слушателями.

За сравнительно короткий срок "караоке" завоевало большую популярность у многих любителей пения, и специалисты считают, что через год-два почти вся бытовая аппаратура будет обеспечивать эту новую функцию. И это вполне вероятно. Ведь очень заманчиво, нажав на соответствующую кнопку магнитофона или проигрывателя и подключив к ним микрофон, услышать свое пение в сопровождении хорошего оркестра, а при известном воображении и способностях даже почувствовать себя эстрадной "звездой".

Совершенствование устройств, обеспечивающих функцию "караоке", продолжается. Например, недавно по-

РЕФОРМА В СВЯЗИ

В промышленно развитых государствах, а теперь и в ряде развивающихся стран, телекоммуникации принадлежат к наиболее динамично прогрессирующим инфраструктурам. И это закономерно. Связь является одним из важнейших факторов подъема экономики государства и вместе с тем весьма доходной отраслью. Сказанное, естественно, в полной мере относится и к России, переживающей ныне сложный политико-экономический этап в своей жизни. И важным условием стабилизации экономики страны является развитие современных средств связи.

В канун нового года министр связи Российской Федерации В. Б. Булгак выступил на Всероссийском совещании руководителей предприятий электрической связи с подробным докладом, в котором проанализировал ход реформ, проводимых в отрасли "Связь", сформулировал как важнейшие задачи сегодняшнего дня, стоящие перед отраслью, так и перспективные.

Нижже мы излагаем фрагментарно основные положения доклада министра связи на этом совещании, безусловно, представляющие интерес для читателей журнала, многие из которых трудятся на предприятиях связи различных форм собственности, как эксплуатационных, так и производящих телекоммуникационное оборудование и аппаратуру, не говоря уже о том, что все мы ежедневно являемся потребителями услуг связи.

Анализируя четырехлетний ход реформ в области связи, В. Б. Булгак подчеркнул, что одной из главных задач в этот период явилось создание нормативно-правовой базы, которая бы регулировала деятельность в области связи всех хозяйственных субъектов на территории России.

— За истекшие годы, — подчеркнул министр, — Президентом Российской Федерации, парламентом и правительством, а также федеральными органами исполнительной власти было принято несколько десятков правовых документов. Более трех лет шла работа по подготовке Закона "О связи", который 15 февраля 1995 г. был подписан Президентом Российской Федерации. Однако принятие этого закона не только не завершило создание нормативной базы, но, более того, потребовало разработки новых документов.

В "Радио" № 12 в 1995 г. журнал подробно рассказывал о роли Закона "О связи" в экономической, социальной и общественной жизни страны. Ныне процесс законотворчества применительно к отрасли "Связь" активно продолжается. Идет подготовка комментариев к Закону и пакета документов, например, постановления о порядке присоединения к сети связи общего пользования сетей юридических и физических лиц.

Всероссийское совещание руководителей предприятий электросвязи проводилось впервые после того, когда практически завершилась структурная перестройка отрасли, и министр дал весьма четкую характеристику итогов этого процесса реформ.

В результате структурной перестройки образовались три типа предприятий: почтовой связи, электротелеграфной связи, транслиции программ телевидения и радиовещания. Предприятия электросвязи по организационно-правовой форме относятся преимущественно к акционерным обществам (АО); предприятия, распространяющие программы телевидения и радиовещания, имеют государственный статус. Как показывает анализ, у АО электросвязи вполне устойчивое финансовое положение.

Они положительно зарекомендовали себя как у акционеров, так и у инвесторов. Значительно хуже обстоит дело у государственных предприятий, скованных рядом правовых и тарифных ограничений. Поэтому представляется важным поиск новых организационно-правовых форм для теле- и радиопредприятий. Сейчас готовятся правовые акты по вопросам акционирования этих предприятий.

По мнению министерства, логическим завершением структурной перестройки отрасли является образование крупных финансово-промышленных групп связи. Сама жизнь потребовала объединения усилий различных компаний. Так возникли Ассоциация операторов сотовой и документальной связи, Радорганизация созданы совместные предприятия. Те из них, кто имел финансовую возможность, стали приобретать акции других телекоммуникационных фирм.

Эту практику следует продолжить, строго соблюдая при этом антимонопольное законодательство. В министерстве уже начата предварительная проработка вопросов создания финансово-промышленных групп отрасли. Важно обеспечить замкнутый цикл денежного обращения, что позволит каждому вложенному в отрасль рублю работать с максимальной эффективностью.

На основе Закона "О связи" и вводимых в дальнейшем новых подзаконных актов министерство связи в 1996 г. будет, с одной стороны, способствовать расширению деловой активности и поддерживать инициативы предприятий связи, а с другой — осуществлять государственное регулирование их деятельности. Крайне важно, чтобы все телекоммуникационные сети в России функционировали как единый взаимосвязанный комплекс. Ведь в любой стране эффективнее, четко работающая связь основывается на жестко контролируемом государством рынке телекоммуникационных услуг.

В этих целях более активно будут использоваться механизмы лицензирования и сертификации, а также непременный контроль за деятельностью предприятий связи через органы Главгоссвязнадзора.



Во время проведения выставки "TELECOM-95" в октябре 1995 г. в Министерстве связи РФ В. Б. Булгак (в центре) совместно с шведской фирмой "Эрикссон" подписывает "Меморандум о взаимопонимании в основных принципах сотрудничества в развитии средств и сетей связи на территории Российской Федерации". Слева заместитель министра Н. С. Мердер, справа — начальник управления международного сотрудничества Вячеслав В. Н. Тур.

Фото В. СТЕПАНОВА

Укрепления порядка работы, особенно в радиовещании и телевидении, где используются лицензиями министерства связи более 800, главным образом, коммерческих компаний — дело весьма важное. Строго контролируется техническое состояние передающих устройств. Только в 1995 г. было ликвидировано 51 предприятие.

В настоящее время началось переоснащение лицензиатов и выдача лицензий на новых защитных бланках лицензий.

Углубляющей телефонизации, почтовой и телеграфной связью совершенно естественно проявляется повышенный интерес к тарифам на услуги связи.

Можно соглашаться и не соглашаться с тарифной политикой министерства, оспаривать объяснения экономики отрасли, критиковать взгляды руководителей министерства на эту проблему. Однако министерство обязано ознакомиться с доводами, приведенными в докладе министра, просто необходимо.

Как отметил В. Б. Булгак, тарифы на услуги связи в декабре 1994 г. по сравнению с концом 1991 г. возросли в 1073 раза. Казалось бы, беспрецедентный рост. Но за этот же период в основных отраслях промышленности цены возросли еще больше: в целом по промышленности — в 1122 раза, электроэнергетике — в 2468 раз, на транспорте — в 2197 раз. Из этих цифр наглядно видно отставание роста тарифов на услуги связи от уровня роста цен на продукцию ряда отраслей промышленности, хотя услуги связи в затратах промышленности занимают всего лишь 0,29%. Особенно это касается тарифов на услуги местной телефонной связи, предоставляемые населению и бюджетным организациям.

О низком уровне тарифов для населения свидетельствует и уменьшение доли расходов на услуги связи в бюджете семьи (по данным Госкомстата — 0,3 %). Регулируемые тарифы на услуги связи не компенсируют даже их себестоимости, особенно это касается предприятий телевизионного и радиовещания. Политика балансировать расходы и доходы за счет тари-

фое для хозяйственных организаций ведет к дальнейшему разбросу диапазонов тарифов, что не может не иметь своих границ. Министрство связи в новом году будет принимать меры по дальнейшей либерализации и обложению тарифов для различных категорий клиентов, чтобы же постоянно должны заниматься руководители предприятий связи.

В 1996 г. должен начать действовать государственный орган по регулированию естественных монополий в связи, именно он будет регулировать тарифы на отдельные виды услуг связи.

Неизменной остается позиция министерства и в предоставлении льгот различным категориям пользователей связи. Это однозначно определена в Законе "О связи": тот, кто установил льготы по оплате, тот и должен компенсировать связистам недополученные суммы. Тарифная политика плотную сопрягается с вопросами организации расчетов с абонентами. Министерству предоставляется важным поэтапное введение единой системы расчетов за услуги электросвязи с помощью дебетных и кредитных карточек. Неоднократно обсуждалась проблема введения единой системы оплаты мобильных телефонных разговоров. Здесь тоже немалый резерв экономии. Важны и социальные последствия введения покрываемой оплаты. Введение этой системы расчетов должно сопровождаться глубоко продуманной тарифной политикой и разносторонней работой с клиентами, в частности, важно хорошо представлять себе, что каждый клиент будет оплачивать именно ему оказанные услуги, а не средние по сети.

В ходе реформы принципиально изменились функции и права министерства связи — сокращена управленческая и усилена регулирующая функция министерства. При этом учитывается, что в условиях рыночных отношений на просторах России непрерывно появляются все новые и новые связистские фирмы, компании, предприятия разных форм собственности. В этих условиях тем более важна роль министерства, которое от имени государства осуществляет единую техническую политику на всем телекоммуникационном пространстве. Новая министерство в своей деятельности ориентируется на важнейшее положение Закона "О связи", провозглашающее суверенитет Российской Федерации в области федеральной связи на всей ее территории.

Это положение имеет прямое, непосредственное отношение к развитию и функционированию федеральной сети связи. В своем докладе В. Б. Булгаков привел несколько примеров, оловно иллюстрируя сказанное.

В 1995 г. Государственный комитет электросвязи одобрил принципы присоединения к сети связи общего пользования. К коммутируемым сетям связи общего пользования допускается присоединение только на условиях и в местах, определенных лицензиями. Операторы присоединяемых сетей электросвязи должны компенсировать часть затрат, понесенных на создание сети связи общего пользования.

Это — одна из сторон государственного регулирования в федеральной связи. Другая касается применения оборудования при развитии сети связи общего пользования.

Из-за трудностей технической эксплуатации, вероятности несанкционированного воздействия на системы связи министерство ограничивает многообразие типов применяемого оборудования, в том числе импортного коммутационного оборудования на сетях связи общего пользования. При этом учитывается мировой опыт, в

частности практика Германии. На местных телефонных сетях России сегодня, как правило, допускается не более двух типов цифрового импортного оборудования АТС. Все оборудование подлежит обязательной сертификации. Проектируемые сети должны отвечать установленным требованиям по системам сигнализации, управлению, по оперативно-розыскной деятельности, а проектно-сметная документация — проходить экспертизу. Приемке объектов в эксплуатацию будет осуществляться с обязательным участием представителей Госсвязьнадзора.

Министр в своем докладе анализировал и экономическую стратегию в ходе реформ, которая должна была не замедлять темпы развития электросвязи в условиях становления рыночных отношений. Напомнил некоторые данные, приведенные В. Б. Булгаком. Они свидетельствуют, что в отличие от многих отраслей промышленности отрасль связи достигла устойчивых экономических показателей и продолжает развиваться. В 1994—1995 г. в эксплуатацию введено примерно 2,5 млн номеров АТС. Такого в России не было никогда. За три года введено 45 тыс. новых междугородных телефонных каналов (в 1992 г. их было менее 1000). Обновлен более чем на половину парк междугородных телефонных станций на самом современном оборудовании, введены сотовые сети и сети персонального вызова. При этом государственное финансирование в связь — мизерное. Например, в 1995 г. оно составило менее 6 %.

В чем же заключается "экономическое чудо", позволившее связистам добиться осуществления масштабных программ строительства новейших цифровых телефонных станций, современных коммутационных объектов, других сетей и объектов связи?

— Основную массу инвестиций в 1995 г., — пояснил министр, — дали преимущественно крупные инвестиционные институты и компании, как отечественные, так и зарубежные. Удалось добиться привлечения иностранного капитала в строительство и развитие российской связи не только выгодных для нас условий. Доля иностранных инвестиций выросла в 1995 г. до 43,5 % от всех капиталовложений и составила внушительную сумму — около 520 млн долларов США. Причем большая часть этих средств предоставлена связистам без правительственных гарантий. Это стало возможным в результате структурных преобразований в отрасли, появления в России надежных отечественных компаний, совместных предприятий, развития рынка ценных бумаг.

В 1996 г. ожидается, что сумма инвестиций и финансирование методами рыночной экономики развития электросвязи вырастет до 750 млн долларов США. При этом связисты ориентируются на привлечение крупных инвесторов на конкурсной основе, особенно при продаже больших пакетов акций. Ощущается постоянный возрастающий интерес к акциям компаний связи, несмотря на относительно высокие их цены, просматривается стремление приобрести и сосредоточить пакеты акций в одних руках. Особенно наглядно это проявилось при продаже акций новой российской компании АО "Связьинвест". При этом необходимо увеличить привлечение средств населения в развитие связи, в первую очередь местных телефонных сетей, широко используя механизмы, предусмотренные программой "Российский народный телефон", утвержденной Указом Президента Российской Федерации Б. Н. Ельцина 11 января 1995 г.

В своем выступлении министр коснулся некоторых проблем внедрения в телекоммуникационное пространство принципиально новых для нас средств связи, современных информационных технологий, которые шагнули из-за рубежа. К этим связистам, они не пошли по традиционному еще недавно пути. "Не гнущая". Еще не забыты, например, те бюрократические атаки, через которые пришлось пробиваться, чтобы утвердить в правах гражданства "гражданский диапазон" — 27 МГц (диапазон для СМ-Би радиосвязи). Новые времена — новые подходы. Современные информационные технологии были восторчены цивилизовано, с выделением частотных участков в диапазонах 27 МГц, 100—108 МГц, 450, 800 и 900 МГц и перспективой использования диапазонов 1800 и 2100 МГц. При этом достаточно оперативно готовятся документы для развития телекоммуникаций в новых диапазонах.

Еще несколько лет назад, — говорилось в докладе министра, — трудно было представить, насколько привычными в России станут пейджеры и радиотелефоны, компьютерные сети передачи данных или факсимильная связь. Внедрение новых технологий потребовало создания нормативных документов по их применению. В 1995 г. были приняты "Концепция использования в России транкинговых систем при организации коммерческих сетей связи", "Концепция развития документальной электросвязи". Совместно с ранее принятыми концепциями развития в России сетей спутниковой подстанции радиосвязи общего пользования, пейджерной связи, применения коммутационной техники и ряда других они образуют систему нормативных актов по созданию современных сетей электросвязи в России.

Тем не менее, — подчеркнул министр, — политические и другие изменения, потребовавшие создания нового плана нумерации сети связи Российской Федерации. Кроме того, Междугородный союз электросвязи время 23 часа 59 минут 31 декабря 1995 г. определило как точка отсчета введения пятизначной нумерации мировой сети. Постому в 1996 г. предстоит организовать работу всех связистов России по вводу нового плана нумерации.

Весьма острая озабоченность вызвала проблемы дальнейшего развития спутниковой связи России. Лишь бюджетным финансированием и созданием только государственных ИСЗ тут не обойтись. Представляется, что поиск нестандартных инвестиций для развития космических программ на базе объединения потенциала и ресурсов всевозможных организаций должен стать одной из задач 1996 г. Более четко предстоит определить перспективы использования для космической связи и вещания как отечественных, так и междугородных космических систем "Интерсат" и "Евтелсат". Координацию пользовательных услуг космической связи в международных системах обеспечивает государственное предприятие "Космическая связь".

Сегодняшнее непростое время ставит перед связистами задачу поиска нестандартных путей реализации сложнейших вопросов развития телекоммуникаций на современной научно-технической базе и новейшей технологии. Но с их решением прогресс остановиться не может — возникают новые и еще более сложные проблемы. Такова диалектика развития. Чтобы не отстать, требуется много новых знаний, энергии и инициативы от всех, кто участвует в развитии связи в нашей стране.

В новом году работникам отрасли "Связь" предстоит адаптироваться к объективным условиям развития России.

МИКРОСХЕМЫ TDA46** В МНОГОСИСТЕМНОМ ДЕКОДЕРЕ

СТРУКТУРНАЯ СХЕМА И ФОРМИРОВАТЕЛЬ-ОПОЗНАВАТЕЛЬ TDA4650

А. ПЕСКИН, г. Москва

Описываемый здесь и в последующих номерах журнала много-системный декодер цветности собран на микросхемах серии TDA46** фирмы PHILIPS: формирователе-опознавателе TDA4650, микросхеме-линии задержки с переключаемыми конденсаторами TDA4660, корректоре сигналов TDA4670 и видеопроцессоре TDA4680. В этой части статьи рассмотрена первая из них.

В различных странах мира, а также в ряде стран Европы одновременно используется несколько стандартов цветного телевидения [1]. Поэтому современные телевизоры конструируют с много-системными декодерами цветности. Для обработки сигналов спутникового телевидения и с видеоматричных (стандарты VCR, BETAMAX, VHS) также необходимы многосистемные декодеры. Для удовлетворения этих требований в начале восьмидесятых годов был разработан декодер на микросхеме TDA4555 [2]. Его успешно применяют в телевизорах многих зарубежных фирм уже более десяти лет, однако она требует использования относительно дорогой и малонадежной ультразвуковой линии задержки.

Последние достижения полупроводниковой технологии позволили заменить дискретную линию интегрирующим полосовым фильтром с переключаемыми конденсаторами. С этой целью и был разработан комплект микросхем TDA4650 и TDA4660 [3], первая из которых содержит все компоненты микросхемы TDA4555, а вторая служит для задержки сигнала на одну строку. Для декодера на новых микросхемах характерно точное и

быстрое опознавание телевизионного стандарта как полного цветового телевизионного видеосигнала (ПЦТВ), так и отдельных компонент яркости и цветности в формате VHS видеозаписи. При многосистемном декодировании с использованием линии задержки на переключаемых конденсаторах исключена необходимость применения стеклянной линии задержки и в связи с этим отсутствуют элементы ее согласования, требующие настройки. Уменьшены также перекрестные цветовые помехи при приеме сигналов системы NTSC, благодаря тому что линия задержки в этом случае представляет собой гребенчатый фильтр, и исключена возможность перекрестных помех между поднесущими в сигналах системы SEKAM. Кроме того, переключение кварцевых резонаторов образцовых частот сигналов систем ПАЛ и NTSC обеспечивается встроенным переключателем, что сокращает число элементов декодера. Микросхема TDA4660 может быть использована также в любом другом декодере как полосовой фильтр цветоразностных сигналов.

Цветоразностные сигналы, сформированные на выходах микросхемы TDA4660, могут быть обработаны микросхемой TDA4670 [4] (корректор парабол) и TDA4680 [5] (видеопроцессором). Управ-

ление обоеими микросхемами обеспечивается командами по цифровой двупроводной шине I²C [6]. В микросхеме TDA4680 можно выбрать одну из двух триад входов R, G, B.

Структурная схема декодера на указанных микросхемах изображена на рис. 1. Микросхему TDA4650 вместе с входными контурами на определенное время переключается на декодирование сигналов цветности очередной системы, пока встроенное устройство опознавания не определит, что принимаемый сигнал соответствует включенной системе. Микросхема может обрабатывать сигналы систем и стандартов:

- ПАЛ-B, G, H, I с частотой цветовой поднесущей 4,43361875 МГц, частотой строчной развертки 15625 и частотой кадровой развертки 50 Гц;

- SEKAM-D, K с частотно-модулированными поднесущими 4,406 ("красная") и 4,25 ("синяя") МГц, частотой строчной развертки 15625 и частотой кадровой развертки 50 Гц;

- NTSC-M с частотой цветовой поднесущей 3,579545 МГц, частотой строчной развертки 15734,274 и частотой кадровой развертки 59,94 Гц;

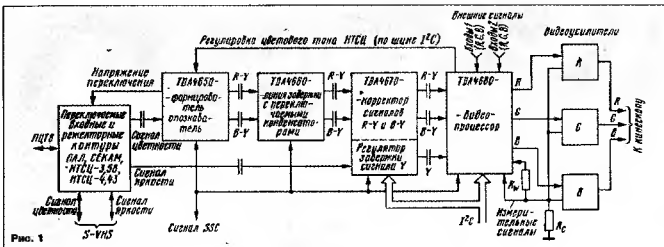
- NTSC с частотой цветовой поднесущей 4,43361875 МГц, частотой строчной развертки 15625 и частотой кадровой развертки 50 Гц.

Продолжительность включения каждого временного интервала опознавания равна 80 мс (четыре кадра), поэтому каждая система будет опознана не позднее чем через 320 мс. Сигналы на выводе 1 и 3 микросхемы появляются через 40 мс после этого. Однако для надежного опознавания системы SEKAM в этой микросхеме так же, как и в TDA4555, имеются узлы приоритетного включения системы ПАЛ, затягивающие цикл опознавания до 520 мс.

Во время опроса систем напряжение на выводах 25–28 микросхемы равно около 2,5 В. Когда необходимая система найдена, постоянное напряжение на соответствующем выводе микросхемы повышается примерно до 6 В, а на остальных трех выводах уменьшается до 0,5 В. Эти напряжения используются для подключения соответствующего входного и релакторного контура.

Как и в TDA4555, в новой микросхеме также можно принудительно включить нужную систему, подав на соответствующий вывод (25–28) управляющее напряжение на менее 9 В.

По материалам зарубежных источников.



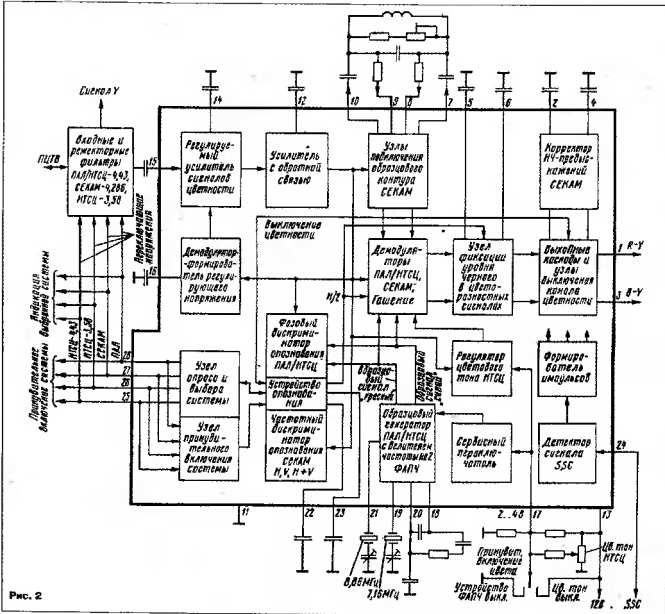


Рис. 2

Структурная схема микросхемы показана на рис. 2. Сигнал цветности через разделительный конденсатор и вывод 15 микросхемы поступает на регулируемый

усилитель устройства АРУ, а затем через усилитель с обратной связью — на демодулятор-формирователь регулирующего напряжения.

С целью регулирования усиления сигналов ПАЛ и НТСЦ с квадратной модуляцией использованы сигналы цветовой синхронизации (вспышки), а ЧМ сигналов СЕКАМ — пакеты поднесущих, расположенных во времени для всех систем — постоянное напряжение формирует общий демодулятор указанных сигналов, причем определяется емкость конденсатора, подключенного к выводу 16 микросхемы. Как и в ТДА4555, усилители сигналов цветности охвачены отрицательной обратной связью по постоянному напряжению, для чего вывод 14 соединен с общим проводом через конденсатор. Глубина регулировки устройства АРУ равна примерно 26 дБ, чем и определяется диапазон значений размаха входного сигнала цветности на выводе 15 микросхемы.

Усиленный сигнал цветности вместе с

сигналом цветовой синхронизации направляется на дискриминаторы опознавания и демодуляторы сигналов цветности, которые блокированы во время строчных и кадровых гасящих импульсов. Сигналы цветности систем ПАЛ и НТСЦ обрабатываются синхронным демодулятором, построенным в виде перекрестно связанных дифференциальных усилителей. Сигналы цветности поданы на эмиттеры транзисторов, образцовые — на их базы. Фаза "красного" сигнала через строку переключается в демодуляторе сигнала системы ПАЛ, для чего на него воздействуют импульсы полусторонней частоты Н/2 с устройства опознавания. При приеме сигналов системы НТСЦ переключения не происходит. На выходах демодулятора сигналов систем ПАЛ и НТСЦ формируются "красный" и "синий" цветоразностные сигналы, причем их размах примерно вдвое меньше размаха сигналов в режиме сигнала СЕКАМ, как изображено на рис. 3. Выравнивание размахов обеспечивается в микросхеме ТДА4680.

Основные технические характеристики микросхемы

Напряжение питания, В.....	10,8...13,2
Потребляемый ток, мА.....	60...80
Размах входного напряжения на выводе 15, мВ.....	20...400
Размах цветоразностного "красного" сигнала на выводе 1 в режиме ПАЛ/НТСЦ, В.....	0,42...0,66
Размах цветоразностного "синего" сигнала на выводе 3 в режиме ПАЛ/НТСЦ, В.....	0,53...0,84
Отношение размахов сигналов на выходах 1 и 3 в режиме НТСЦ.....	0,75...0,83
Размах цветоразностного "красного" сигнала на выводе 1 в режиме СЕКАМ, В.....	0,63...1,32
Размах цветоразностного "синего" сигнала на выводе 3 в режиме СЕКАМ, В.....	1,06...1,87

ВИДЕОТЕХНИКА ФОРМАТА VHS

СИСТЕМЫ БЕСКОНТАКТНОГО ЭЛЕКТРОПРИВОДА — ОСОБЕННОСТИ И РЕМОНТ

Ю. ПЕТРОПАВЛОВСКИЙ, г. Таганрог

Редакция продолжает публикацию цикла статей по ремонту видеомагнитофонов формата VHS. В предлагаемой читателям статье автор приводит дополнительные сведения по микросхемам управления бесконтактными двигателями постоянного тока, вращающими BBF и BB, дает рекомендации по проверке и ремонту этих систем, поясняет их работу, ссылается на интересные примеры, встретившиеся в его практике.

Бесконтактные двигатели постоянного тока (БДПТ) — сравнительно новая разновидность электрических машин. Однако их уже чрезвычайно широко применяют в самых различных устройствах, а в видеомагнитофонах и видеокамерах их наличие просто обязательно. Ведущая страна по выпуску БДПТ — Япония. По малогабаритным двигателям (включая коллекторные) ее доля составляет около 60 % мирового производства. Почти 90 заводов более 50 фирм еще в 1986 г. выпустили свыше 350 млн двигателей для звуковой и видеотехники [1].

Техническая информация, касающаяся особенностей конструкций, характеристик и ремонта БДПТ, для телемастеров весьма труднодоступна, а во многих случаях вообще закрыта по таким, например, причинам, как отсутствие доступных переводов технической литературы по этому вопросу, хотя бы на английский язык, а также нежелание японских фирм раскрывать свои технологические секреты. Кроме того, большинство производителей видеотехники встраивают в конструкции БДПТ электронные блоки, надежность которых зачастую ниже, чем у самих двигателей. Поэтому в фирменных сервисных мастерских принято при отказах электронных узлов заменять весь блок БДПТ полностью. Это связано с такими конструктивными особенностями, как применение поверхностного монтажа. При нем установка и пайка элементов, весьма малых размеров и большей частью на имеющихся маркировки, обеспечивается автоматизированными линиями. В результате действительно трудно даже составить инструкцию по ремонту, а для демонтажа элементов необходим специальный инструмент.

Однако наша действительность такова, что ремонт указанным способом — во многих случаях непосильная роскошь, так как цены на запчасти для видеотехники, поступающие через многочисленных посредников, увеличиваются на сотни процентов. Так, цены на BBF и БДПТ ведущего вала часто достигают половины стоимости всего видеомагнитофона, при средних ценах на микросхемы управления двигателями 20...30 долларов.

Поэтому все же целесообразней заменять при ремонте только вышедшие из строя элементы. Однако возникает две основные проблемы: правильная диагностика и поиск датчиков для замены отказавших. Поскольку в большинстве

случаев радиолюбители и телемастера не располагают фирменной ремонтной документацией с картами режимов и осциллограммами, следует самостоятельно измерить рабочие режимы и снять осциллограммы на исправном экземпляре нужной модели. Учитывая, что в ремонтируемой модели может не оказаться точно такого же видеомагнитофона, представляется полезным иметь таблицы аналогов по применимости микро-

схем управления БДПТ. Ранее в [2] были указаны некоторые сведения, имеющиеся у автора. В публикуемой здесь таблице даны дополнительные материалы по аналогам микросхем для привода БДПТ. Отечественные эквиваленты микросхем: AN6383 — KP1043XA5 (привод BBF), M51721L — KP1023XA1A, KP1023XA1B (привод BBF). Микросхема KP1043XA7 — привод BB с датчиками Холла (прототип автору неизвестен).

Рассмотрим особенности конструкций, работы и ремонта БДПТ на примере привода BBF. Сразу необходимо отметить, что BBF с датчиками положения ротора (ДПР) в виде катушек на статоре в современных видеомагнитофонах практически не применяются. Для ремонта аппаратов с такими двигателями можно воспользоваться информацией в [3], где хорошо описаны устройство и работа BBF видеомагнитофонов PANASONIC — AG-6200, а также электропривода на микросхеме AN6577 (KP1005XA3). Рабочие режимы и соответствующие осциллограммы даны в заводском описании по ремонту видеомагнитофона "Электроника BM-12". В большинстве выпускаемых в настоящее время БДПТ применяют ДПР в виде датчиков Холла. Ведущее положение по их выпуску занимают японские фирмы ASAHI KASEI KOGYO K. K., JVC, DENKI ONYKO K. K., NIPPON BIKUTA и др.

Устройством индукционного преобразователя Холла (ИПХ) фирмы ASAHI KASEI KOGYO K. K. показано на рис. 1, где 1 — пленка из антимоноида индия, 2 — выход-

Микросхема (фирма)	Узел управления	Модель видеомагнитофона, видеокамеры
AN3814K (MATSUSHITA)	BBF	PANASONIC: NV-J30EE, NV-L20EE, NV-SD11AM, NV-J35EE
AN3841SR (MATSUSHITA)	BB	Камеродер PANASONIC — NV-M54E
AN3809FS (MATSUSHITA)	BBF	Камеродер PANASONIC — NV-M54E
BA6416FS (RHOM)	BBF	AKAI: VS-G206EDG, VS-G405EDG; FUJETA — DVR-1181D, DAEWOO — DVR-4288W
BA6486PI (RHOM)	BBF	HITACHI — VT-M727E
BA6827PS (RHOM)	BBF	SUPRA: SV96R, SV95DK, GOLD STAR — P-R516AW
C1244G (FUJITSU)	BB	JVC — HR-S10EG
CXA8004 (SONY)	BB	DAEWOO-Поляртон — DVR-4561D
CXA1251 (SONY)	BB	CONDOR — VCR-8120 (Историкотон — DAEWOO)
CXA8005M (SONY)	BB	SONY — SLV-363EE
JCM5039 (MATSUSHITA)	BBF	JVC — HR-P39A, AIWA — E295DK
HA13403 (HITACHI)	BBF	HITACHI: VT-100E, VT-130E; SHARP — VC-36S
KM3509P (He yot.)	BB	SANYO: VHP-Z30RHD, VHP-Z20NHD, VHP-Z10NHD
LB1616P (SANYO)	BB	AKAI: VS-23EO, VS-22EO, VS-20EO
LS168S (SANYO)	BB	SANYO — VHR-4250M
LB1807 (SANYO)	BB	ORION — N300E-V, AKAI: VS-93EV, VS-R120EDG
LB1809 (SANYO)	BB	AKAI: VS-G205EDG, VS-G406EDS
LB1854 (SANYO)	BB	SUPRA: SV96R, SV95DK, SV95GS; GOLD STAR — P-R516AW
LB1855 (SANYO)	BBF	FUNAI — V-32EMK6
LB1867 (SANYO)	BB	AIWA — E295DK
M51721ATL, M51721SL (MITSUBISHI)	BBF	SHARP: VC-A105B, VC-6V3DP; GOLD STAR — GHV-129S, SHARP — VC-B311N, PHILIPS — VR-6349
M52440ASP (MITSUBISHI)	BB	TOSHIBA — V-100CZ, SHARP: VC-V7B, VC-A105B, VC-6V3DP; PHILIPS — VR-6349
M56730ASP (MITSUBISHI)	BB	ORION — N800E-V, FUJETA — DVR-1181D, DAEWOO — DVR-4288W
M56732AL (MITSUBISHI)	BBF	ORION — N800E-V
MCD001AM (SONY)	BBF	DAEWOO-Поляртон — DVR-4561D
TM2820D (TOSHIBA)	BBF	AIWA — DK910MK II

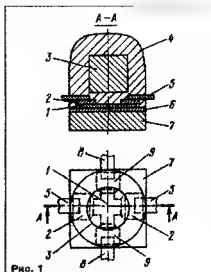


Рис. 1

ные электроды, 3 — концентратор магнитного потока, 4 — корпус из герметизирующего материала, 5 и 6 — внешние выводы, 7 — слой клея, 8 — ферритовая пластина, 9 — токовые электроды. При пропускании через токовые электроды постоянного тока и приложении внешнего магнитного поля, направленного перпендикулярно плоскости пластины, на выходных (Холловских) электродах возникает напряжение Холла, используемое в системах электропривода БДПТ для индикации положения ротора. Для более детального изучения работы ИПХ можно воспользоваться информацией в [4].

Подробное описание работы коммутационных устройств дано в [1], поэтому здесь рассмотрим их функционирование в общих чертах. В БДПТ коммутующее устройство (КУ) выполняет функцию, эквивалентную механическому щеточному узлу в коллекторных двигателях постоянного тока, включающемуся в формировании импульсов тока, последовательно поступающих в соответствующие секции обмоток статора для формирования вращающегося магнитного момента, что и приводит в движение магнит ротора и связанные с ним узлы. Среди множества конструкций БДПТ в видеомэгнитофонах VHS получили распространение три, с осевым рабочим зазором, с радиальным рабочим зазором и гибридные конструкции. Для привода БВГ в основном используют БДПТ с радиальным рабочим зазором и внешним ротором. В таких двигателях магнит ротора представляет собой кольцо с радиальной намагниченностью. Сам магнит обычно установлен на ярме чашкообразной формы, закрепленном на торце подшипника двигателя. Следует иметь в виду, что при разборке и последующей сборке двигателя необходима регулировка переключения видеоголовки (в фазовом канале САР БВГ).

Для примера рассмотрим работу системы управления двигателем БВГ видеомэгнитофона АКАИ — VS22 (VS23, VS26 и др.), принципиальная схема которой представлена на рис. 2. В нее входят сформированные сигналы для частотного (FG) и фазового (PG) каналов САР БВГ на микросхеме IC2 и КУ на микросхеме IC1. Назначения и некоторые параметры сигналов FG, PG описаны в [5].

В этом КУ фирмы MITSUBISHI датчики (ИПХ) положения ротора HD1—HD3 по токовым электродам включены параллельно,

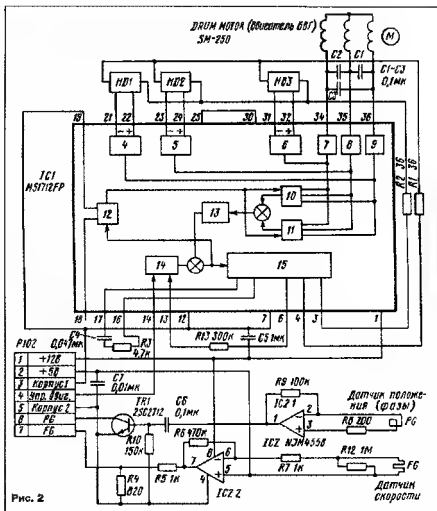


Рис. 2

но, причем ток через них задан узлом дифференциального управления 15 и зависит от управляющего напряжения (DM,CONT), подаваемого с САР БВГ через вывод 14 микросхемы IC1 на блок преобразования управляющего сигнала 14. Следовательно, напряжения Холла от ИПХ, подключенных к дифференциальным усилителям 4—6, и ток импульсов (и, следовательно, скорость вращения) от усилителей мощности 7—9, питающих обмотки двигателя, зависят от управляющего напряжения. Для обеспечения равномерного вращения служат сумматоры положительных и отрицательных напряжений 10, 11, блок установки образцового напряжения 12 и сумматор 13. Для проверки работоспособности КУ на его управляющий вход (в нашем случае контакт 4 разъема P102) необходимо подать внешнее постоянное напряжение. При его изменении от +2 до +5 В скорость вращения БВГ должна меняться в пределах на менее чем от 200 до 2000 об/мин (скорости 1500 об/мин соответствует частота сигнала PG 25 Гц).

Необходимо отметить, что на практике отказу КУ для двигателей БВГ встречаются довольно редко, что можно объяснить облегченным режимом работы элементов, так как для вращения БВГ требуется весьма незначительная мощность. Поэтому микросхемы КУ, как правило, не требуют теплоотвода.

Заслуживает описания довольно необычный случай из практики автора, свя-

занный с алиментами работы КУ двигателя БВГ не другие узлы видеомэгнитофона. Санкт-Петербургское предприятие "Поэтирон" выпускает видеомэгнитофоны DVR-4561D разработки южно-корейской фирмы DAEWOO (под маркой DAEWOO-Поэтирон). Автору попал экземпляр такого аппарата со следующим дефектом: на изображениях не наблюдались четко выраженные горизонтальные шумовые полосы. Обычно это свидетельствует о неправильной юстировке направляющих стоек, видеоголовок и некоторых других элементов ЛПМ, т. е. об отклонении траектории движения видеоголовок от синхронизации. Попытки отъюстировать ЛПМ и замена верхнего цилиндра положительного эффекта не дали. При проведении более тщательного анализа выяснилось, что шумовые всплески на обложке ЧМ сигнала яркости синхронизированы с сигналами переключения (DFF) и в каждом поле наблюдались три таких всплеска с одинаковыми временными интервалами между ними. Их источником был двигатель БВГ. Шумоподобные помехи появлялись синхронно с фронтами импульсов на обмотках статора. В мэгнитофоне применен двигатель SDV-0201A фирмы SONY. Оказалось, что конструкция подшипника БВГ на обеспечивает надежного электрического контактирования верхнего цилиндра с корпусом. Действие заземляющего токоотсосника после опрессовки намотки оказалось недостаточным. Дефект был пол-

ностью устранен после заземления корпусного контакта разъема КУ (зеленый провод) непосредственно под винт крепления ЕВГ и установкой шунтирующего конденсатора К50-35 (27 мкФх25 В) по цепи питания на этом же разъеме (оранжевый провод).

Необорот, отказы КУ двигателей ВВ встречаются довольно часто, так как работа БДПТ ВВ характеризуется большими мощностями с существенным нагревом микросхем КУ и возникновением таких факторов, как различные аварийные узлы ЛПМ, создающие аварийные режимы для двигателей. Как правило, БДПТ ВВ имеют конструкцию с осевым рабочим зазором, с магнитной торцевой системой и плоскими катушками статора. Магнитный поток при этом направлен вдоль оси вращения. Более подробно такие конструкции рассмотрены в [1].

В ранних моделях видеомагнитофонов КУ часто выполняли на маломощных микросхемах, а выходные усилители мощности к ним — на дискретных транзисторах, установленных на теплоотводе. Именно так выполнено КУ видеомагнитофонов NATIONAL—NV700, PANASONIC—AG6200 и др. фирмы MATSUSHITA. В него входят микросхема AN6403 и усилитель мощности на трех комбинированных парах транзисторов 2SB761 (p-p-p) и 2SD856 (n-p-n). Для замены вышедшей из строя подойдет, например, KT819B, KT819B, желательно ссыком отобрать экземпляры с коэффициентом передачи тока $\beta_{\text{нзв}}$ более 30.

Во всех современных моделях видеомагнитофонов КУ выполняют только на специализированных микросхемах. При этом существуют два подхода при конструировании: размещение КУ непосредственно в БДПТ или отдельно, на плате системы управления и авторегулирования. Следует отметить, что с точки зрения удобства диагностики и ремонта второй вариант более предпочтителен, так как в этом случае все элементы имеют маркировку, легко доступны и могут быть без проблем демонтированы. Приверженцем такого подхода в конструировании можно назвать фирму MATSUSHITA. Начиная с первых моделей серии G с двигателем ВВ ВЕК2634 и микросхемой КУ BA6430S (PANASONIC—NV-G12EE и др.), фирма продолжает выпуск видеомагнитофонов с раздельным расположением КУ и БДПТ ВВ (а также ЕВГ) в сериях J, L и в самой последней серии (1993—1995 гг.) SD—SUPER DRIVE (PANASONIC—NV-SD11AM и др.).

Однако большинство других производителей в современных моделях применяют объединенные с двигателем КУ. В связи с тем, что на них часто отсутствуют принципиальные схемы даже в заводских оверсинх инструкциях по ремонту, целесообразно рассмотреть некоторые конкретные примеры из практики автора. Принципиальная схема КУ видеомагнитофона SANYO—VHR-3100EE изображена на рис. 3. В нем ДПР в виде ИГХ Q1—Q3 питаются током от источника напряжения +12 В через резистор R2, а напряжения Холла поступают на дифференциальные компараторы 4—6 в микросхеме IC1. Исправность ИГХ легко проверить осциллографом, последовательно подключая его к каждой паре выводов 15—16, 1, 2, 3—4. Исправному ИГХ соответствует постоянное напряжение 2...3 В, изменяющееся на 20...50 мВ при проворачивании ротора вручную.

Двигатель работает следующим образом. В момент подачи напряжения пита-

ния на одном из ИГХ появляется напряжение Холла, достаточное для срабатывания одного из дифференциальных компараторов 4—6. Селектор сигналов ИГХ 7 формирует два напряжения управления, открывающие соответствующие ключи из V4—V9. Например, при срабатывании ключей V7 и V5 ток течет от источника +12 В через обмотки статора L1 и L2, вызывая поворачивание ротора по часовой стрелке на некоторый угол. Затем срабатывает компаратор, соединенный со следующим по пополюсению ИГХ, ключи V7, V5 закрываются, а V8, V6 открываются, ток течет через обмотки L2 и L3. Так же через ключи V9, V4 включаются и обмотки L3 и L1 и т. д. Двигатель вращается.

Резервирование вращения обеспечивает сменой направления тока через обмотку при соответствующем алгоритме работы селектора 7. В рассматриваемом случае прямое вращение задается напряжением +5 В на контакте 5 разъема CN1, а обратное — нулевым. Для получения равномерного без рывков вра-

щения в КУ вводят одну-две петли обратной связи (на рис. 3 их показаны). Скорость вращения задана контролером тока 8. Зависимость скорости от напряжения на входе управления (контакт 6 разъема CN1) очень крутая: начало движения при 2,35 В, а полный ход при 2,6 В (на холостом ходу).

Кроме отказов, связанных с выходом из строя силовых ключей КУ, встречаются также необычные и труднодиагностируемые дефекты. Один из них был в КУ видеомагнитофона SANYO—VHR-3100EE: после замены вышедшей из строя микросхемы KM3502BP двигатель самостоятельно на запуске. При проворачивании ротора вручную вращение происходило, но с большой неравномерностью и сопровождалось быстрым перегревом корпуса микросхемы. Для детального исследования в автономном, вне видеомагнитофона, режиме работы двигатель был демонтирован. На него подали напряжения питания (+12 В) и управления (с движка переменного резистора,

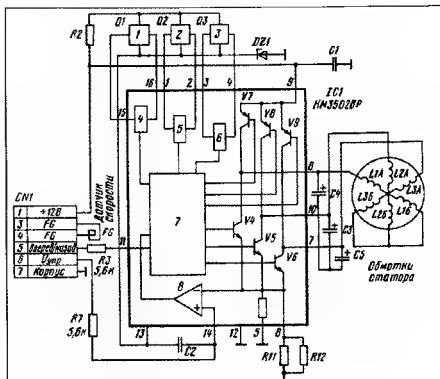


Рис. 3

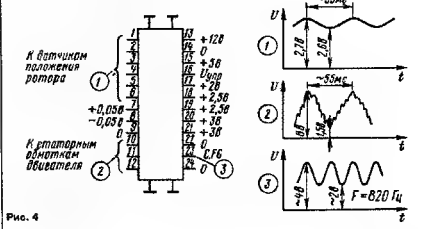


Рис. 4

2...5 В). При этом двигатель нормально работал длительное время. Предполагается о несоответствии норме управляющих сигналов с САР ВВ не подтвердилось.

Причина дефекта крылась в особенностях конструкции двигателя. Статор этого и подобных БДПТ выполнен в виде сплошной структуры: на стальное основание нанесен слой диэлектрика с хорошей теплопроводностью, на нем нанесены печатные проводники, прикреплены обмотки статора и все элементы, включая микросхему, поверхностным монтажом. Так как основание прикрепляют к станине ЛПМ, то обеспечивается хороший отвод тепла (микросхема снабжена специальными теплоотводящими выводами). Неисправность заключалась в пробое диэлектрика печатной платы под одним из выводов микросхемы (вывод В). В результате один из ключей (V7 на рис. 3) периодически оказывался подключенным к основанию. Дефект был устранен после исключения на работы части печатного проводника, имеющей контакт с корпусом. Обойшлось без обычной в таких случаях замены всего двигателя.

В современных БДПТ (1993—1995 гг.) в микросхемы КУ встраивают и усилители сигналов датчиков скорости (С.Г). Например, в микросхеме M56730ASP фирмы MITSUBISHI такой усилитель обеспечивает размах сигнала С.Г около 2 В. На рис. 4 указаны адреса этой микросхемы (четыре широких вывода в центре не нумеруют), режимы и осциллограммы в случае работы видеомagnetofона при стандартном воспроизведении.

Наиболее впечатляющие параметры (КПД, мощность рассеяния) имеют микросхемы электропривода малогабаритных видеокамер. При очень небольших размерах они, как правило, не требуют теплоотводов. Примером служит комплект микросхем AN3890FBS (привод БВ) и AN3841SR (привод ВВ) фирмы MATSUSHITA, применяемых в широко распространенной у нас линейке видеокамер этой фирмы с торговыми марками PANASONIC: NV-M9000E, NV-M54E, AG-455; GRUNDIG: LC-2935S и др.

В заключение нужно отметить, что многие микросхемы электропривода различных фирм взаимозаменяемы либо полностью, либо с добавлением некоторых внешних навесных элементов. Однако в связи с тем, что виды корпусов, раскладки и число выводов у этих БИС отличаются большим разнообразием, подобрать нужный эквивалент довольно трудно. Поэтому для постоянного практикующих специалистов и мастеров весьма полезно снимать осциллограммы для собственного банка данных, поясняющие работу хотя бы КУ привода ВВ, отказы которых встречаются чаще.

ЛИТЕРАТУРА

1. Маркелов В. А., Петров А. М., Тейсман В. А., Тимочин А. Б. Бесконтактные двигатели постоянного тока для аудио- и видеоаппаратуры. — Обзор по электронной технике. Серия 6: Материалы, вып. 5, с. 3—5, 6—23, 56, 57. — М.: ЦНИИ "Электроника", 1987.
2. Петропавловский Ю. Видеотехника формата VHS. — Радио, 1995, № 6, с. 12—15.
3. Афанасьев А. П., Самохин В. В. Выбывшие видеомagnetofоны. — М.: Радио и связь, 1989, с. 83—94.
4. Тейсман В. А. Индукционные преобразователи Холла для бесконтактных двигателей постоянного тока. — Обзор по электронной технике. Серия 1, Электроника СВЧ, вып. 7. — М.: ЦНИИ "Электроника", 1988.
5. Петропавловский Ю. Видеотехника формата VHS. — Радио, 1993, № 5, с. 8—11, № 6, с. 5—7.

АНТЕННЫ С КОЛЬЦЕВЫМИ ВИБАТОРАМИ

А. МЕЛЬНИК, пос. Марьино Рыльского р-на Курской обл.

В журнале описано много антенн различных конструкций для приема телевизионных сигналов как в диапазоне метровых (МВ), так и дециметровых (ДМВ) волн. В большинстве из них активными служат либо линейный, либо петлевой полуволновый вибратор. Были рассмотрены и рамочные вибраторы. Однако интересным продолжением их совершенствования можно назвать антенны с кольцевыми антенными вибраторами, которые имеют ряд преимуществ. О некоторых вариантах конструкций таких антенн и рассказано в публикуемой здесь статье.

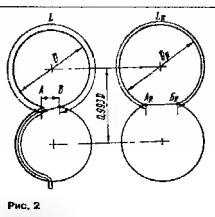
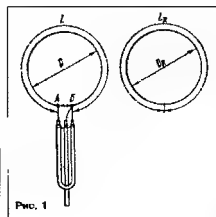
Совершенствована на протяжении пяти поколений цветных телевизоров практически не затронуло повышение их чувствительности. Поэтому при недостаточности плотности телепередающей сети, малой мощности передатчиков и больших потерях в диапазоне ДМВ по-прежнему можно считать актуальной разработку высокоэффективных и относительно простых телевизионных антенн. Как показывает практика, большое разнообразие разработанных ранее антенн по ряду причин (конструктивной сложности, низкой повторяемости из-за критичности к размерам, большому расходу и стоимости материалов и др.) привело к использованию в большинстве случаев либо различных конструкций линейного полуволнового вибратора, что сводит на нет все усилия по подъему их на высоту из-за малого коэффициента усиления и узкой полосы пропускания, либо сложных в изготовлении антенн волновой канал, предназначенных для работы на одном телевизионном канале и с одного направления.

Однако существуют антенны, в основу которых положен кольцевой вибратор, выгодно отличающийся от линейного большим усилением, входным сопротивлением и полосой пропускания, а также механической прочностью и компактностью. Они конструктивно просты, легко повторяемы, позволяют достичь большого усиления при широкой полосе пропускания и хорошем согласовании с 75-оматическим сопротивлением телевизионного кабеля и нагрузкой, обеспечивающем режим бегущей волны.

Кольцевой вибратор, показанный на

рис. 1, представляет собой проводник в форме кольца, периметр которого равен средней длине волны λ_{cp} принимаемого телевизионного канала для полуволнового кольцевого вибратора и $2\lambda_{cp}$ для одноволнового. Имещий входное сопротивление 292 Ом кольцевой полуволновый вибратор хорошо согласуется с 75-омным коаксиальным кабелем полуволновым U-коленом (рис. 1), длина которого равна $\lambda_{cp}/2K_{cp}$, где λ_{cp} — средняя длина волны принимаемого телевизионного канала, а K_{cp} — коэффициент укорочения кабеля, обусловленный уменьшением длины электромагнитной волны в коаксиальном кабеле по отношению к вакууму и определяемый этой конструктивной исполнением (для наиболее распространенных кабелей РК-75-4-11, РК-75-4-13, РК-75-4-15 $K_{cp} = 1,52$). Такая антенна имеет усиление 2 дБ (здесь и далее приводятся значения коэффициента усиления относительно середины метрового диапазона телевидения, следует иметь в виду, что с ростом частоты принимаемого телевидения прирост коэффициента усиления плавно увеличивается, достигая 100% в диапазоне ДМВ) и предназначена из-за наличия узкополосного симметрирующе-согласующего устройства для приема одного телеканала в зоне уверенного приема.

Размеры вибратора определяют по формулам: $D = 1,037 \lambda_{cp}/\pi$; $A/B = 0,06D$; $L = 3,08D$, где D — диаметр кольца; A/B — расстояние между точками разрыва, L — длина используемого для изготовления вибратора проводника.



Если на удалении $0,2\lambda_{\text{св}}$ от вибратора установить рефлектор (рис. 1), то коэффициент усиления антенны возрастает до 10 дБ, а уменьшившееся до 200 Ом входное сопротивление вибратора не вносит рассогласования с фидером при КЕВ на ниже 0,5.

Конструктивно рефлектор может быть кольцевым, линейным или сплошным. Кольцевой рефлектор изготавливают в виде замкнутого кольца диаметром $D_{\text{к}}=1,08D$ из проводника длиной $L_{\text{к}}=3,39D-3,14D$. Линейный рефлектор набирают с шагом $0,06\lambda_{\text{св}}$ в диапазоне МВ до получения высоты, равной D , из линейных вибраторов длиной $1,2D$. В диапазоне ДМВ шаг набора рефлекторного полотна уменьшается до $0,05\lambda_{\text{св}}$. Сплошной рефлектор выполняют из листового металла, фольгированного материала или мелкоструктурной металлической сетки шириной $1,2D$ и высотой D .

Из двух, трех или четырех таких антенн удобно формировать синфазную антенную решетку, обеспечивающую усиление свыше 12 дБ и хорошее согласование по входному оспротивлению с 75-омным фидером. Согласование решеток может быть откорректировано изменением расстояния между вибратором и рефлектором антенн. Устанавливают их взаимно одну над другой с шагом $0,5\lambda_{\text{св}}$, который действует исключительно размерами линий связи. Однако максимум усиления достигается при шаге $0,65\lambda_{\text{св}}$ в случае использования двух антенн, $0,75\lambda_{\text{св}}$ при трех и $0,8\lambda_{\text{св}}$ при четырех антеннах. В этом случае удобно пользоваться линейной связью, примененной в рассмотренной ниже антенне, названной условно "Дуплет".

Непосредственное синфазное включение, как изображено на рис. 2, двух полу-волновых колец, обеспечивает усиление 6 дБ с незначительным сужением полосы пропускания одиночного вибратора. Входное сопротивление антенны при этом становится равным 146 Ом. Применение рефлектора дает наибольший прирост коэффициента усиления 7 дБ при расстоянии до рефлектора $0,2\lambda_{\text{св}}$ для кольцевого, $0,24\lambda_{\text{св}}$ для сплошного и $0,25\lambda_{\text{св}}$ для линейного. Входное сопротивление антенны в зависимости от расстояния до рефлектора 0,1, 0,15 или $0,2\lambda_{\text{св}}$ находится в пределах 66...72, 79...86 или 91...99 Ом соответственно. Начиная с расстояния $0,25\lambda_{\text{св}}$, рефлектор на входное сопротивление антенны практически не влияет.

Очевидно, что использование кольцевого рефлектора, установленного на расстоянии $0,2\lambda_{\text{св}}$ от вибратора, позволяет с хорошим согласованием выполнить непосредственное подключение 75-омного коаксиального кабеля, который в целом симметрирования должен быть проложен по половине нижнего кольца. Размеры кольцевого рефлектора определяют по формулам: $D_{\text{к}}=1,08D$; $A_{\text{к}}B_{\text{к}}=0,37D$; $0,4D$; $L_{\text{к}}=2,76D-2,98D$, где D — диаметр полу-волнового кольцевого вибратора, определяемый по формуле $D=\lambda_{\text{св}}/\pi$ (остальные размеры вибратора аналогичны размерам одиночного кольцевого вибратора), $D_{\text{к}}$ — диаметр каждого из колец кольцевого рефлектора, $A_{\text{к}}B_{\text{к}}$ — линейный размер соединительного проводника, $L_{\text{к}}$ — длина используемого для изготовления каждого из колец рефлектора проводника.

В целях более точной настройки рефлектора на максимальное подавление излучения в обратном направлении от-

резок $A_{\text{к}}B_{\text{к}}$ может быть заменен гибким проводом, длину которого подбирают.

Как показывают измерения в диапазоне ДМВ, полоса пропускания (по уровню 0,7) кольцевого вибратора равна 80 МГц при возможной полосе рабочих частот (по уровню около 0,5) 330 МГц. Однако она на может быть использована полностью из-за необходимости применения узкополосных симметрирующих согласующих устройств и (или) линий связи для согласования с 75-омным фидером. Полоса пропускания двойного кольцевого вибратора равна 32 МГц при возможной полосе рабочих частот 220 МГц, в случае непосредственного подключения к нему кабеля снижения, как и в описываемых ниже антеннах, условно названных "Мечта" и "Дуплет", используется полностью. Двойной кольцевой вибратор захватывает 26 телевизионных каналов (8 МГц). Зона основного резонанса имеет ширину в четыре телеканала, выше и ниже которой расположены линейные участки с коэффициентом усиления на уровне 0,45 от максимального значения протяженностью 8 и 14 телеканалов соответственно.

Антенна, образованная синфазным включением двух двойных полу-волновых колец, как изображена на рис. 3, имеет усиление 10 дБ и предназначена для ведения дальнего телевизионного приема. По своей структуре эта антенна аналогична восьмилучевой решетке с вертикальным расположением линейных полу-волновых вибраторов, и поэтому их параметры схожи: полоса пропускания (при значении КСВ, равном 0,5...1) — 15 МГц, ширина диаграммы направленности в горизонтальной плоскости — 60° без рефлектора или 50° с рефлектором. Однако вертикальный угол излучения значительно больше и равен 60° .

По вариантам питания колец вибраторов можно собрать модификации этой антенны, условно названные "Мечта" и "Дуплет".

Антенна "Мечта", изображенная на рис. 3,б, имеет симметричное подключение двойных колец вибраторов к точкам питания АБ согласованной симметричной линией передачи с волновым сопротивлением 150 Ом, составленной из двух отрезков коаксиального кабеля с волновым сопротивлением 75 Ом. Так как согласованная линия передачи обеспечивает режим бегущей волны, то при выборе длины отрезков кабеля следует руководствоваться лишь соображениями удобства монтажа, соблюдая при этом равенство длин всех отрезков кабеля по длине оплетки. В этом случае волновое сопротивление антенны в точках питания будет равно 73 Ом, а полоса пропускания будет определяться полосой пропускания двойного кольцевого вибратора.

При приеме одного телевизионного канала следует использовать болаз простую в изготовлении антенну "Дуплет", показанную на рис. 3,а, в которой зарядный двойной кольцевой вибратор соединен с нижним посредством согласования и настроенной линией передачи с электрической длиной, равной $\lambda_{\text{св}}$, и волновым сопротивлением 150 Ом. Ее изготавливают из двух отрезков коаксиального кабеля с волновым сопротивлением 75 Ом и длиной, равной $\lambda_{\text{св}}/2$. В этом случае фазы сигналов от верхнего и нижнего двойных колец вибраторов в точках питания АБ будут совпадать только на длине волны $\lambda_{\text{св}}$, так как линия передачи с длиной $\lambda_{\text{св}}$ поворачивает фазу сиг-

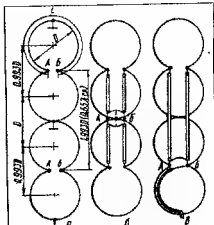


Рис. 3

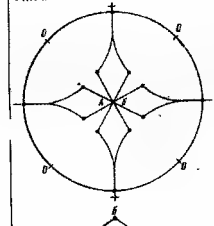


Рис. 4

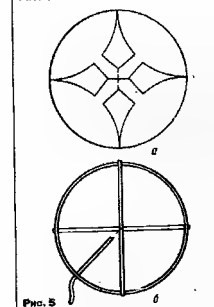


Рис. 5

нала на 360° . Если длина волны принимаемого сигнала отличается от $\lambda_{\text{св}}$, то прошедший через настроенную линию передачи сигнал от зарядного двойного кольцевого вибратора не совпадает по фазе с сигналом от нижнего двойного вибратора, причем сдвиг фаз тем боль-

ше, чем больше отклонение длины волны принимаемого сигнала от $\lambda_{\text{св}}$, а следовательно, тем меньше амплитуда суммарного сигнала в точках питания АБ. Очевидно, что при таком способе питания антенна становится более избирательной.

Необходимо отметить, что несмотря на простоту изготовления, по коэффициенту усиления эта антенна аналогична девятиэлементной антенне волновой канал, имея существенно большую полосу пропускания. При использовании рефлектора, набранного из линейных вибраторов длиной 1,2D с шагом 0,05 $\lambda_{\text{св}}$ для МВ и 0,05 $\lambda_{\text{св}}$ для ДМВ до высоты 4D и установленного на расстоянии 0,2B $\lambda_{\text{св}}$ от антенны, ее коэффициент усиления увеличивается не 7 дБ. При этом высота антенны, а следовательно, и рефлекторной полноты, равна 4D=1,3 $\lambda_{\text{св}}$, что в 2,7 раза меньше, чем высота в 3,5 $\lambda_{\text{св}}$ восьмиэлементной антенной решетки из расположенных с шагом $\lambda_{\text{св}}/2$ друг над другом линейных полуволновых вибраторов, и в 1,4 раза меньше высоты в 1,63 $\lambda_{\text{св}}$ антенны, рассмотренной в [1]. Высокий коэффициент усиления антенны при оптимальном уменьшении высоты антенны (а также рефлекторной полноты в случае его установки) сохраняется за счет оптимального (с точки зрения максимального усиления) расстояния между точками питания двух двойных кольцевых вибраторов, расположенных друг над другом, равного 2D=0,65 $\lambda_{\text{св}}$ [2].

В случае необходимости получения круговой диаграммы направленности следует использовать антенну "Мечта" или "Дуплет" с установкой двойных кольцевых вибраторов во взаимно перпендикулярных вертикальных плоскостях. Коэффициент усиления такой антенны — 6 дБ, волновое сопротивление — 73 Ом.

Несмотря на то что линейный одноволновой вибратор имеет больший на 1,2 дБ коэффициент усиления и большую полосу пропускания, чем полуволновой, он не находит применение в практике телеприема из-за высокого (более десятка килоом) входного сопротивления и больших габаритов. Однако построенная не его основе антенна, названная условно "Солнышко", позволяет конструктивно обойти указанные недостатки и получить усиление 7,6 дБ, которое может быть увеличено на 3 дБ в случае применения кольцевого рефлектора.

Антенна "Солнышко", изображенная на рис. 4, представляет собой кольцевой вибратор, состоящий из четырех шлейфовых (дуг такого же кольца) полуволновых вибраторов, сфазированных и соединенных параллельно линиям связи (прямые отрезки), имеющих волновое сопротивление 300 Ом. Так как шлейфовый полуволновой вибратор имеет входное сопротивление 292 Ом, то в точках питания антенны АБ оно равно 73 Ом, причем только в том случае, если все элементы антенны (за исключением линий связи) изготовлены из проводника одного диаметра. Для получения волнового сопротивления линии связи 300 Ом необходимо, чтобы отношение расстояния между проводниками линиям к диаметру каждого из них было равно четырем. Именно это расстояние определяет токовый разрыв в каждом из шлейфовых вибраторов. При монтаже проводников линий связи поворачивают вокруг осей этих линий на 90° так, чтобы точки питания А и Б оказались по разные сто-

роны плоскости антенны (на рис. 4 одна за другой) и чтобы в каждой из них сохранился проводник с одинаковым знаком (+ в точке Б и — в точке А).

В диапазоне ДМВ эту антенну несложно изготовить печатным способом на фольгированном стеклотекстолите, как изображено на рис. 5. Однако в этом случае одна из точек питания должна быть выполнена в виде перемычки с обратной стороны (на рис. 5,а показана штриховой линией).

Так как длина линий связи намного меньше средней длины волны принимаемого телеканала, то линиями связи можно пренебречь. В этом случае конструкция антенны может быть значительно упрощена, как представлено на рис. 5,б, а в ее АЧХ появляются высокочастотный участок с усилением на уровне 0,3 от максимального. Вертикальный и горизонтальный проводники монтируют по равные стороны кольцевого вибратора, благодаря чему они, пересекаясь, не касаются друг друга в центре, а их середины служат точками питания антенны.

Размеры такой антенны определяют по формулам: $D=1,92\lambda_{\text{св}}/\pi \approx 0,61\lambda_{\text{св}}$, $L=1,92\lambda_{\text{св}}$, где D — диаметр кольцевого вибратора, а L — длина проводника, из которого его изготавливают. В случае использования кольцевого рефлектора его диаметр и длина проводника, из которого изготавливают, следующие: $D_R=1,08D=0,66\lambda_{\text{св}}$, $L_R=D_R\pi=2,07\lambda_{\text{св}}$. Максимум усиления антенны с кольцевым рефлектором наступает при расстоянии до рефлектора 0,25 $\lambda_{\text{св}}$.

Как показывают измерения, в диапазоне ДМВ полоса пропускания упрощенной антенны "Солнышко" равна 60 МГц при возможной полосе рабочих частот 160 МГц. Коаксиальный кабель (75 Ом) подключают к точкам питания антенны непосредственно и выводят из нее через любую из точек нулевого напряжения полуволновых шлейфовых вибраторов. В случае использования этих точек для крепления антенны к мачте изоляция на требуется.

Использование антенны "Солнышко" целесообразно также на каналах 6—12 МВ, так как в этом случае размер кольцевого вибратора будет менее метра.

Отличительной особенностью рассмотренных антенн можно назвать абсолютную симметрию как по горизонтали, так и по вертикали, что обуславливает одинаковый прием электромагнитных волн как горизонтальной, так и вертикальной поляризации.

Элементы антенн изготавливают из медного или алюминиевого провода или трубки диаметром 4...12 мм для МВ и 3...6 мм для ДМВ. В случае использования металлической ленты ее ширина должна быть равна двум диаметрам круглого проводника.

С целью снижения потерь, особенно в диапазоне ДМВ, вызываемых поверхностным эффектом, усугубленным коррозией элементов антенны от погодных факторов, незащищенные участки медных проводников, а также места пайки после тщательного удаления остатков канифоли следует покрыть нитролаком.

ЛИТЕРАТУРА

1. Ковачев В. Телевизионная антенна ДМВ. — Радио, 1994, № 6, с. 38
2. Ротамидель К. Антенны. — М.: Энергия, 1979.

Поскольку в телевизорах ЗУСЦТ-П-51 отсутствует селектор каналов дадиметровых волн, то его необходимо сопрягать с видеоматричным по видеосигналу через НЧ вход. То же самое относится и к видеоселектору. Однако по какой бы схеме блок НЧ входа ни был выполнен, возникает проблема устойчивой синхронизации разарктов, так как эти сигналы поступают с иверсного выхода УПЧ и при его необходимости закрывания исчезают. Как оказалось, простое инвертирование для этой цели видеосигнала с магнитофона на решает проблемы.

Кроме вопроса синхронизации, в этом телевизоре на меньше трудностей вызывает и правильное подключение декодера ПАЛ. Наиболее распространен на радиорынках и в государственной торговле декодер ПАЛ, собранный на микросхеме К174ХА28, мало чем отличающийся от декодера, описанного в [1]. Выходные каскады декодера ПАЛ и декодера СЕКАМ телевизора работают параллельно. Но если неправильно сделано управление декодером ПАЛ, это может стать причиной пропадания цвета при переходе с просмотра видеозаписей на телепрограммы, так как выход декодера ПАЛ может блокировать поступление "красных" цветоразностных сигналов с выхода декодера СЕКАМ (модуль УМ2-2-1) на систему опознавания и цветовой синхронизации (модуль УМ2 1-1). Кроме того, для устойчивой работы декодера ПАЛ необходимы специальные транзисторные стробирующие импульсы SSC, которые в телевизорах "Рекорд ВЦ-311" не формируются.

Воз эти проблемы решены автором в предлагаемом узле сопряжения видеоматричного с телевизором "Рекорд ВЦ-311". Принципиальная схема узла изображена на рис. 1. Он состоит из каскадов блока НЧ входа (транзисторы VT1—VT8) и декодера ПАЛ (микросхемы DA1 и транзисторы VT9—VT16), элементы которых размещены на общей печатной плате. Плату располагают в БРОС (блоке радиоканала и обработки сигнала) на разъеме, для которого в БРОС между разъемами X31 для модуля УМ2-1-1 и разъемом X7 для блока управления имеются десять отверстий. При построении декодера ПАЛ использован модуль задержанного сигнала М2-5-1 телевизора, за счет чего удалось значительно упростить двокдер.

При воспроизведении видеозаписей видеосигнал с магнитофона поступает через контакт 1 разъема X31 на усилитель видеосигнала (транзисторы VT2, VT4) и не автоматический выключатель НЧ входа (транзисторы VT1, VT5—VT7). При этом усиленный транзистором VT1 сигнал детектируется диодами VD2, VD3 и на конденсаторе C17 появляется положительное напряжение в несколько вольт. Это напряжение приводит к открытию транзисторов VT5—VT7 и подает напряжение 12 В (через транзистор VT7) на усилитель видеосигнала и селектор синхронимпульсов (транзистор VT8). Поскольку нормальная работа блока цветности телевизора зависит от уровня видеосигнала, то предусмотрена возможность установки его оптимального значения переменным резистором R14.

С эмиттера транзистора VT4 полный цветной телевизионный видеосигнал (ПЦТВ) через контакт Б разъема X53 поступает в модуль УМ2-3-1 и УМ2-1-1, а через конденсатор C2 на декодер ПАЛ. Транзистор VT6, открываясь, уменьшает

СОПРЯЖЕНИЕ ВИДЕОМАГНИТОФОНА С ТЕЛЕВИЗОРОМ «РЕКОРД ВЦ-311»

А. АНУФРИЕВ, г. Чехов Московской обл.

Проблема сопряжения видеомагнитофонов с устаревшими телевизорами не нова. В журнале уже освещались вопросы подключения видеомагнитофонов к телевизорам УПИМЦТ, ЗУСЦТ, а также декодирования сигналов цветности в системе ПАЛ, но несмотря на это, они остаются актуальными и сейчас. Особые трудности возникают при сопряжении видеомагнитофона с переходной моделью ЗУСЦТ-П-51 ("Рекорд ВЦ-311"). Об этом и рассказано в публикуемой ниже статье.

постоянно времени системы АПЧФ в submodule синхронизации М3-1-2, благодаря чему телевизор быстрее реагирует на колебания сигналов синхронизации в ЦТБ, приходящие с видеомагнитофона. Через диод VD6 блокируется УПЧД телевизора (цель ДУ модуля УМ1-2 соединяется с общим проводом). Для блокировки УПЧД через диод VD5 на устройство АРУ (вывод 8 модуля УМ1-1) воздействует закрывающее напряжение +12 В.

Сигнал звукового сопровождения при воспроизведении проходит на усилитель ЗЧ через контакт 3 разъема XS1, резистор R4 и контакт 5 разъема XS5 в БРОС. При записи звуковой сигнал с этой же точки усилителя ЗЧ через резистор R7 и контакт 3 разъема XS2 приходит на видеомагнитофон. На эмиттере транзистора VT3 всегда присутствует видеосигнал, поступающий с контакта 6 разъема XS3 при просмотре телепередач или с эмиттера транзистора VT4 при воспроизведении видеозаписей. Этот видеосигнал через контакт 1 разъема XS2 используется для записи.

Включить блок НЧ входа можно и при-

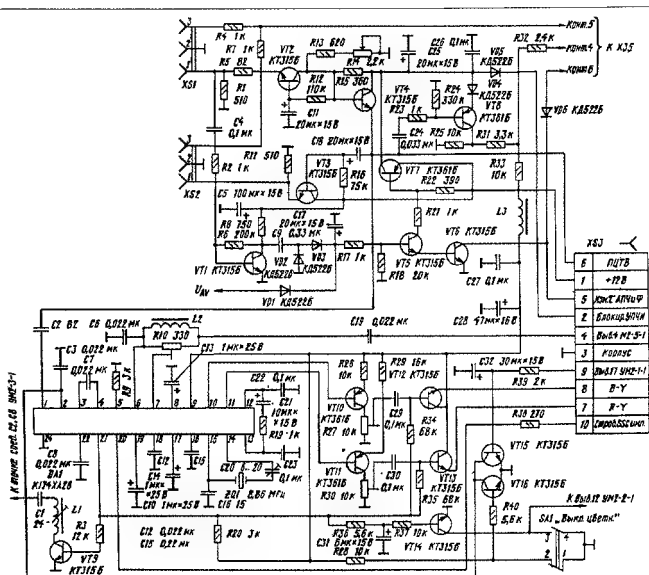


Рис. 1

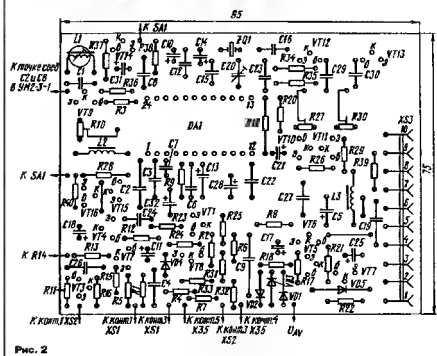
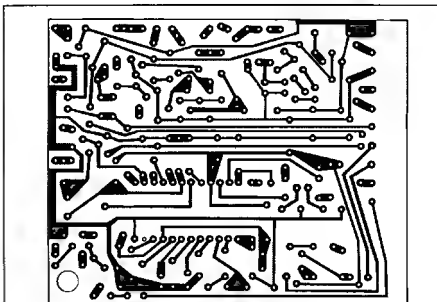


Рис. 2

нудительно, подав через диод VD1 напряжение управления аудиовизуального режима 12 В.

Работа декодера ПАЛ на микросхеме K174XA28 или ее аналога (TDA3510, MDA3510, XA039) подробно описана в [2] и здесь на рассматривается. Уровень задержанного сигнала, поступающего с модуля M2-5-1, можно установить резистором R10. Необходимого уровня "красного" и "синего" цветоразностных сигналов добиваются резисторами R30 и R27 соответственно.

При приеме телепередач, а также при воспроизведении видеолент системы СЕКАМ декодер ПАЛ будет выключен, так как воздействующее через контакт 9 разъемы XS3 с системы цветовой синхронизации телевизора положительное напряжение открывает транзистор VT15, соединяя вывод 2 микросхемы с общим

проводом DA1. При этом на выводе 21 микросхемы исчезает положительное напряжение и выходные транзисторы VT12, VT13 закрываются.

Как только приходит видеосигнал системы ПАЛ, транзистор VT15 закрывается и включается декодер ПАЛ. С вывода 21 микросхемы на базы транзисторов VT12, VT13 поступает открывающее напряжение, и с их эмиттеров в модуль матрицирования (УМ2-3-1) начнут проходить цветоразностные сигналы. Одновременно положительное напряжение с вывода 21 микросхемы DA1 воздействует на базы транзисторов VT9 и VT14. Транзистор VT9 включает режесторный контур LC1, подавляющий сигнал с частотой 4,43 МГц (частота поднесущей ПАЛ), а транзистор VT14 выключает декодер СЕКАМ телевизора.

Узел сопряжения собран на печатной плате, рисунок проводников которой и

расположение деталей на ней показаны на рис. 2.

Катушка L1 намотана на каркасе из полистирола диаметром 8 мм с карбоновым подстроечным СЛР-1. Она содержит 60 витков провода ПЭЛШО 0,14.

Катушкой L2 служит дроссель Д-0,15 индуктивностью 15 мГн и (15...18 мГн). Дроссель L3 — Д-0,1 индуктивностью 110 мГн.

Узел сопряжения устанавливают печатными проводниками на сторону модуля УМ2-1-1, предварительно впаив в БРОС вилку разъема XS3. Для того чтобы нумерация контактов разъема XS3 соответствовала указанной на рис. 1 (т. е. номеру контакта вилки в БРОС), ключевой выступ в розетке XS3 необходимо удалить и приклеить его с другой стороны. Контакт 4 вилки подключают к контакту 4 разъема X26 (модуль M2-5-1), а печатный проводник, соединяющий его с другими разъемами, необходимо перерезать. Неподключенные никуда контакты 9 и 10 вилки соединяют соответственно с контактом 17 разъема X30 (модуль УМ2-1-1) и с выходом формирователя импульсов SSC.

Далее проверяют наличие в БРОС перемычек, замыкающих контакт 5 вилки с контактом 3 разъема X38 (M3-1-2) и с контактом 8 с контактом 13 разъема X15 (УМ2-3-1), а также наличие соединения контакта 5 разъема X35 с контактом 6 разъема X20 (УМ1-2) и контакта 4 разъема X35 с резисторами R34 и R57 цепи синхронизации. Диод VD6 устанавливают на плате БРОС, так как для него здесь имеются отверстия, подключенные к контактам 6 и 7 разъема X35. Необходимо только убедиться в наличии перемычек, соединяющих эти контакты с контактом 7 разъема X20 (УМ1-2) и контактом 3 разъема X38 (M3-1-2) соответственно.

Переменный резистор R14 устанавливают вместо регулятора тембра НЧ (R109), а последний удаляют, припаяв к подключаем к нему проводникам резистор сопротивлением 20 кОм. Коллектор транзистора VT14 соединяют с контактом 3 тумблера SA1 телевизора (выключатель цвета), а точку соединения резисторов R28 и R40 — с контактом 2 этого тумблера. Его контакт 1 подключают к общему проводу. Розетку XS1 устанавливают возле антенного входа телевизора. Розеткой XS2 служит розетка X5 в блоке управления. При этом провод, припаянный к контактам 1 и 4, отключают от контакта 1.

Для правильного функционирования декодера ПАЛ на вывод 20 микросхемы DA1 должны поступать прекурорные импульсы SSC с формирователя, схема которого показана на рис. 3. Импульсы формируются при смешивании на резисторе R12 кадровых синхронимпульсов, проходящих через диод VD6 с эмиттера транзистора VT1, и сформированных строчных импульсов, поступающих через диоды VD5 и VD7.

Уровень 4,5 В строчных импульсов получают при ограничении стабилизатором VD4 положительных импульсов обратного хода строчной развертки, снимаемых с обмотки 4—5 выходного строчного трансформатора. Уровень 9 В строчных импульсов формируется двумя одновобратниками на микросхеме DD1. Первый одновобратник выполнен на элементах DD1.1, DD1.2. Для его запуска используются фронты ограниченных стабилизатором VD1 импульсов обратного хода строчной развертки отрицательной полярности, приходящих с обмотки 3—4 строчного трансформатора. С вывода

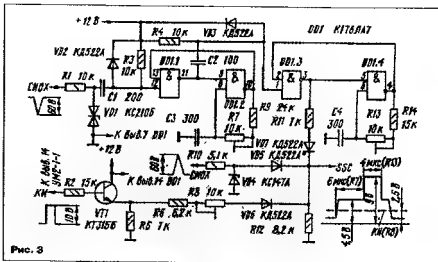


Рис. 3

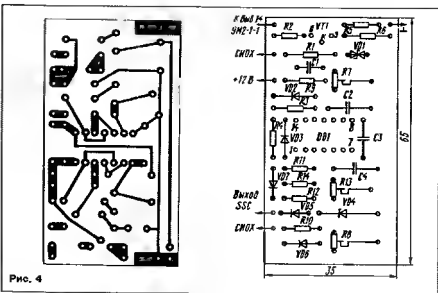


Рис. 4

элемента DD1.1 через конденсатор C2 спадом формируемых первым одновибратором импульсов запускается второй одновибратор на элементах DD1.3, DD1.4. Импульсы с выхода элемента DD1.3 используются для получения площадок с уровнем 9 В в импульсах SSC.

Регулируя подстроечным резистором R7 длительность импульсов первого

одновибратора, смещают положение фронтов импульсов второго одновибратора относительно начала импульсов SSC. Подстроечным резистором R13 регулируют длительность импульсов второго одновибратора, а резистором R8 устанавливают амплитуду кадровой составляющей 2,5 В. Все регулировки в формирователе импульсов SSC необходимо

контролировать осциллографом.

Формирователь собран на печатной плате, рисунок проводников которой и расположение деталей на ней изображены на рис. 4. Плату формирователя припаивают жесткими проводниками к шасси телевизора над горловиной кинопласта, используя для этого специальные контактные площадки на плате.

Налаживание узла сопряжения начинают с блока HX входа. Для этого, выключив чет тумблером SAT, подводят ПЦТВ ПАЛ на контакт 1 розетки XS1 и проверяют напряжение на выходе коллектора транзистора VT4. Оно должно быть близко к 12 В. Затем подстроечным резистором R14 устанавливают устойчивое изображение

Далее включают цвет и налаживают декодер ПАЛ. Движки подстроечных резисторов R27 и R30 устанавливают в среднее, а резистора R10 — в правое по схеме положение. Затем принудительно включают декодер ПАЛ, замкнув выводы конденсатора C10, и вращением ротора конденсатора C20 добиваются появления устойчивого цветного изображения. Движками резисторов R27 и R30 подстраивают насыщенность синего и красного цветов соответственно, а движком резистора R10 — общую насыщенность по участкам изображения зеленого цвета.

Сняв перемычку, замыкающую конденсатор C10, наблюдают за работой декодера. Если появляются пропадающие цвета, их устраняют назначенной подстройкой резистора R13 в формирователе импульсов SSC.

Для настройки ражесторного контура LIC1 выключают цвет, а на базу транзистора VT9 через резистор сопротивлением 10 кОм подают напряжение 12 В. На контакт 1 розетки XS1 подводят с генератора синусоидальный сигнал частотой 4,43 МГц, и амплитудой 0,5 В. К точке соединения конденсатора C1 с яркостным каналом телевизора подключают осциллограф с полосой пропускания не менее 5 МГц и вращают подстроечник катушки L1 до максимального уменьшения сигнала. При необходимости, если резонансная частота контура LIC1 далека от частоты 4,43 МГц, уточняют емкость конденсатора C1. Точно настроенный ражесторный контур устраняет зернистую структуру цветowych тонов.

ЛИТЕРАТУРА

1. Новаченко И., Михайлов А. Декодер сигналов ПАЛ на микросхеме K174XA28. Радио, 1990, № 10, с. 50—54.
2. Ельшицкий С. А. Цветные стационарные телевизоры и их ремонт. — М.: Радио и связь, 1990.

ОБМЕН ОПЫТОМ

ДОРАБОТКА УСИЛИТЕЛЯ «КУМИР-35У-102С-1»

При эксплуатации усилителя «Кумир-35У-102С-1» на повышенной мощности появляются заметные искажения звучания, особенно на низких звуковых частотах. Анализ схемы и конструкции усилителя позволил выявить причину искажений — она оказалась в перегрузке сагового трансформатора. Чтобы избавиться от этого недостатка, я изготовил новый трансформатор питания. Использовал для него тороидальный магнитопровод из электротехнической стали 3320. Внешний диаметр магнитопро-

вода — 100 мм, внутренний — 60 мм, высота — 55 мм. Сетевая обмотка трансформатора содержит 700 витков провода ПЭЛШО 0,55. Вторичная обмотка для питания предусилителя состоит из 2х50 витков того же провода, обмотка для питания оконечных каскадов усилителя содержит 2х88 витков провода ПЭЛШО 0,13.

Резистор R31 (см. инструкцию по эксплуатации усилителя, блок А9) в обоих каналах следует заменить резисторами сопротивлением 680 Ом. Подстроечным резистором R8 значение перегрузки ин-

дикатора (блок А12) установите величиной 100 Вт не нагружая 4 Ом.

После указанной доработки усилитель стал звучать значительно лучше, а номинальная его мощность составила 100 Вт на канал при искажениях не более 1%, что указано в инструкции по эксплуатации.

О.ШИШКИН

пос. Решетиха
Владарского р-на
Нижегородской обл.

УСОВЕРШЕНСТВОВАНИЕ ПРОЦЕССОРНОГО БЛОКА СТЕРЕОКОМПЛЕКСА «ВЕГА-119С»

Д. ПАНКРАТЬЕВ, г. Ташкент, Узбекистан

Отечественная промышленность очень неуверенно вводит микропроцессорные узлы в бытовую радиоэлектронную аппаратуру. Можно по пальцам пересчитать модели, в которых используются микропроцессоры: а основным это видеомagni-тофоны и телевизоры. Автор настоящей статьи предлагает произвести доработку процессорного блока магниторадио-ды, возможности которого использованы далеко не полностью.

Управляющий микропроцессор К145ИК1914, используемый в составе стереофонического аудиокomплекса "Вега-119С", выполняет только функцию считывания условного метража ленты с подачи на ЛПМ сигнала "Стоп" по перапполнению. Однако эта микросхема обладает гораздо более широкими возможностями, и предполагает усовершенствование процессорного блока (ПБ) по зволяет реализовать значительную их часть, а также распространить функции управления на панель ЗПУ.

Усовершенствованный ПБ обеспечива-
ет следующие сервисные удобства:

- прямой и обратный счет условного метража ленты (УМЛ);
- счет общего времени работы ЛПМ и (или) ЭПУ;
- автостоп ЛПМ и отключаемый автостоп ЭПУ по переполнению счетчика УМЛ при совместной работе ЛПМ и ЭПУ в режиме "Запись";
- автостоп ЛПМ и отключаемый автостоп ЭПУ по истечении заданного времени ("Таймер");
- индикацию режима работы устройства.

Обратимся к рисунку измененной принципиальной схемы ПБ. Отметим сразу, что этот вариант устройства имеет ряд отличий от промышленного (например, в уровнях напряжения, подаваемых на отдельные входы микросхем), поэтому при переделке блока необходимо тщательно сверять монтаж на соответствие с предлагаемой схемой. На рисунке вновь вводимые элементы помечены апострофом

Доработку блока целесообразно провести поэтапно:

Во-первых, вводит индикацию младшего разряда (MR) счетчика, что повышает точность визуального отсчета УМЛ на порядок (примерно до 2,5 см) и обеспечивает индикацию разряда секунд при счете времени. Поскольку установленный в блоке индикатор HL1 трехразрядный, потребуются либо его замена, либо введение дополнительного индикатора MR. Чтобы избежать значительных изменений в монтаже, автором был заведен дополнительный индикатор HL1: ИВ-3А.

Во-вторых, для более точного счета времени включают кварцевый резонатор для стабилизации частоты задающего генератора микроконтроллера DD2 (1...32768 Гц). Этой цели служит цепь ZQ1*, R3*, R4*, C1*, C2* в стандартном для данного типа микроконтроллера включении. Необходимо в подборе корректирующих конденсаторов C1*, C2* нет, так как длительность измеряемых временных интервалов невелика.

В-третьих, в модифицированное устройство вводят дополнительную клавиатуру, посредством которой производят управление режимами работы ПБ. Кроме того, блок дополняют цепями управления ЭПУ.

Разберем некоторые особенности работы процессора K145IK1914 как отдельного узла, так и в составе данного блока

После подачи напряжения питания устанавливаются режим счета УМЛ и нулевые показания счетчика. В это начальное состояние процессор может быть приведен из любого другого нажатием

кнопки "Уст.0". Если теперь включить ЛПМ, нажав одну из клавиш перемотки или воспроизведения, на аноде диода VD3 возникнут импульсы напряжения, формируемые в оставшихся без изменений входных цепях ПБ. Пульсации напряжения сглаживаются конденсатором C3, и на выходе D2 ("Пуск") микросхемы появляется уровень лог.0 (+12 В), разрабатывая счет импульсов, поступающих на вход D1 (УМЛ). Направление счета зависит от логического уровня, действующего на выходе D3 (лог.1 — прямой, лог.0 — обратный), который определяется положением контактов датчика направления движения ленты. Одновременно с подачей сигнала "Пуск" процессор начинает отсчет времени, информация о котором в этом режиме визуально не представляется.

Для изменения вида выводимой информации необходимо обращение к клавиатуре, которое происходит посредством префиксной клавиши "С/Т". Она должна быть нажата во время работы с клавиатурой. Нажатия клавиши "С/Т" в режиме счета импульсов при наличии на входе D2 лог.1 ("Стоп") устанавливает процессор в режим готовности к вводу с клавиатуры. На индикаторе загораются нули, а при нажатии на значащие клавиши ("0" — "9") происходит ввод соответствующих цифр, начиная с МР. Текущее состояние счетчика импульсов при этом не изменяется. Неправильно набранное число можно заменить новым без использования либо с использованием клавиши "Сброс" ("↓"). Нажатие этой клавиши приводит к сбросу введенного числа, а также к обнулению счетчика текущего значения УМЛ.

После отпускания клавиши "С/Т" процессор возвращается в режим счета импульсов. При дальнейшей его работе в этом режиме возможно сравнение текущего значения счетчика и введенного с клавиатуры и вывод информации о результате сравнения. Однако для реализации этой возможности необходимо заметное усложнение схемы, что вряд ли является оправданным, поскольку такой режим, как показала практика, используется очень редко, особенно при наличии счетчика времени. Тем не менее желаемым использованием возможности процессора еще более полно рекомендации будут даны в конце статьи.

Клавиша "Обмен" ("↔") предназначена для изменения вида информации, выводимой на индикаторное устройство. Ее нажатие (при нажатии лог.1 на входе D2) приводит к переводу процессора в режим счета времени. На выходе C04 появляется уровень лог.0, и загорается соответствующий сегмент не индикатора. После отпускания клавиши "С/Т" на индикатор выводятся данные о текущем значении данных счетчика времени. Нажатие значащих клавиш в режиме счета времени автоматически вызывает перевод процессора в режим таймера (обратный счет). На индикаторе отображаются единицы секунд (МР), десятки секунды, единицы минут и десятки минут. Неправильно набранное число можно набрать заново без использования либо с использованием клавиши "↓". Ее нажатие приведет также к обнулению счетчика теку-

щего значения времени. После отпускания клавиши "С/Т" и появления на входе D2 сигнала "Пуск" происходит обратный счет времени. По истечении заданного интервала на выходе C02 (C01) появляются импульсы напряжения, которые сглаживаются конденсатором C3 и поступают на узел включения автостопа. При переполнении счетчика УМЛ на выходе C05 появляется уровень лог.0, что также вызывает срабатывание автостопа.

Нажатие клавиши "С/Т" при лог.0 на входе D2, т. е. в процессе работы, вызывает изменение вида информации, выводимой на индикатор.

Особенностью описываемого устройства является то, что микросхема выполняет функции счетчика полного времени работы ЛПМ. Для блокировки счета времени в режимах перемотки и паузы нужно подавать уровень лог.0 на вход D5.

Управление работой ЭПУ через клавиатуру и ПБ происходит с помощью функциональных узлов запуска процессора и выработки сигнала "Стоп". Первый из них собран на транзисторах VT1*, VT2*. Его вход подключен к коллектору транзистора VT7 триггера устройства управления ЭПУ.

При нажатии кнопки "Пуск" ЭПУ триггер переключается, положительное напряжение поступает на базу VT2* и открывает его. VT1* также открывается, и на входе D2 процессора появляется уровень лог.0. Начинается отсчет времени. Нажатие кнопки "Стоп" вызывает обратное переключение триггера управления ЭПУ и транзисторы VT1*, VT2* закрываются. Появление лог.1 на входе D2 прекращает счет.

Узел выработки сигнала "Стоп" собран на транзисторе VT3*. В режиме "Таймер" по истечении заданного интервала времени C3* заряжается импульсами напряжения с выхода C02, транзистор VT3* открывается и срабатывает реле K1*, контакты которого дублируют кнопку "Стоп"; ЭПУ выключается.

При работе с ЭПУ следует учесть, что отсчет времени начинается сразу после нажатия кнопки "Пуск", а не после включения микрофлапа. При совместной работе ЛПМ и ЭПУ (например, при записи) последнее будет также выключаться при переполнении счетчика импульсов. Если это нежелательно, можно использовать тумблером SA1*, отключающим базу транзистора VT3* от управляющего выхода процессора.

Таковы принципы работы процессора в различных режимах ПБ с расширенными функциями.

Как уже отмечалось выше, в режиме счета импульсов предусмотрена возможность сравнения текущего значения счетчика и введенного ранее с клавиатуры. О результате сравнения можно судить по состоянию управляющих выходов C06—C08. Сравнения осуществляется при наличии лог.1 на входе D2 ("Стоп") по спаду импульса положительной полярности на входе D4 (в момент отпускания клавиши "С/Т"). При этом лог.0 появляется на выходе C06, если текущее значение больше введенного ранее, из выхода C08 — если они равны, а на выходе C07 — если текущее значение меньше введенного. При работе в автоматическом ре-

жиме необходимо предусмотреть соответствующие изменения логических уровней на указанных входах (паравына счета), происходящие с частотой 1...3 Гц. Длительность импульсов прерывания может составлять 5...20 мс. На это время желательно производить блокирование входов W1, W2 во избежание случайного ввода данных и маскирование индикатора.

При монтаже следует особое внимание обратить на безошибочность подключения выводов микросхем и на полное устранение ненужных соединений. Для этого, например, выводы B, 39, 40 микросхемы DD2 следует осторожно извлечь из отверстий в печатной плате и дальнейшие соединения производить гибким проводом. Печатный проводник между выводами 1 и 4 HL1 необходимо разорвать. Элементы VT2*, R3*, R9*, VT3*, K1*, R10* смонтированы на плате ЭПУ; элементы ZD1*, C1*, C2*, R3*, R4* и VT1*, R1*, R2* — на нейлоновых, с размерами 10x20 мм, платах, расположенных непосредственно в блоке ПБ; монтаж остальных элементов — на навесной.

Клавиатура и дополнительный индикатор выполняются в виде отдельного выносного блока. Конструкция клавиатуры — произвольная. Длину соединительных проводов не стоит делать больше 40 см во избежание сбоев в работе устройства.

В конструкции применены следующие детали. Транзисторы VT1*, VT2* — любые малоомные кремниевые соответствующей структуры с коэффициентом передачи тока на менее 50 и допустимым напряжением коллектор-эмиттер на менее 30 В. VT3* — КТ3102*, КТ3102*. Диоды — КД521, КД522 с любыми буквенными индексами или аналогичные. Кварцевый резонатор — РК101. Все резисторы — МЛТ-0,125, кроме R14* — МЛТ-0,25. Конденсатор C3* — К50-16, остальные — любые маломощные керамические термостабильных групп ТКЕ. Реле K1* — РКЗ23 (исполнение 0102).

Правильно собранное устройство в налаживании не нуждается.

От редакции. Обмотку реле K1 следует зашунтировать любым мелкомощным диодом на рабочее напряжение не менее 20 В (катодом к цепи +15 В).

ДОСКА ОБЪЯВЛЕНИЙ

Посылторг — любые радиодетали.
630065, Новосибирск, а/я 435.

ВНУТРИСХЕМНЫЕ ЭМУЛЯТОРЫ (low cost): 1816, 1830BE45/31/51, 80C32, 87C51, 80C552 (АЦП-10 bit/Hz), 1821BM85, 80C51GH, 80C152 (bitbus), 89C2051 (2K flash/20 pin/2.7-5V), ADSP2115; пром. КОНТРОЛЛЕРЫ; платы АЦП/ЦАП (ADSP2115); ЖКИ инд.; КОМПОНЕНТЫ; РАЗРАБОТКА ПРИБОРОВ.
НПФ "АСАН"-тел/факс: (095) 286-8475, тел: (095) 173-3959.

ДОСКА ОБЪЯВЛЕНИЙ

СХЕМОТЕХНИКА УСИЛИТЕЛЕЙ МОЩНОСТИ ЗВУКОВОЙ ЧАСТОТЫ ВЫСОКОЙ ВЕРНОСТИ

М. КОРЗИНИН, г. Магнитогорск

Схема сопряжения входного каскада и усилителя напряжения приведена на рис. 7. Для их согласования ОУ нагружен на эмиттерный повторитель, который, в свою очередь, работает на каскад с общей базой.

База транзистора VT2 непосредственно подключена к общему проводу питания. Между этим проводом и выходом ОУ DA1 последовательно включены эмиттерный переход транзистора VT1, резистор R6 и эмиттерный переход транзистора VT2. Через резистор R6 в режиме покоя протекает постоянный ток 4,7 мА, который создает на нем падение напряжения около 3,5 В. Для открывания же двух последовательных эмиттерных переходов необходимо постоянное напряжение порядка 1,4 В. Таким образом, постоянное напряжение на выходе ОУ в режиме покоя должно составлять около 4,9 В. Принимая во внимание, что напряжение питания ОУ составляет ± 13 В, следует признать, что ОУ разбалансирован очень сильно.

Включение между транзисторами VT1 и VT2 резистора R6 вызвано использованием в усилителе тока низкочастотных транзисторов и необходимостью компенсации дополнительного полюса АЧХ с помощью цепи коррекции по опережению, в которую вместе с конденсатором C6 входит и резистор R6. Следовательно, если применить в выходном каскаде более высокочастотные транзисторы, цепь R6C6 можно исключить без каких-либо потерь в линейности УМЗЧ.

Утверждение известного конструктора УМЗЧ высокой верности [1, 28], что применение в выходном каскаде такого УМЗЧ высокочастотных мощных комбинированных пар транзисторов с граничной частотой передачи тока базы более 5 МГц неприемлемо из-за их отсутствия, на сегодняшний день устарело. Транзисторы средней и большой мощности KT816—KT819 в УМЗЧ промышленного изготовления дано уже не используются. На смену транзисторам KT816, KT817 пришли транзисторы KT850, KT851, имеющие граничную частоту коэффициента передачи тока базы более 20 МГц, рассеиваемую мощность порядка 25 Вт, максимальное напряжение коллектор—эмиттер около 200 В. Вместо транзисторов KT818, KT819 с успехом могут работать транзисторы KT864, KT865 с граничной частотой коэффициента передачи тока базы более 15 МГц и максимальным напряжением коллектор—эмиттер более 200 В. В последнее время УМЗЧ промышленного изготовления строят на транзисторах

серий KT8101, KT8102 с граничной частотой коэффициента передачи тока базы более 10 МГц, максимальным напряжением коллектор—эмиттер около 200 В и рассеиваемой мощностью приблизительно 150 Вт [28, 27].

Следовательно, вполне реально заменить все транзисторы выходного каскада этого УМЗЧ (рис. 6) на более современные, после чего цепь R6C6 можно исключить. При этом на выходе ОУ DA1 постоянное напряжение в режиме покоя может быть уменьшено до 1,4 В.

Дальнейшего снижения этого напряжения (практически до нуля) удастся добиться, реализовав подачу смещения на транзисторы VT1 и VT2 с устройства сдвига уровня на диодах VD1, VD2 (рис. 6). В зависимости от типа диодов их число может быть увеличено до трех [29]. Резистор R5 служит для создания необходимого прямого тока через диоды.

Радикально улучшить согласование вход-

ного каскада и усилителя напряжения можно, заменив биполярные транзисторы VT1 и VT2 на полевой МОП-транзистор средней или большой мощности (рис. 9).

Здесь могут работать МОП-транзисторы КП902, КП901 и КП904. При увеличении мощности транзистора соответственно растёт его крутизна на рабочем участке характеристики. Рабочую точку транзистора устанавливаем путем незначительной разбалансировки ОУ, добиваясь на его выходе в режиме покоя постоянного напряжения, равного десятым долям вольта. По экспериментальным данным реальная крутизна МОП-транзисторов в таких режимах составляет в зависимости от примененного типа и экземпляра 20...130 мА/В. Учитывая, что рабочий ток стока транзистора VT1 должен составлять для данного УМЗЧ всего 4,7 мА, допустимо утверждать, что ОУ будет постоянно работать при любых значениях выходной мощности усилителя только в малосигнальном режиме.

Таким образом, из-за очень высокого коэффициента сопротивления МОП-транзистора ОУ DA1 постоянно работает только в режиме класса А, что по данным [15] уменьшает его собственные искажения, как минимум, в 10 раз. Соответственно только за счет этого фактора в несколько раз уменьшается и линейность всего УМЗЧ. Использование МОП-транзистора позволило в данном узле уменьшить и ряд специфических искажений усиленного сигнала, в частности видеозмешения спектра гармоник сигнала в сторону снижения высших гармоник [8, 30]. Новые введенные элементы R6C6 представля-

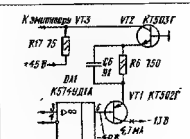


Рис. 7

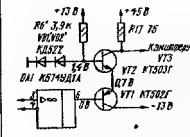


Рис. 8

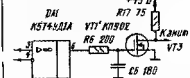


Рис. 9

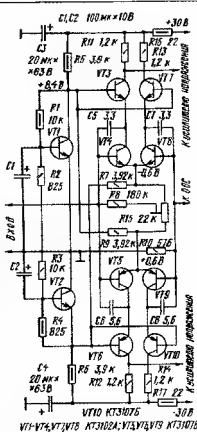


Рис. 10

ют собой фильтр нижних частот. Срезают верхние частоты сигнала и тем самым ограничивают его спектр необходимым диапазоном частот, этот фильтр исключает возможность самовозбуждения каскада на транзисторе VT1.

При испытаниях макетов УМЗЧ высокой верности в первоначальном варианте и при реализации его модификаций, в соответствии с рис. 8 и 9, эксперты единогласно признали лучший вариант, показанный на рис. 9. Условия субъективной экспертизы были стандартными. В качестве источника сигнала использовался проигрыватель компакт-дисков фирмы Pioneer модели PD-102, с собственными нелинейными искажениями, не превышающими 0,003%, динамическим диапазоном 96 дБ и отношением сигнал/шум 102 дБ. Усилители нагружались на высококачественные акустические системы фирмы Teshlens модели SD-CD520GC-K, имеющие собственные нелинейные искажения в полосе частот 50 Гц...20 кГц, по звуковому давлению порядка 0,5%. Испытания проводились в акустически заглушенном помещении.

Следует заметить, что в последнее время в усилителях звуковой частоты ведущих зарубежных фирм [3-6] наблюдается устойчивая тенденция к расширению использования МОП-транзисторов в связи с их преимуществами перед биполярными.

Некоторый опыт применения мощных МОП-транзисторов в усилителях мощности звуковой частоты имеется и у отечественных конструкторов-радиолюбителей [31, 36].

При создании входных каскадов УМЗЧ высокой верности на интегральных ОУ конструкторы неизбежно сталкиваются с весьма ограниченным выбором отечественных ОУ. Как известно, все характеристики ОУ заложены в него конструктивно, хотя и имеется разброс их от экземпляра к экземпляру. Схемотехника интегральных ОУ вынужденно использует только горизонтальную симметрию построения каскадов. Интегральная технология существенно ограничивает рабочие токи и напряжения интегральных активных элементов. Снять все эти ограничения возможно только выполнением входного каскада УМЗЧ на дискретных элементах.

Входной каскад УМЗЧ на дискретных биполярных транзисторах может быть выполнен с полной схематехнической (т. е. и горизонтальной, и вертикальной) симметрией. При этом входной каскад становится полностью симметричным для обеих полуоволн усиливаемого звукового сигнала, резко уменьшается его чувствительность к пульсациям сети и помехам всех видов, появляется возможность с необходимой точностью подобрать транзисторы входного каскада в пары и комплекты по параметрам. Все это резко увеличивает линейность входного каскада и всего УМЗЧ в целом.

В качестве примера на рис. 10 приведена схема входного каскада высококачественного УМЗЧ музыкального центра "Эстения 010-стерео" [2].

Он построен по принципу полной симметрии. В каскаде использованы транзисторные источники тока, включенные по перевернутой схеме, что дополнительно его симметрирует. По данным изготовителя отношение сигнал/шум каскада составляет не менее 104 дБ. Следует признать, что это соответствует дейст-

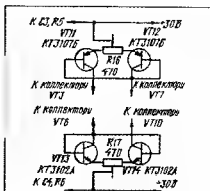


Рис. 11

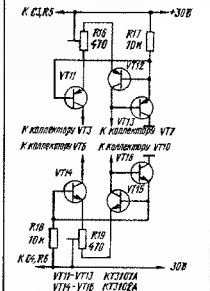


Рис. 12

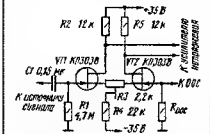


Рис. 13

вительности. К числу безусловных достоинств каскада следует отнести отсутствие оксидных конденсаторов в цепи ООС. Балансировка каскада производится резистором R15. Резистор R10 является частью цепи ООС, так как УМЗЧ неинвертирующий. Несмотря на достаточно низкое напряжение питания, усилитель развивает на нагрузку 4 Ом номинальную выходную мощность около 50 Вт, а на нагрузку 8 Ом — 35 Вт. Блок питания УМЗЧ выполнен по нестабилизированной схеме. В качестве конденсаторов фильтров использованы два конденсатора К50-18 15 000 мкФ x 50 В. Этот входной каскад вполне может быть рекомендован для работы в УМЗЧ высокой верности. Несколько улучшить характеристики

этого входного каскада можно, применив динамическую нагрузку [36], что позволяет уменьшить его собственные искажения и увеличить коэффициент усиления. Схема модернизации таким способом каскада приведена на рис. 11. Резисторы R11 и R13 дополнительно его симметрируют. Транзисторы VT3, VT8, VT9 и VT14 включены по схеме токового зеркала. Разновидностью такой схемы является токовое зеркало со следящей ООС (рис. 12).

Значительный интерес представляет возможность использования во входном каскаде УМЗЧ высокой верности полевых транзисторов. Это позволяет существенно упростить его схему, улучшить динамические и шумовые характеристики, видоизменить спектр гармоник усилителя в сторону уменьшения высших гармоник, получить при необходимости высокие входные сопротивления.

На рис. 13 приведена схема дифференциального входного каскада на полевых транзисторах с р-п переходом, первоначально работавшего во входном каскаде высококачественного регулятора тембра [25, 37]. Он может быть без каких-либо переделок полностью использован в качестве входного каскада высококачественного УМЗЧ. Испытания такого входного каскада показали прекрасные результаты.

Формулируя основные принципы построения высококачественных входных каскадов на дискретных элементах, следует отметить следующее.

Линейность таких каскадов определяется работой всех их транзисторов только в режиме А. Возможность работы транзисторов в режиме АВ следует полностью исключить. Только в этом случае можно получить необходимую исходную линейность каскада.

Следующим принципом является обязательный подбор транзисторов в пары и комплекты по параметрам и, в первую очередь, по коэффициенту усиления по постоянному току или передаче тока базы и по частотным характеристикам. До настоящего времени этому не уделялось должного внимания. Более того, в описаниях почти всех любительских конструкций УМЗЧ, даже самых линейных, авторы утверждают, что необходимости подбора транзисторов по параметрам, в том числе и по коэффициенту усиления по току, нет, так как линейность УМЗЧ обеспечена схемотехнически [1]. С этим нельзя согласиться.

При горизонтальной симметрии схемотехники входного каскада следует подобрать в пары оба транзистора дифференциального каскада по коэффициенту передачи тока базы. При полной симметрии входного каскада УМЗЧ необходимо подбирать по этому параметру уже не два, а четыре транзистора для комплектования двух дифференциальных каскадов.

Использование во входном каскаде УМЗЧ высокой верности полевых транзисторов с р-п переходом позволяет получить высокую линейность. Однако еще более высокие результаты могут быть достигнуты при построении входного каскада УМЗЧ на полевых МОП-транзисторах средней и большой мощности.

Максимальное допустимое напряжение полевых МОП-транзисторов затвор-исток около 30 В, а максимальное напряжение сток-исток 90...100 В, что позволяет получить очень широкий динамический диапазон входного каскада и суще-

отвенно упростить весь УМЗЧ. Спектр гармоник всего УМЗЧ в этом случае содержит много гармоник высших порядков. В ряде случаев можно вообще отказаться от усилителя напряжения и существенно укоротить трек УМЗЧ. Схема входного каскада оказывается очень простой с минимальным числом элементов. Надежность его весьма высока. Термостабильность также оказывается очень высокой из-за саморегулирования тока стока полевых МОП-транзисторов в зависимости от температуры.

Во входных каскадах УМЗЧ с успехом можно применять полевые МОП-транзисторы средней и большой мощности с горизонтальным каналом типов КП902, КП901, КП904 (рис. 14). Транзисторы дифференциального каскада работают в режиме А на линейном участке характеристик. Отношение сигнал/шум превышает 110 дБ. Питаться такой каскад должен только стабилизированным напряжением, в противном случае уровень фона сати может существенно превысить отношение сигнал/шум. Транзисторы следует подобрать по крутизне и начальному току стока. В данном случае использовались транзисторы КП904Б с начальным током стока порядка 3 мА, крутизна характеристик около 100 мА/В. Ток покоя стока каждого из транзисторов составил 20 мА. Коэффициент усиления каскада по напряжению — около 26 дБ.

Эксперименты с входным каскадом, выполненным по схеме рис. 14, показали, что его высокая исходная пинейность без ООС достигается только при индивидуальном подборе транзисторов его дифференциального каскада в пары по начальному току стока и фактической крутизне на начальном рабочем участке характеристики. При использовании МОП-транзисторов без подбора с различным сочетанием указанных параметров были обнаружены рост амплитуд всех высших гармоник и появления интермодуляционных искажений.

Превосходные результаты были получены при экспериментальной проверке входного каскада (рис. 15), выполненного на полевых СИТ-транзисторах (транзисторах со статической индукцией), основанных нашей промышленностью в пос-

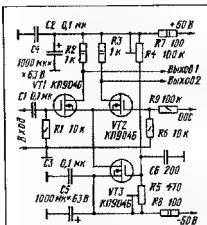


Рис. 14

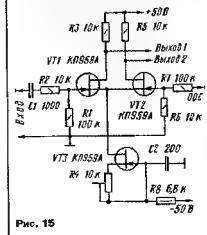


Рис. 15

ледние годы. Его прототип на зарубежной элементной базе кратко описан в [6]. В каскаде были использованы отечественные СИТ-транзисторы КPN959А с подбором их по параметрам. При этом уровень искажений всех выходов был в несколько раз ниже, чем во входном каскаде, выполненном по схеме, приведенной

на рис. 14. Можно утверждать, что такой усилитель способен обеспечить качество звучания на уровне лучших образцов ламповой усилительной техники звуковой частоты. Помимо квадратичных характеристик, наминающихся характеристик ламповых триодов, СИТ-транзисторы имеют высокую электрическую прочность, что позволяет увеличить напряжение питания входного каскада до 1100...200 В и получить усиление, достаточное для исключения каскада усиления напряжения. Это, в свою очередь, дает возможность существенно укоротить трек УМЗЧ и исключить та искажения сигнала, которые вносятся усилителем напряжения.

Снижая все вышеизложенное, следует отметить, что наиболее перспективным с точки зрения высокой верности звуковоспроизведения представляется конструкция входных каскадов УМЗЧ не на биполярных, а на полевых транзисторах, в особенности на полевых СИТ-транзисторах, имеющих, кстати, вполне приемлемую стоимость.

ЛИТЕРАТУРА

26. Стереусилитель мощности "Корвет 200УМ-068С". Руководство по эксплуатации, 1994.
27. Усилитель полный "Корвет 100У-068СМ". Руководство по эксплуатации, 1994.
28. Сухов К. К вопросу об оценке нелинейных искажений УМЗЧ. Радио, 1989, № 5, с. 54-57.
29. Уэбб Л. Использование схемы сдвига уровней в высокочастотном операционном усилителе. — Электроника, 1989, № 7.
30. Игнатов А. Полевые транзисторы и их применение. М.: Радио и связь, 1984.
31. Илгин В., Яковлев Р. Полевые транзисторы в входном каскаде усилителя мощности. — Радио, 1983, № 2, с. 54, 55.
32. Борисов С. МДП-транзисторы в усилителях НЧ. — Радио, 1983, № 11, с. 36-39.
33. Орлов В. Широкополосный УМЗЧ. — Радио, 1988, № 3, с. 43, 44.
34. Игнатов А. УМЗЧ с входным каскадом на полевых транзисторах. — Радио, 1988, № 9, с. 33-35.
35. Якименко Н. Полевые транзисторы в мостовом УМЗЧ. — Радио, 1988, № 9, с. 38, 39.
36. Дмитриев Н., Феофилактос Н. Схемотехника усилителей мощности ЗЧ. Радио, 1985, № 6, с. 35-38; № 8, с. 25-28.
37. Усилитель полный "Амфитон 50У-204С". Руководство по эксплуатации, 1991.

СДЕЛАЙТЕ ЭТО САМИ!

Как стать обладателем отличного компьютера, мультиметра или усилителя, заплатив небольшую цену? Не знаете? А ответ прост: **сделайте его сами!**

Официальный дилер Одесского СКБ «ЭЛИКОН» имеет честь сообщить: ассортимент рассылаемых радиолюбителям России радиоконструкторов расширился уже до 44 (сорока четырех!) наборов! Вы можете с успехом собрать своими руками не только компьютер, мультиметр или усилитель, но и частотомер, ТВ- и ЗЧ-генераторы, лабораторный блок питания, ревербератор, электронную ударную установку, «бегущие огни», универсальный терморегулятор, автостартер, скремблер, джойстик, контроллер дисководов и принтера, программатор ИМС ПЗУ и многое другое!

Третий выпуск нашего каталога высылается **БЕСПЛАТНО**. Достаточно прислать нам почтовый конверт с напечатанным Вашим адресом и наклеенными по тарифу марками — в нем Вы и получите каталог. Переб отправкой конверта сложите его адрес, а на наружном конверте напишите: «КАТАЛОГ-ПК».

Нам адрес: 103055, Москва, а/я 200.

ЖУРНАЛ «ЭЛЕКТРОННЫЕ КОМПОНЕНТЫ»

Новый журнал для специалистов, занимающихся разработкой, производством и ремонтом изделий электронной техники.

Статьи и обзоры, коммерческие предложения и прайс-лист, описания и рекомендации, презентации российских и зарубежных дистрибьютеров и поставщиков, аналитические материалы, адреса и телефоны торговых организаций — эту и другую информацию Вы найдете на страницах журнала «Электронные компоненты».

Первый номер журнала вышел в ноябре 1995 года тиражом 8000 экземпляров. В 1996 году журнал будет распространяться по подписке и в розницу.

Если Вам не понравится наш журнал, мы вернем Вам деньги за неполученные номера

РЕДАКЦИЯ ЖУРНАЛА «ЭЛЕКТРОННЫЕ КОМПОНЕНТЫ»

РАЗМЕЩЕНИЕ РЕКЛАМЫ тел (095) 237 30-58

ПОДПИСКА И РАСПРОСТРАНЕНИЕ

тел./факс (095) 912 24-27, 911-95-58,

факс (095) 923-64-42

109044 Москва, а/я 19 E-mail Alex@compel.msk.su

Талон подписки на три номера журнала «ЭЛЕКТРОННЫЕ КОМПОНЕНТЫ»

(оформление подписки с любого месяца)

Адрес:

Организация:

Отдел:

ФИО:

Телефон:

Факс:

Кол-во экземпляров:

Сумма:

Дата оплаты подписки:

Стоимость подписки на три номера — 30 000 рублей (в т.ч. НДС и СН) с учетом доставки по почте. Заполненный талон с копией платежного документа вышлите по адресу 109044 Москва, а/я 19

Банковские реквизиты для Москвы и Московской обл.:
получатель — АО «Компэл» р/с 107467752 в Таганском филиале Инкомбанка г. Москва МФО 998736 уч. 5С с гометкой: «оплата за подписку на журнал «Электронные компоненты»

Банковские реквизиты для других регионов:
получатель — АО «Компэл» р/с 107467752 в Таганском филиале Инкомбанка к/с 502161000 в РКЦ ГУ ЦБ РФ г. Москва МФО 201791 (4458300) уч. 83. с гометкой: «оплата за подписку на журнал «Электронные компоненты»

Фирма «220 ВОЛЬТ»



Оптом со склада — импортные паяльники и паяльное оборудование, мультиметры, индустриальные инструменты

Более 20 видов паяльников, опрессы, подставки, термопечей,
Паяльники — 10 тыс. рублей, мультиметры от 10 тыс.

Тел.: 284-56-10, 284-36-69, 281-33-68;

Факс: 971-31-48, 129110. Москва, 1996.

КОНТРОЛЬНО-ИЗМЕРИТЕЛЬНЫЕ ПРИБОРЫ И АППАРАТУРА

"ЭЛИКС" предлагает:

Наиболее популярные модели today:
PALMSCOPE™ - 3201

Новое поколение осциллографов без электронно-лучевой трубки!

- Двухканальный 20 МГц запоминающий осциллограф на ЖКИ (96x72 мм);
- Цифровой мультиметр (U, I, R) с автоматическим выбором диапазона измерений ($3^{3/4}$ разряда), базовая точность 0,3%;
- Частотомер от 1 Гц до 20 МГц (7 разрядов);
- 8-ми канальный логический анализатор;
- RS-232, программное обеспечение для WINDOWS. Питание 4,8 (аккумулятор) / 220 В, габариты 287 × 152 × 82 мм, вес 2 кг



Малогабаритный RLC - метр ELC - 1310
для измерения индуктивности, емкости, сопротивления, добротности. Рабочие частоты - 120 Гц и 1 кГц. Выбор диапазона - автоматический и ручной. Автоматическое, относительные измерения, удержание максимальных, минимальных, средних значений, режим отбора элементов
Диапазоны измерения:
Сопротивление: 0,001 Ом - 10 МОм;
Емкость: 0,1 пФ - 10 000 мкФ !!!
Индуктивность: 0,1 мГн - 10 000 Гн !!!
Погрешность: 0,7%;
Питание: 9 В. Габариты: 270x192 мм, 390 г



Цифровые токовые клещи ECT - 650

- 3,5 разрядный ЖКИ;
- Удержание показаний;
- Индикация разряда батареи.

Измеряемые величины:
Напряжение: 0,1 В - 750 В;
Ток: 0,1 А - 800 А;
Сопротивление: 1 Ом - 2 кОм

Рабочая температура: 0...50°C;
Габариты: 185-62-25 мм,
Вес: 250 г



НАСТОЯЩИЕ МНОГОФУНКЦИОНАЛЬНЫЕ ПРИБОРЫ СЕРИИ 3200

Функциональный генератор - частотомер EFC-3230

- 7 диапазонов: от 0,2 Гц до 2 МГц;
- Двухступенчатый аттенуатор (- 20 dB, - 40 dB);
- Режим качания частоты от 1:1 до 1:1000,

- Встроенный 6-ти разрядный частотомер, обеспечивающий внешние измерения;
- Форма сигнала: прямоугольная, треугольная, синусоидальная, TTL/CMOS-импульс;
- Выход - 50 Ω;

Функциональный генератор EFG - 3210

- 7 диапазонов от 0,2 Гц до 2 МГц;
- Форма сигнала: прямоугольная, треугольная, синусоидальная, TTL - импульс;
- Режим качания частоты от 1:1 до 1:100;
- Выход: 50 Ω, аттенуатор - 20 dB.

Приборы серии 3200 имеют габариты
260-210-70 мм, вес 1,8 кг.

Все приборы этой серии имеют наилучшее соотношение цена/возможности среди отечественных и импортных приборов.

Частотомер - EFC - 3203A

- Измерение частоты от 0,1 Гц до 2,4 ГГц
- 2 входа - 1 МΩ/50 Ω;
- Входной аттенуатор 10:1, фильтр НЧ - 3 dB;
- Измерение периода от 0,285 мкс до 200 мс с разрешением от 100 нс до 100 пс;
- Подсчет числа импульсов от 0 до 99.999.999;
- Удержание показаний

СЕРИЯ УНИВЕРСАЛЬНЫХ ДВУХКАНАЛЬНЫХ ОСЦИЛЛОГРАФОВ PINTEK

Являясь по основным параметрам аналогами отечественных C1-126, C1-127, C1-131, C1-137 - осциллографы "Pintek" значительно превосходят их по возможностям, характеристикам, дизайну и удобству в использовании, а по стоимости аналогичны.



Для всех моделей:

- экран 8,10 см;
- входной импеданс 1 МОм/25пФ;
- питание 110 - 240 В (40-60 Вт);
- габариты 324-132-398 мм, 7,5 - 8,6 кг.

Модель	Кол-во каналов	Полоса пропуск.	Кос.фф.откл.	Кос.фф.развер.	
PS-1000	2	100 МГц	1 мВ - 5 В	20 нс / 0,5 с	Телевизионная синхронизация
RS-608	2	80 МГц	1 мВ - 15 В	0,1 мкс / 0,5 с	Индикация параметров измеряемого сигнала
PS-606	2	80 МГц	1 мВ - 5 В	0,1 мкс / 0,2 с	Тест компонент амплитудно-частотной характеристики
DS-303P	2	30 МГц	1 мВ - 5 В	0,1 мкс / 0,5 с	Запоминающий, с интерфейсом RS-232C
PS-250	2	25 МГц	1 мВ - 5 В	0,1 мкс / 0,2 с	Сервисный
DS-203	2	30 МГц	1 мВ - 5 В	0,1 мкс / 0,5 с	Запоминающий

А также более 350 наименований контрольно-измерительной аппаратуры и инструмента с гарантией 1 год. Осуществляем рассылку приборов по почте, ж/д и авиа-транспортом.

Приглашаем производителей и поставщиков КИПиА к сотрудничеству.

Организуем дилерскую сеть - льготы, скидки, помощь, реклама, приглашаем салоны "Приборы".

✉ 115612, Москва, Каширское шоссе, 57, корп.5, ☎/факс (095) 344 8476, ☎ (095) 344 6707

Прайс-лист и другую информацию можно получить в автоматическом режиме

(факс-сервер) - (095) 303 7226 (с 9 до 17).

Представитель в Краснодаре: тел./факс (8612) 31 48 62.

ЧЕРТЕЖИ ПЕЧАТНЫХ ПЛАТ — НА «РАДИО-86РК»

В. ЧЕРНЫШЕВ, г. Ивано-Франковск, Украина

Как известно, наиболее трудоемкие операции при воплощении радиотехнической конструкции в жизнь — разработка чертежа печатной платы и перенос его на заготовку. Нередко на помощь в этом случае призывают компьютер. Известно множество программ, позволяющих разрабатывать топологию печатных плат и готовить фотошаблоны. Такие программы обычно работают на высокопроизводительных современных ЭВМ. Однако и на простейших «персоналках» тоже можно кое-что сделать. Пример тому — публикуемая ниже программа «Феникс», разработанная нашим читателем Владимиром Чернышевым для компьютера «Радио-86РК».

Предлагаемая вниманию читателей программа позволяет разрабатывать чертежи одно- и двусторонних печатных плат размерами до 200х160 мм. Она содержит две части: редактирующую (РЕДАКТОР) и печатающую. Программа интенсивно использует ресурсы компьютера, в частности при выводе изображений на экран, поэтому требования к нему довольно жесткие: во-первых, он должен быть полностью совместим с базовой моделью «Радио-86РК» в части регистров контроллера ГДП и видеоадаптера, а во-вторых, объем его ОЗУ должен быть не менее 32 Кбайт. Программа не использует обращений к нестандартным подпрограммам МОНИТОРА.

Принцип работы подобных программ очень прост: будущая плата разбивается на квадратные ячейки, в каждой из которых может быть либо контактная площадка, либо отверстие, либо соединение. В нашем случае ячейка представляет собой квадрат со стороны, равной половине расстояния между двумя соседними выводами микросхем в корпусах DIP, т. е. 1,25 мм. Следовательно, шаг трассировки равен 1,25 мм, а вся плата содержит 160х128 элементарных ячеек.

Для того чтобы РЕДАКТОР программы имел возможность изображать в двух соседних ячейках изолированные один от другого элементы, например, дорожку и контактную площадку с отверстием, компьютер должен иметь в своем знакогенераторе дополнительные графические символы. Принципы и правила доработки знакогенератора подробно описаны в [1]. В приведенную в этой статье таблицу прошивки ПЗУ знакогенератора (табл. 3) необходимо внести изменения в соответствии с табл. 1 (контрольная сумма нового блока 0400—04FF равна 8992). В ее свободные позиции (кроме адресов 0400H—0407H) можно записать любые символы, по вашему усмотрению.

Программа рассчитана на автоматическое управление переключением ползави знакогенератора, для чего вывод 19 микросхемы KP573PФ2 (D12) нужно подключить к выводу 34 контроллера дисплея

KP580BG75 (D8). Однако при желании знакогенератором можно управлять и вручную, если подключить вывод 19 KP573PФ2 так, как описано в статье [1].

В крайнем случае РЕДАКТОРом можно пользоваться и без перепрограммирования ПЗУ знакогенератора, однако дорожки придется составлять только из символов «контактная площадка». Чтобы такие дорожки были изолированными одна от другой, между ними нужно будет оставлять, как минимум, один ряд свободных ячеек. Другими словами, вы не сможете, например, провести печатный проводник между двумя выводами микросхемы в корпусе DIP, не задев их.

Описание РЕДАКТОРА программы (ве машинные коды приведены в табл. 2, а блочные контрольные суммы — в табл. 3) начнем с интерфейса. При первом запуске РЕДАКТОРА на экран выводится заставка. После этого компьютер переходит в режим редактирования. Верхняя строка используется как строка состояния РЕДАКТОРА. В ней изображены название программы, наименование стороны платы, положение курсора относительно левого верхнего угла и режим работы. Оставшаяся часть экрана используется для отображения состояния платы. Естественно, вывести на экран всю плату невозможно — вы видите только ее фрагмент. При попытке вывести курсор за пределы экрана РЕДАКТОР сместит изображение в соответствующую сторону или подаст предупредительный сигнал, если смещение невозможно.

Для того чтобы все линии на экране выглядели непрерывными, РЕДАКТОР удаляет микрострочные пробелы. Это улучшает восприятие изображения (чтобы заметить разницу, сравните его с тем, что вы видите при выполнении команды LINE 0,10 в БЕЙСИКе «МИКРОН»).

Итак, самая главная команда РЕДАКТОРА — <N>. При нажатии на эту клавишу он очищает обе стороны платы. Разрешается выполнять команду перед загрузкой в память односторонних плат и, конечно, перед разработкой новой платы. Это поможет избежать некоторых

трудностей при выводе на печать и построении зеркальных изображений.

По команде <J> рабочее поле покрывается сеткой из символов. (точка). Сетка предназначена только для ориентации и на печать, конечно, не выводится. Команда работает в режиме «триггера» (включено—выключено).

Клавиша <O> (ноль) переключает курсор в режим стирания: все ячейки, в которых он «побывал», очищаются. Режим индичируется буквами «СТР» в строке состояния.

Клавиша <I> «заставляет» курсор рисовать за собой дорожку (в строчке состояния символы «ЛИН»). Заметим, что при этом РЕДАКТОР надлежащим образом обрабатывает все пересечения дорожек. Например, если курсор находился на горизонтальной дорожке, а после подачи команды <I> двинулся вверх, новая и старая дорожки сольются. Если же курсор рисовал вертикальную дорожку, «встретился» с горизонтальной дорожкой и тут «узнал» о команде <I>, дорожки будут соединены. Эту команду лучше выполнять в том случае, если курсор находится на каком-либо элементе платы (на дорожке, на площадке). Не стоит пытаться выполнить ее, если знакогенератор компьютера не доработан.

Команда <2> аналогична команде <O>, однако ячейки в этом случае заполняются символами «контактная площадка». Кроме того, действие курсора в этом режиме не подтверждены ячейки «отверстия». При включении режима в строке состояния появляются символы «УСТ».

При последних командах взаимодействуют между собой по-особому. Если, например, команда <O> используется «сама по себе», она работает как «триггер». Однако, если вы включаете режим «СТР», а затем, не выключая его, дали команду <2>, редактор сразу перейдет в режим «УСТ».

По команде <S> РЕДАКТОР меняет рабочую сторону платы. Ее условное обозначение выводится в строке состояния. При этом следует помнить, что и сторона «ДЕТАЛИ», и сторона «ПРИПОИ» представляют собой вид платы со стороны радиокомпонентов. Иными словами, рисунок печатных проводников получается зеркальным.

При нажатии на клавишу <M> программа строит зеркальное изображение обеих сторон. Эта команда необходима, в частности, при печатании стороны «ПРИПОИ». При каждом выполнении команды изображение платы «прижимается» к левому краю рабочего поля.

По команде <3> РЕДАКТОР «сверлит» в плате отверстие. Перед сменой стороны, записью на магнитофон или выходом из программы все отверстия на текущей стороне «пробиваются» на противоположную сторону, а те из них, что находятся на противоположной стороне (у которых нет выхода на текущую сторону), — стираются.

При нажатии на клавишу <5> в строке состояния появляется (или исчезает) символ «звездочка». Суть этого режима поясняет рис. 1. Если попытаться провести курсор, как показано стрелкой на рис. 1, а при выключенной звездочке, дорожки соединятся (рис. 1, б), а если режим выключен, этого не произойдет (рис. 1, в).

Таблица 1

[illegible]**Таблица 2**

0000:	00	18	09	01	FF	73	3A	42	08	B7	03	08	F0	03	CC	08	4164:
0010:	00	21	72	08	05	21	00	10	00	2B	34	01	08	07	CC	0A	1A61:
0020:	03	0F	00	09	EB	2A	8A	0A	01	18	60	61	00	0E	23	7F	78C9:
0030:	05	00	00	00	0F	05	7F	0F	0F	0F	13	6A	0F	00	05	05	7879:
0040:	15	23	00	02	2F	09	C5	01	05	00	09	09	E8	01	60	00	1C18:
0050:	09	03	01	7B	FE	02	C6	00	3A	BC	0A	FE	0A	C2	30	00	AEAB:
0060:	06	40	39	19	12	13	05	02	64	08	33	71	08	05	C2	20	ED17:
0070:	00	09	21	00	04	11	3F	61	00	5A	09	3A	41	08	07	7F	4A20:
0080:	0A	87	CA	88	00	21	EE	0A	00	5A	09	3A	5A	08	07	3C	1E1A:
0090:	2A	02	C5	00	07	32	78	0F	00	36	02	3A	50	08	87	CC	8950:
00A0:	2E	0A	3A	8F	0A	3E	7A	C3	00	2A	43	08	56	7A	FE	7F	CA3A:
00B0:	3E	23	CA	87	00	37	77	03	00	51	72	05	05	01	87	0F	DAB5:
00C0:	CA	AD	00	C0	07	29	2A	B8	0A	22	4A	08	2A	43	00	22	0321:
00D0:	48	08	2A	8A	0A	22	4C	08	FE	60	0A	DF	00	E6	0D	FE	9C9C:
00E0:	35	0A	49	02	FE	1A	C2	17	01	3E	05	00	00	04	3A	CC	8C44:
00F0:	0A	FE	0A	3A	88	0A	C2	FE	00	20	CA	00	01	FE	21	00	6806:
0100:	CA	83	02	3C	32	B8	0A	2A	43	08	01	4E	00	09	22	43	7484:
0110:	08	00	39	39	09	C3	53	05	FE	19	C2	30	01	3E	01	00	5856:
0120:	0A	3A	88	0A	FE	05	CA	B8	02	30	32	88	0A	2A	43	08	2A30:
0130:	01	B2	FF	09	22	43	08	00	39	09	C3	53	05	FE	08	02	5E18:
0140:	60	01	3E	0A	C0	00	0A	3A	09	0A	FE	08	0A	EC	02	30	346C:
0150:	32	89	8A	2A	43	08	28	22	43	08	00	39	09	C3	53	05	3150:
0160:	FE	18	03	C2	83	01	3E	02	C0	00	0A	3A	09	0A	FE	47	CA3A:
0170:	1F	05	3C	32	89	0A	2A	43	08	23	22	43	08	00	39	09	6760:
0180:	C3	53	03	F5	97	C2	00	0A	F1	FE	4E	02	01	21	00	00	413A:
0190:	10	10	00	50	36	C0	23	1B	7A	83	C2	94	01	32	41	08	0FE7:
01A0:	C3	11	00	FE	F3	C2	B6	01	C0	67	0A	0A	0A	02	0E	01	5651:
01B0:	32	41	08	C3	11	00	FE	1C	02	01	3E	02	C3	C6	01	CC	8C88:
01C0:	FE	1F	C2	64	01	97	2A	43	08	B8	F5	C0	0F	05	F1	00	8C52:
01D0:	00	C4	C3	98	00	01	F4	01	C3	F9	0F	05	00	08	78	81	E792:
01E0:	C2	08	01	C9	F3	C2	EE	01	5E	01	C3	C6	01	FE	00	00	1B30:
01F0																	

0390:	87	C2	B7	3A	59	08	FE	03	79	C2	03	3E	02	47	1657			
0391:	C30:	8D	F5	0F	05	F1	03	C3	03	98	09	97	C3	03	8984			
0392:	C30:	0F	09	0F	0F	15	00	C3	03	21	DE	08	78	0F	C8	571A		
0393:	0F	0F	0F	0F	0F	0E	0F	EB	C5	47	97	2A	08	08	0F	C0	F951	
0394:	09	88	C1	0F	0F	0E	0F	0F	0F	0F	0F	0F	0F	0F	0F	0F	0F	1506
0400:	47	3A	56	08	32	57	08	78	32	56	08	2A	08	0F	0F	0F	0F	3E25
0410:	2A	88	0A	0E	20	14	97	81	15	C2	17	04	0F	0F	0F	0F	0F	8E01
0420:	0E	1C	97	81	0E	0E	0E	0E	0E	0E	0E	0E	0E	0E	0E	0E	0E	ATAE
0430:	04	2A	58	08	78	94	02	38	04	29	3F	47	3E	0F	0F	0F	0F	7796
0440:	04	3E	20	11	67	61	02	13	0C	66	04	79	95	02	02	04	0F	DADA
0490:	2F	3C	47	3E	00	CA	30	0A	0A	0A	0A	0A	3E	20	11	71	61	474A
0460:	12	13	0C	66	04	09	E5	C3	05	21	00	00	22	5E	08	7C	55C1	
0470:	32	60	08	78	0A	7F	0A	0C	99	04	05	C2	78	04	01	0F	0F	C097
0490:	3A	5E	08	0F	0A	0A	C1	E1	C1	01	61	06	21	5E	08	0F	0F	984A
04A0:	0E	03	1A	8E	27	77	23	13	0C	C2	04	0E	0F	0F	0F	0F	0F	030E
0480:	0F	0F	0F	0F	0F	0F	0F	0F	0F	0F	0F	0F	0F	0F	0F	0F	0F	34FB
04C0:	C5	05	F5	C5	24	08	7C	06	08	0F	0F	0F	0F	0F	0F	0F	0F	14E2
04D0:	05	6F	26	04	04	29	29	29	29	29	29	29	29	29	29	29	29	A988
04E0:	00	10	19	EB	2A	08	0A	09	19	11	08	28	3A	41	09	0F	0F	27EE
04F8:	F3	04	F1	57	1E	F0	3A	48	08	0E	01	7A	0A	C6	05	0F	0F	202C
0500:	1E	0F	0F	0F	0F	0F	0F	0F	0F	0F	0F	0F	0F	0F	0F	0F	0F	4C2B
0510:	C5	4F	06	09	21	0A	0A	09	7E	3A	0F	C2	2B	05	3A	F5	0A	5E63
0520:	12	C1	E1	0F	0E	4A	C2	3A	05	0A	F5	0A	0E	2E	32	0F	0F	4E3C
0530:	0A	C3	11	00	0F	0E	0E	0E	0E	0E	0E	0E	0E	0E	0E	0E	0E	7120
0540:	32	67	08	87	0A	F2	07	0A	0C	F2	07	01	00	80	00	0F	0F	086F
0550:	05	01	00	28	0A	5A	05	C3	11	00	16	80	05	C3	7A	0C	0F	0C85
0560:	86	03	00	20	78	95	3A	47	08	95	3F	16	09	19	21	0F	0F	7249
0570:	78	3C	86	FE	0F	0F	0F	0F	0F	0F	0F	0F	0F	0F	0F	0F	0F	7AP1A
0580:	78	12	0E	0E	0E	0E	0E	0E	0E	0E	0E	0E	0E	0E	0E	0E	0E	7AP1A
0590:	3F	3A	50	05	09	E5	C3	05	47	0A	00	21	AE	08	0F	0F	0F	7

0800: 7B B1 C2 CF 08 C1 C9 06 0C 0D 0B 08 05 C2 D9 08 A5A6
 0880: 3E FF 32 42 08 C9 F5 E5 21 01 C0 36 00 28 36 40 0025
 08F0: 36 24 36 77 36 43 23 36 27 7E 7E E6 20 CA FA 0E 0C1E
 0900: 21 08 0E 36 28 0E 04 01 00 60 71 70 2C 36 45 36 0050
 0910: 48 2E 08 36 A4 E1 F1 C9 E5 05 F1 46 08 21 00 2F28
 0920: 60 36 00 23 18 7A 03 C2 21 09 C0 E6 08 39 09 6387
 0930: 3E F3 32 43 68 F1 01 E1 24 88 0A E8 E5 67 3A A80A
 0940: 8F 0A B7 7C F1 CA 48 09 11 60 60 21 01 C0 36 40 E964
 0950: 28 72 73 09 7E B7 0C 12 23 C3 54 09 0E C5 F5 EEDD
 0960: 1A FE 2E C2 67 09 97 21 CF 0A 06 0F 0E C5 F5 D9 2124
 0970: 28 05 02 6C 09 F1 B0 C1 E1 C9 21 4F 10 06 A0 9FAF
 0980: F0 0E 0D 7E A2 C2 82 09 E5 05 11 40 28 19 01 1300
 0990: 7E A2 C2 81 09 E1 05 11 50 0D 19 01 0D C2 84 09 F6F9
 09A0: E1 7A BE FF 57 05 C8 7B E6 01 C2 81 09 2B C3 81 0086
 09B0: 09 E1 E1 C9 21 FF 37 06 80 08 50 7E E5 B7 C2 D5 B280
 09C0: 09 11 00 E8 19 7E B7 C2 05 09 E1 28 00 C2 88 09 C8CF
 09D0: 05 C2 89 09 E1 C1 C9 3A 3F 08 B7 CA 03 F8 3A 40 3076
 09E0: 08 B7 CA EF 09 F5 97 32 40 08 F1 32 0E C2 88 09 C40E
 09F0: F9 09 B7 CA EF 09 C3 06 09 3A 3F 08 B7 CA 12 F8 4334
 0A00: C3 05 05 26 FF 3A 08 B7 C2 62 0A 21 1E 00 3A 5387
 0A10: 02 00 E6 20 C2 19 0A 2E 02 C0 18 F8 FF FF 29 4365
 0A20: 0A 3E FF 32 0E CA C3 62 0A 20 C2 19 0A 32 40 08 F8FF
 0A30: 26 FF 28 C3 F8 06 0E 05 C2 37 0A 3F 06 0E 05 C2 0674
 0A40: 3E 0A 20 C2 3A 0A 3A 40 08 3A 3E 0A B8 CA 62 0927
 0A50: 0A 01 90 0D C0 18 F8 FF FF CA 62 0A 08 78 81 C2 E8A4
 0A60: 54 0A 7C E1 D1 C1 C9 21 00 10 00 3E 01 00 28 9589

CA70: 3A 41 08 B7 CA 78 0A E6 7E E6 0F 30 C2 87 0A 1A 7091
 CA80: E6 F0 3C 12 C3 AF 0A 1A E6 0F 30 C2 92 0A 1A E6 64A4
 CA90: F0 12 7E E6 F0 FE 10 C2 A3 0A 1A E6 0F F6 10 12 E7FA
 CAAD: C3 AF 0A 1A E6 F0 FE 10 C2 AF CA 1A E6 0F 12 1039
 CAB0: 13 08 78 B1 C2 78 0A C9 05 00 00 00 00 00 FF 01 6461
 CAD0: 0D 6F 7F 0F 10 0A 01 04 15 09 08 03 06 02 05 5155
 CAED: 41 52 54 57 4F 52 48 20 44 45 53 49 47 4E 45 52 4098
 CASD: 20 28 73 29 2E 88 00 70 72 69 70 6F 6A 0D 64 65 96F7
 CAFF: 74 61 6C 69 0E 2E 29 44 2A 50 51 5A 53 4A 48 49 5398
 CB00: 55 21 43 5A 21 44 49 46 53 4F 5A 56 49 50 57 21 4868
 CB10: 57 2F 21 29 32 3A 35 2A 21 4A 57 42 47 50 2E 78A6
 CB20: 47 53 42 4F 4C 4A 57 54 4C 28 21 56 42 21 00 C20F
 CB30: 20 20 00 73 74 72 00 6C 69 6E 00 75 73 74 00 00 3C38
 CB40: 00 00 00 00 61 00 00 00 00 00 00 00 00 00 00 00 EEE8
 CB50: 00 08 00 00 00 00 00 00 00 00 00 00 00 00 00 00 000D
 CB60: 00 27 01 00 13 03 10 11 00 11 12 03 10 13 03 06 A881
 CB70: 10 06 06 10 12 15 14 13 03 11 13 03 11 11 00 11 83C6
 CB80: 01 06 02 16 06 00 12 10 01 00 00 01 00 01 02 03 4C4F
 CB90: 00 03 02 00 00 02 02 02 00 02 00 05 06 00 00 00 2727
 CBAD: 09 0A 0C 00 00 08 03 05 09 00 03 00 06 0A 00 01 4344
 CBBD: 02 09 08 05 0C 00 04 03 0A 08 06 07 0E 0F 00 00 7777
 CBCE: 00 03 00 01 04 04 00 03 02 02 01 03 02 00 00 00 1919
 CBDD: 00 01 00 01 02 02 00 01 02 02 03 03 03 00 00 00 1414
 CBED: 98 00 34 0D 68 00 00 00 00 00 00 C4 00 68 00 C4 00 5858
 CBFF: 98 9698

Таблица 3

0000-00FF:945C
 0100-01FF:3431
 0200-02FF:F860
 0300-03FF:E1C57
 0400-04FF:15C08
 0500-05FF:3098
 0600-06FF:882F
 0700-07FF:DC8A
 0800-08FF:6E1C
 0900-09FF:B940
 0A00-0AFF:E2D1
 0B00-0BFF:EFDB
 0C00-0CFF:F308

Код системы
 Вид на экран
 Вид на бумаге

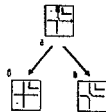


Рис. 1

Таблица 4

Вид работы	
8000H Редактирование	Печать
7600H Рабочие ячейки	Видобуфер
Служебные данные	Служебные данные
6000H Видобуфер	Знакогенератор
3800H Сторона «ДЕТАЛИ»	Сторона «ДЕТАЛИ»
1000H Сторона «ПРИПОЙ»	Сторона «ПРИПОЙ»
8F1H Свободно	Свободно
0 Тепло программы	Тепло программы

Таблица 5

Команда <C1P> очищает содержимое текущей ячейки. По команде <AP2> в ячейку записывается символ «контактная площадка». Надо отметить, что если курсор находится на такой ячейке, он из светлого прямоугольника превращается в значок «#» (двоз)

Теперь о «плочных» командах Командой помещают левый верхний угол прямоугольного блока ячеек. Кроме того, эта команда определяет ячейку, от которой ведется отсчет координат курсора (по умолчанию — от левого верхнего угла рабочего поля). Координаты (в миллиметрах) выводятся в строке состояния двумя числами со знаком: горизонтальная координата (по оси абсцисс) и вертикальная (по оси ординат). Программа предполагает, что фактические размеры ячеек — 1,27x1,27 мм (дюймовая система). Еще раз к вопросу размеров мы вернемся позже.

Командой <V> помещают правый нижний угол прямоугольного фрагмента. По этой команде компьютер запоминает все необходимые координаты блока. При попытке «вывернуть» фрагмент «наизнанку» (поменять местами углы прямоугольника) компьютер выдает предупредительный сигнал.

Для копирования блока необходимо указать курсором на ячейку, где будет находиться левый верхний угол копии и нажать на клавишу <T> (конечно, предварительно пометив фрагмент, подлежащий копированию). Эта директива имеет некоторые особенности. Во-первых, копируется только одна сторона помеченного блока («ПРИПОЙ» или «ДЕТАЛИ»), та, на которой была выполнена команда <V>. Во-вторых, копирование может происходить между сторонами платы: можно, например, поместить блок на стороне «ПРИПОЙ», а клавишу <T> нажать на стороне «ДЕТАЛИ». И, наконец, если копируемый фрагмент не помещается на рабочее поле, он будет усечен.

Копирование происходит построчно, начиная с верхней строки, поэтому копия может «затирать» оригинал без каких-либо отрицательных эффектов, если находится выше или на одном уровне с ним. Если же копию необходимо разместить ниже оригинала, можно попытаться «прижать» плату к нижнему краю рабочего поля директивой <U>, а затем скопировать обычным способом. Пользоваться этой директивой следует с осторожностью: если в самой нижней строке стороны «ПРИПОЙ» находится хоть один

символ РЕДАКТОР может испортить изображение.

Команда <F> позволяет заполнить все ячейки блока на текущей стороне определенным символом. Его условный код (табл. 4) нужно ввести непосредственно после нажатия на клавишу <F>. Например, команда <F>+<0> очищает фрагмент, а команда <F>+<2> заполняет его символом «контактная площадка».

Особо отметим специфику распределения адресного пространства процессора при работе программы (табл. 5). Информация о каждой стороне платы занимает в памяти (и на магнитофонной кассете) 10 Кбайт. Для экономии памяти в ОЗУ записывается не восьмичисленный ASCII-код символа, а его четырехбитный условный код (см. табл. 4). Иными словами, каждый байт ОЗУ хранит информацию о двух соседних ячейках платы.

(Окончание следует)

ЛИТЕРАТУРА

1 Игнатьев Ю. Новый знакогенератор для «Радио-88РК». — Радио, 1991, № 8, с.44—49

FLASH-ПАМЯТЬ INTEL ИДЕТ НА СМЕНУ EPROM

С. ГРУШИН, В. МЕЛЕХИН, г. Санкт-Петербург

Память — неотъемлемая часть любого микропроцессорного устройства. Недавно на российском рынке появились микро-схемы памяти нового типа — так называемой FLASH-памяти. По сравнению со статическим или динамическим ОЗУ они не требуют источника питания для сохранения данных. Важное преимущество FLASH-памяти по сравнению с накопителем на жестком диске — возможность прямого выполнения программного кода, т. е. исключения стадии "перекачивания" кода программы в динамическое ОЗУ для выполнения. Один бит информации FLASH-памяти Intel стоит чуть дороже одного бита динамического ОЗУ и в четыре раза дешевле одного бита статического ОЗУ. Благодаря полупроводниковой технологии FLASH-память потребляет значительно меньше энергии, имеет гораздо меньшие размеры, легче, надежнее и устойчивее к механическим воздействиям, чем накопители на жестких магнитных дисках.

Микросхемы FLASH-памяти впервые были представлены фирмой Intel в 1988 г. Память нового типа является энергонезависимой, электрически стираемой и перепрограммируемой.

Запоминающий элемент (ЗЭ) микросхемы FLASH-памяти построен на одном МОП-транзисторе с плавающим затвором, выполненным по своей, запатентованной Intel технологии, названной ETOX (от англ. EPROM Thin Oxide). Полупроводниковая структура этого транзистора сходна со структурой ЗЭ перепрограммируемого ПЗУ (EPROM) со стиранием информации ультрафиолетовым облучением. Он содержит подложку р-типа, на которой сформированы области р-стока и истока. Над промежуток между ними расположен управляющий автор (УЗ), отделенный от подложки слоем оксида SiO_2 . В последнем сформирована область поликристалла, выполняющая функции второго — плавающего — автора (ПЗ). В этой области может накапливаться заряд электронов, электрическое поле которого смещает порог открывания транзистора. В результате при номинальном напряжении на УЗ и отсутствии заряда в ПЗ транзистор открыт, а при наличии заряда — закрыт. Эти два состояния и используются для запоминания "единиц" и "нулей".

Благодаря использованию технологии ETOX, толщину слоя SiO_2 между ПЗ и подложкой транзистора удалось уменьшить (по сравнению с EPROM) более чем в три раза (до 100 Å). Следствием этого стали две особенности транзистора, которые и позволили создать FLASH-память: напряжение, используемое при записи информации (для инжекции электронов в ПЗ), снизилось до 12 В, появилась возможность электрического стирания (удаления заряда из ПЗ) за счет туннельного эффекта при напряжении между стоком и УЗ, равном 12 В. Эти осо-

бенности позволили обеспечить перезапись информации в составе микропроцессорной системы и во много раз увеличить число перезаписей.

Для организации накопителя информации в микросхемах FLASH-памяти ЗЭ размещены в виде прямоугольной матрицы. В каждой строке УЗ транзисторов объединены и образуют шины выбора слова, стоки в каждом столбце также объединены и образуют шины выбора разряда (бита), а объединенные истоки — шины, подключаемые к усилителям восприятия информации. Такая схема соединений (NOR) накопителя весьма критична к выполнению стирания. Дело в том, что при стирании из ПЗ может быть изъят больше электронов, чем было инжектировано при программировании. В результате в ПЗ появится положительный заряд, транзистор станет проводящим независимо от напряжения на УЗ и зашунтирует весь столбец ЗЭ в матрице. Вернуть такую микросхему в работоспособное состояние уже не удастся.

Чтобы исключить это нежелательное явление, специалисты Intel разработали ряд мер, повлиявших на структуру и организацию работы микросхем FLASH-памяти. К их числу относятся:

- применение специальных алгоритмов записи и стирания с контролем состояния и завершением процесса по результатам контроля;

- предварительное программирование в алгоритме стирания, при котором перед стиранием все ЗЭ матрицы устанавливаются в состояние 0;

- включение в состав микросхем регистра, хранящего идентификаторы фирмы-изготовителя и типа микросхем, что позволяет защитить элемент от ошибок выбора алгоритма (код изготовителя — всегда 89H, а код микросхем зависит от ее типа);

- встраивание в микросхемы цепей,

реализующих алгоритмы стирания и валидации, что упрощает внешнее управление и защищает от ошибок при перезаписи.

Можно выделить три группы микросхем FLASH-памяти:

- микросхемы первого поколения, выполненные в виде единого массива (блока), или иначе стираемые целиком (BULK-ERASE). К их числу относятся микросхемы 28F256, 28F512, 28F010, 28F020;

- микросхемы с разделением массива памяти на блоки разного размера и с различными уровнями защиты от случайных стирания и записи или стираемые по блокам разного размера (BOOT-BLOCK). К их числу относятся 28F0018X-T/B, 28F0028X-T/B(L), 28F2008X-T/B(L), 28F0048X-T/B(L), 28F4008X-T/B(L);

- микросхемы третьего поколения с наибольшим размером массива, разделенного на блоки одинакового объема с независимым стиранием (F-ASH-FILE): 28F006SA(L), 28F016SA, 28F032SA.

Микросхемы BULK-ERASE могут быть напрямую использованы вместо EPROM во встраиваемых системах и микроконтроллерах. Их основное преимущество — возможность электрического стирания при сохранении энергонезависимости — дает разработчику большие преимущества. Если при использовании обычного ПЗУ процесс модификации "защиты" в нем кода или данных требует длительной процедуры стирания, для чего микросхему необходимо извлечь из платы и подвергнуть ультрафиолетовому облучению, то FLASH-память можно перепрограммировать под управлением процессора самой системы. Если же разрабатываемое устройство критично к объему памяти или не имеет источника напряжения перепрограммирования, то можно использовать внешний программировщик, подключаемый через технологический разъем. Для получения требуемого напряжения рекомендуется использовать аналоговый преобразователь напряжения 5/12 В. По сравнению с EEPROM (электрически стираемым ПЗУ), отличающимся усложненной структурой ЗЭ, а следовательно, имеющим ограничение на плотность их размещения на кристалле, FLASH-память, использующая один транзистор на один запоминающий элемент, несомненно, выигрывает по плотности и себестоимости.

Микросхемы группы BOOT-BLOCK применяют для хранения BIOS в персональных компьютерах. Они позволяют объединить BIOS, который теперь может быть обновлен прямо с дисков, ОЗУ с неотключаемым питанием, где хранятся параметры компьютера, и часть операционной системы, загрузочный код которой может быть защищен от несанкционированного изменения или случайного стирания. Особенность FLASH-памяти в том, что ее содержание нельзя стереть, на подачу на специальный вход микросхемы напряжение программирования +12 В. Это и позволяет предохранить ценную информацию от случайного или несанкционированного стирания. Возможность электрического перепрограммирования FLASH-памяти существенно облегчает процесс модернизации (Ur-

grade) микросхем BIOS на более новые версии.

Наконец, микросхемы группы FLASH-FILE используют для хранения данных большого объема в так называемых FLASH-картах — альтернативе жестким магнитным дискам. Так как объемы производств микросхем FLASH-памяти неизменно растут, можно ожидать, что в недалеком будущем FLASH-память заменит жесткие магнитные диски во многих областях применения. Например, в системах, работающих в условиях сильных механических воздействий, при которых жесткие диски неприменимы или быстро выходят из строя; в портативных персональных компьютерах типов Notebook, Paintor и т. д. По времени доступа FLASH-память в 125...250 раз "быстрее" жесткого диска, однако уступает пока ему по информационному объему: у выпускаемых в настоящее время FLASH-карт (или так называемых "твердотельных дисков") он не превышает 40 Мбайт.

Число циклов стирания/записи микросхем FLASH-памяти — не менее 100000. Для новейших микросхем 28F016SA и 28F032SA используются технологии и алгоритмы стирания/записи, позволяющие улучшить эту характеристику на порядки. Минимальное время чтения байта/слова обычно не превышает 100 нс и всегда существенно больше у микросхем, работающих при напряжении 3,3 В.

Время записи (байт/слово) составляет примерно 8 мкс, время стирания блока (64 Кбайт) — около 1 с. Здесь следует оговориться: по мере выработки ресурса по циклам стирания/записи изменяется структура оксида между ПЗ и полупроводником. В результате увеличивается число циклов, необходимое для стирания/записи информации, поэтому затраты времени на эти операции могут возрасти в несколько раз. Информационная емкость микросхем — от 256 Кбит до 32 Мбит.

Напряжение питания микросхем FLASH-памяти — 5 В \pm 10%, стирания и программирования — 12 В \pm 5%. Выпускаются также микросхемы, работающие при напряжении 3,3 \pm 0,3 В (в условном обозначении присутствует буква L). Для них характерна большая длительность цикла чтения байта. Микросхемы 28F016SA и 28F032SA могут работать как при 5, так и при 3,3 В (ребочее напряжение устанавливается по уровню напряжения на соответствующем выводе микросхемы).

Потребляемый ток существенно зависит от режима работы микросхем. При отсутствии обращения она находится в спящем режиме (Standby). Основная часть внутренних цепей в этом случае отключена, и потребляемый ток значительно меньше, чем в активном режиме, например при чтении информации из устройства. При стирании и записи потребляемый ток возрастает (по сравнению с активным режимом), главным образом по цепи \pm 12 В. Элементы микросхем, стираемые по частям, могут устанавливаться в режим микропотребления (Powerdown), в котором ток, потребляемый от источников напряжений 5 и 12 В, не превышает долей микроампера.

НА КНИЖНОЙ ПОЛКЕ

100 ЛЕТ РАДИО

Сборник научно-технических статей.

Под ред. В. В. Мигулина и А. В. Гороховского

В посвященном 100-летию радио традиционном издании, которое начало выпускаться с 1945 г. — с 50-летия зарождения практической радиотехники и радиосвязи — и в дальнейшем выходило через 10 лет к каждой последующей "круглой" дате, содержится статья о современном состоянии и перспективах развития ряда направлений использования радио в научных и практических целях. Составители и авторы сборника отмечают, что сегодня спектр использования радио настолько широк, что в одной книге приемлемого объема невозможно осветить все многообразие его использования.

Сборник открывает обзорная статья академика РАН В. В. Мигулина, посвященная истории развития радио со времени его зарождения и до середины 20-х годов нынешнего столетия. Статья способствует объективной оценке вклада ученых различных стран в исследование, создание и практическое использование в различных радиосредствах для передачи сообщений с помощью радиоволн на большие расстояния. Это тем более важно, что во многих публикациях прошлых лет допускалось немало неточностей, в порой и сознательно необъяснимое освещение истории радио по чисто идеологическим соображениям.

В книге помещены ряд статей по приоритетным подотраслям электрической связи, представляющей собой единый комплекс передачи, приема и обработки различных видов информации независимо от способа обмена ею — с помощью электромагнитных волн или по проводу, что делается в этих сборниках впервые. Ведь сегодня рассматривать подотрасль радио в отрыве от других видов электрической связи — значит выступать в противоречии с мировой научно-технической концепцией в области телекоммуникаций.

Первая статья этой части книги написана министром связи России В. Б. Буяговым. Она посвящена главным образом таким важнейшим направлениям телекоммуникаций, как цифровизация сетей связи, использование волоконно-оптических линий связи, спутниковые и подводные системы связи. Показаны пути интенсификации работ в области формирования современных систем и средств электрической связи, которая набирает обороты и позволяет надеяться, что в недалекой перспективе Россия войдет в мировое телекоммуникационное пространство.

К этой статье примыкает ряд последующих публикаций, авторы которых рассматривают наиболее актуальные вопросы развития цифровых сетей связи, использования волоконно-оптических и спутниковых линий, мобильной связи (в том числе сотовой), организации радио и телевизионного вещания. Впервые в сборнике рассказано о новых направлениях в электрической связи: интеллектуальных сетях как основы интеграции сетей телекоммуникаций различного назначения, служб передачи информации, получивших название телеметрических служб и

являющихся результатом взаимоперекрестного высветлительного техники и новых средств проводной и радиосвязи.

Рассказано о радиосистемах (в том числе спутниковых) обеспечения связи водного и водного транспорта. Специальная статья посвящена вопросам радиобеспечения космических программ, предусматривающих изучение окружающей среды и природопользование, исследование дальнего космоса, использование радиосредств при полетах и продолжительном пребывании человека в космосе.

В сборнике помещены статьи по таким базовым для радиотехники вопросам, как радиоприемные и радиопередающие устройства, антенно-фидерные устройства и системы. Приведены в этих статьях примеры иллюстрируют некоторые характерные стороны интенсивно развивающегося процесса рождения радиотехники XXI столетия. К этим статьям примыкает материал о распространении радиоволн (в том числе субмиллиметровых и миллиметровых) и использование их спектра с условием обеспечения электромагнитной совместимости. Описаны достижения в области радиостроения как мощного средства познания окружающей нас мира. В решении разнообразных задач радиотехники важнейшую роль принадлежит радиозмерениям, которым посвящена одна из статей сборника. Весьма актуальна статья по методам применения радиоволнового диалога, в также радиотехнических и радиотехнических методов в медицине и биологии.

Нельзя не отметить статью об интегральной электронике — решающем направлении в электронике, которое в значительной мере определяет пути дальнейшего развития радиотехники в широком значении этого термина.

В этом сборнике, наряду с некоторыми другими современными областями использования радио, впервые рассказывается о применении радиотехники в военном деле. Обращаем внимание в первую очередь читателей нашего журнала на публикуемую здесь статью о роли радиолобительства в развитии радиотехники. За последние годы это наиболее полное освещение истории отечественного радиолобительства и вклада энтузиастов радиотехники в прогресс радиотехники.

Не может не заинтересовать читателей статья о международном регулировании радиосвязи, которое осуществляется соответствующими службами Международного союза электросвязи. Эта статья подготовлена специалистами МСЭ.

Завершается сборник подробной хронологией основных открытий и изобретений в области радио.

Книга, безусловно, полезна для широких кругов инженерно-технических и научных работников, студентов и радиолобителей.

М., Радио и связь, 1995



Фирма "ЭФО" предлагает

Современную элементную базу фирм:

Intel, Altera, SGS-Thomson,
UMC, Microchlp, AMD, Phillips

Средства поддержки разработок фирм:

Intel, Altera, BP Microsystems, NOHAU,
Franklin/Kell, BSO/Tasking, IAR

Старую элементную базу фирм Intel, Altera, AMD, Texas Instruments,
National, Harria для серийно выпускаемой аппаратуры.

Документацию

- ♦ Каталоги производителей на бумажных, магнитных носителях и CD-ROM;
- ♦ Книги на русском языке по MCS-51, MCS-96;
- ♦ Брошюры и статьи на русском языке по применению современной элементной базы.

Консультации и обучение

Консультации по оптимальному выбору элементной базы по критерию цена/функциональные возможности. Однодневные тематические семинары и курсы повышения квалификации.

Проектирование и изготовление специализированных БИС

Центр технической поддержки продукции фирмы **Altera**, созданный совместно с Санкт-Петербургским Государственным Техническим Университетом, осуществляет на базе БИС программируемой логики фирмы **Altera** проектирование цифровых устройств и их реализацию в виде единой БИС, консультации по оптимальному выбору элементной базы и набора средств проектирования.

Фирма "ЭФО"

С-Петербург: 194021 ул. Политехническая, д. 21
тел. **Ж (812) 247-89-00, 247-81-58, 327-88-54, факс (812) 247-58-40**
Москва: **Ж (095) 915-67-34**

БИС фирмы Altera

обеспечивают

При использовании в простых микропроцессорных устройствах

- Реализацию дешифраторов, регистров и других узлов;
- Сокращение потребляемой мощности;
- Замену БИС малой степени интеграции;
- Улучшение массо-габаритных характеристик;
- Защищенность изделий от копирования.

При использовании в сложных микропроцессорных устройствах

- Реализацию устройств, содержащих до 100000 логических вентилей;
- Реализацию устройств с тактовой частотой до 200 МГц;
- Сокращение затрат, связанных с производством многослойных печатных плат;
- Программирование БИС на плате.

САПР фирмы Altera позволяет осуществить: ввод проектов, созданных в системах **PCAD, ORCAD, XACT**; текстовый (AHDL, VHDL), графический ввод проекта; временное и функциональное моделирование; разводку БИС; программирование (перепрограммирование) и тестирование БИС.

ЦИФРОВЫЕ ОСЦИЛЛОГРАФЫ: ВОЗМОЖНОСТИ И ПРИМЕНЕНИЕ

С. КОЗЕЛ, г. Минск, Беларусь

По мере развития электронной техники расширяются функциональные возможности осциллографов, улучшаются их характеристики и параметры. Все большую популярность завоевывают благодаря ряду качественных преимуществ цифровые осциллографы (ЦО). Предлагаемая здесь статья дает представление о возможностях ЦО, поясняет, как оценивать и сравнивать технические достоинства приборов, содержит информацию о изделиях, выпускаемых объединением БЕЛВАР (г. Минск, Беларусь).

Возможность наблюдения формы исследуемого электрического сигнала с одновременным измерением его параметров выдвинула электронно-лучевой осциллограф в разряд универсальных приборов, и среди многообразия традиционной измерительной техники он занял особое место.

На так давно осциллографы представляли собой аналоговые устройства реального масштаба времени без преобразования сигнала в цифровую форму для последующего анализа. Современному специалисту во многих случаях простого отображения интересующего колебания на экране уже недостаточно. В некоторых ситуациях необходимо исследовать форму сигнала до момента выпуска, провести анализ осциллограммы или выполнить вычислительные операции.

Быстрый прогресс в сфере цифровой электроники и внедрение средств вычислительной техники в измерительную аппаратуру создали условия для цифровой обработки исследуемых сигналов, которая позволила увеличить точность измерений и повысить уровень автоматизации приборов и осциллографов, в частности.

До появления цифровых моделей основной технической характеристикой осциллографа считалась ширина полосы частот. Она определяла предельную частоту сигнала, отображаемую с ослаблением не более 3 дБ, и зависела от частотной характеристики канала вертикального отклонения. Цифровой осциллограф, в отличие от аналогового, регистрирует сигналы путем измерения мгновенных значений аналогового сигнала на входе в установленные моменты времени. Эти выборочные значения преобразуются в цифровую форму и хранятся в памяти.

Исходная форма сигнала может быть восстановлена по содержимой в памяти информации о выборках. Поэтому частотные возможности цифрового осциллографа зависят от нескольких факторов:

- методики преобразования сигнала;
- частоты выборки, используемой в данной методике;
- полосы пропускания входного усилителя.

Обобщенная структурная схема ЦО приведена на рис. 1. Принцип действия осциллографа основан на дискретизации исследуемого сигнала, квантовании каждой выборки сигнала по амплитуде, их запоминании и последующем отображении на экране осциллографа в координатах «амплитуда—время». Выборки соответствуют мгновенным значениям на-

прывного исследуемого сигнала в моменты времени, которые задаются тактовыми импульсами стробирования, поступающими с выхода формирователя временного масштаба (ФВМ). Квантование выборки сигнала по амплитуде производится с помощью аналого-цифрового преобразователя (АЦП), с выхода которого цифровые коды поступают на вход запоминающего устройства выборки (ЗУВ). При этом каждый цифровой код с выхода АЦП, соответствующий выборке входного сигнала, запоминается в отдельной ячейке ЗУВ.

Переключение ячеек осуществляется с помощью адресного счетчика (АС), входящего в состав ЗУВ, и происходит в режиме записи сигнала синхронно с появлением каждой новой выборки под воздействием тех же импульсов, которыми стробируют АЦП. Нарастающий по значению выходной код адресного счетчика (адрес) выполняет здесь ту же роль, что и пилообразное напряжение развертки в аналоговом осциллографе. При этом скорость изменения адреса во времени устанавливает временной масштаб развертки ЦО и определяется частотой следования стробирующих импульсов с выхода формирователя временного масштаба.

После заполнения ЗУВ оно переключается в режим считывания и информа-

ция о сигнале переписывается в память устройства отображения (УО). При этом следует отметить, что передача данных из ЗУВ в устройство отображения производится с неизменной частотой считывания, которая не зависит от скорости дискретизации входного сигнала, т. е. от частоты следования стробирующих импульсов. Таким образом, ЗУВ служит для сопряжения, в соответствии с длительностью исследуемого сигнала, временного масштаба развертки ЦО с неизменным временным масштабом устройства отображения, который необходим для сохранения постоянной яркости изображения на экране ЦО. Соответствие амплитудного диапазона исследуемого сигнала с входным диапазоном ЦО достигается с помощью масштабирующего усилителя (МУ), установленного на входе АЦП. Синхронизатор (С) осуществляет выбор внешнего или внутреннего источника синхронизации и формирование синхросигналов.

Изображение исследуемого сигнала на экране ЦО является результатом последовательного опроса ячеек памяти устройства отображения и формирования на экране яркостной точки, соответствующей каждой ячейке. При этом положение точки по вертикали определяется значением цифрового кода, записанного в соответствующей ячейке памяти, а по горизонтали — значением цифрового кода адреса этой ячейки. Опрос памяти в устройстве отображения ЦО производится с постоянной частотой. Она выбирается таким образом, чтобы обеспечить отсутствие мерцания изображения на экране. Благодаря этому качеству изображения на экране ЦО не зависит от частоты повторения исследуемого сигнала. Это выгодно отличает его от аналоговых осциллографов, в том числе использующих запоминающую ЭЛТ. Яркость изображения однократного сигнала на экране ЦО на зависит от времени и не отличается от яркости изображения повторяющегося сигнала.

Существуют два основных метода дискретизации сигнала по времени.

1. Выборка в реальном масштабе времени.

В случае однократных или редко повторяющихся событий вся выборочная информация должна быть получена очень быстро, за время действия этого события. Это достигается при осуществлении скоростной выборки в реальном масштабе времени путем получения ряда выборочных значений в пределах одного периода сигнала и построения исходного сигнала по этим выборочным значениям (рис. 2).

Наибольшая частота выборочных срезов (скорость выборки) определяет максимальную частоту спектра однократного сигнала, который может быть зарегистрирован и точно воспроизведен. Для правильного восстановления формы синусоидального колебания при точном представлении его изображения необходимо отобразить на экране не менее 25 точек на период; максимальная частота сигнала оказывается во столько же раз меньше численного значения максимальной частоты дискретизации. Благодаря простоте технической реализации точное формирование изображения исследуемого сигнала находит применение в простейших ЦО, в сложных приборах для восстановления формы сигнала используют линейную интерполяцию (рис. 2), функцию $\sin x/x$ и др. Обычно принято

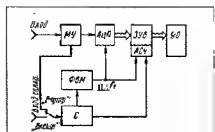


Рис. 1

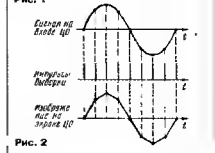


Рис. 2

считать, что для точного воспроизведения формы колебания требуется на менее десяти выборок значений одного периода. Следовательно, при частоте выборки 100 МГц в реальном масштабе времени можно зарегистрировать однократные события, имеющие спектр частот до 10 МГц.

Если рассматривать возможности регистрации единичных сигналов во временном смысле ("горизонтальное разрешение"), то частоту выборки 100 МГц можно считать эквивалентной разрешению в 10 нс, понимая под этим наиболее скоротечный однократный сигнал, который поддается надежной регистрации.

2. Повторная выборка (в эквивалентном масштабе времени).

Если частота периодического сигнала слишком велика для регистрации в режиме однократного анализа, используется метод повторной выборки, при котором вместо регистрации всех отсчетов за один цикл (период) сигнала осциллограф выполняет один или несколько отсчетов в каждом из большого числа периодов, а затем объединяет все данные и синтезирует истинную форму колебания.

Принятый в зарубежной осциллографии термин "эквивалентный масштаб времени" в отечественных источниках зачастую именуется как "трансформированный масштаб времени" из-за переноса спектра исследуемого сигнала в низкочастотную область. ЦО с эквивалентным масштабом времени позволяют исследовать лишь периодические или повторяющиеся сигналы. В названиях отечественных ЦО такого типа обычно добавляло слово "стробоскопический".

Известны два способа реализации метода повторных выборок: рандомизированный и последовательный. Наибольшее распространение получили рандомизированная выборка, поскольку она обеспечивает возможность наблюдения сигнала до момента запуска. Суть ее состоит в том, что отсчеты входного сигнала формируются и записываются в память через фиксированные интервалы времени независимо от формы входного колебания и работы схемы запуска. В каждом цикле развертки измеряется временной интервал между моментом запуска и следующим отсчетом. Поскольку тактовый сигнал дискретизации (отсчеты) и входное колебание несинхронны, временные соотношения между ними будут чисто случайными и точки дискретизации будут располагаться произвольно относительно наблюдаемого процесса (рис. 3). Затем, зная тактовую частоту дискретизации, можно вычислить моменты, соответствующие всем остальным отсчетам до и после запуска, что позволяет, правильно расположить выборочные значения, реконструировать сигнал.

Реализация рандомизированной дискретизации сигналов с частотой порядка 10 ГГц связана с такой проблемой, как измерение задержек с требуемым субпикосекундным шагом, что труднодостижимо для современной техники. В этих случаях для обработки самых высокочастотных колебаний используется другой метод, получивший название последовательной дискретизации.

При повторной последовательной дискретизации (рис. 4) каждая последующая выборка берется в момент, когда начало нового периода запускает схему ЦО плюс увеличивающийся с каждым периодом интервал времени. Таким образом, выборки "стробируются" вдоль сигнала в той последовательности, в какой сигнал

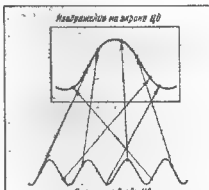


Рис. 3

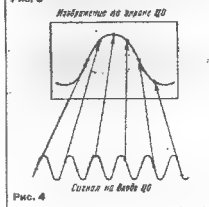


Рис. 4

поступает в цифровой осциллограф. Поскольку выборки "запускаются" самим сигналом, то в этом случае скорость выборки устанавливается автоматически.

При этом достигается снижение аппаратных затрат и уменьшение энергопотребления, по сравнению с ЦО других типов с такой же полосой пропускания, так как в данном случае допустимо использование элементов с ограниченными быстродействиями.

В обоих методах повторной выборки максимальная частота периодического сигнала, который может быть зафиксирован цифровым осциллографом, определяется частотой характеристической усилителей вертикального отклонения осциллографа, а не скоростью выборки.

Одна из тенденций развития современных широкополосных ЦО заключается в создании комбинированных приборов, которые на "медленных" развертках работают в режиме реального времени, а на "быстрых" развертках — в режиме эквивалентного времени. Этим достигается существенное расширение полосы пропускания при исследовании повторяющихся (периодических) сигналов. Причем, как правило, благодаря высокому уровню автоматизации управления по временным комбинированным ЦО, оператор не ощущает разницы между работой в реальном и эквивалентном времени (например, С8-28, С9-28 и др.).

Разрешающая способность любого осциллографа характеризует его способность различно воспроизводить мелкие детали изображения исследуемого сигнала. До появления ЦО увеличение разрешающей способности достигалось путем увеличения размеров экрана ЭЛТ при уменьшении толщины линии луча. Так, например, экран ЭЛТ большинства современных аналоговых осциллографов имеет размеры 80х100 мм при толщине

лучи 0,4 мм. Это значит, что аналоговый осциллограф способен различно отобразить на своем экране не более 100/0,4=250 точек по горизонтали и 80/0,4=200 точек по вертикали. При этом разрешающая способность такого осциллографа по горизонтали может быть определена как обратная величина полученного отношения, т.е. $1/250 \approx 4 \times 10^{-3}$, а по вертикали — $1/200 \approx 5 \times 10^{-3}$.

В отличие от аналогового осциллографа, разрешающая способность ЦО по горизонтали определяется количеством М запоминаемых выборок исследуемого сигнала и составляет 1/М.

В настоящее время количество выборок М в реализации сигнала для большинства моделей ЦО составляет 1000—50000 слов (1 — 50 слов). Каждая выборка запоминается в виде цифрового кода (цифрового слова), поэтому объем памяти ЦО обычно указывают не в количестве бит, а в количестве запоминаемых слов, разрядность которых определяется разрядностью АЦП.

Разрешающая способность таких ЦО по горизонтали составляет $1/1000 \sim 1/50000$, т.е. по сравнению с аналоговыми осциллографами разрешающая способность ЦО с цифровой разверткой увеличивается в 4—200 раз.

Разрешающая способность ЦО по вертикали определяется количеством уровней квантования исследуемого сигнала 2^n , которое, в свою очередь, зависит от количества двоичных разрядов N аналого-цифрового преобразователя в битах и у современных ЦО составляет от 6 до 15 бит, причем большинство ЦО имеют разрядность 8 бит.

Высокая разрешающая способность ЦО, достигнувшая благодаря большому объему памяти, открывает широкие возможности при исследовании тонкой временной структуры сложного однократного сигнала, например, коротких всплесков. Оператор получает возможность выделить на полном изображении сигнала интересующий его участок и растянуть его для наблюдения мелких деталей на весь экран ("лупа времени").

Таким образом, изображение любого участка запоминаемого сигнала может быть растянуто на экране ЦО до такой степени, что каждая запоминаемая точка сигнала отображается различно до соседних как по уровням квантования (по вертикали), так и по интервалам дискретизации (по горизонтали) независимо от разрешающей способности экрана ЦО.

Потребность в ЦО с высокой разрешающей способностью возникает при спектральном анализе сигналов и исследовании тонкой структуры сложного сигнала, например, неравномерности вершины импульса большой амплитуды, помех, возникающих при коммутации сигналов, шумов и т. д.

При исследовании однократных процессов преимуществом ЦО становится исключительно важным. Например, переходные процессы при замыкании контактов ларенчелателя или включении источника питания удобно исследовать именно с помощью ЦО. В памяти такого прибора могут записываться и храниться длительные реализации, которые затем могут детально изучаться в течение неограниченного времени. Такие возможности в аналоговых осциллографах просто отсутствуют.

Однако главным преимуществом ЦО является возможность исследования "предыстории" однократного сигнала, т.е. запоминания и отображения участка

Модель прибора	Максимальная частота регистрации		Частота выборки, МГц	Число каналов	Вертикальное разрешение, бит	Экран, размер, мм	Функциональные возможности
	Единичные сигналы, МГц	Периодические сигналы, МГц					
C1-137/2	0,1	25	1	2	8	60x80	1, 9
C8-28	0,25	20	2,5	1	8	ЖКИ 60x100	2, 3
C9-9	—	18 000	низкая	2	8	150x150	2; 4; 5; 7; 8, 9
C9-27	10	17,5	100	2	8	100x120	2; 4; 5; 6; 8
C8-28	2	100	20	2	8	80x100	2; 4; 5; 6; 8

Примечание. 1 — регистрация периодических сигналов во всем диапазоне в режиме реального времени; 2 — автоматическое измерение частоты, периода, длительности, развала; 3 — универсальное питание 220 В/50 Гц, 12 В постоянного тока; 4 — маркерные измерения напряжений и временных интервалов; 5 — автоустановка и самодиагностика; 6 — режим усреднения, отглаживания, анализа выпуклостного спектра; 7 — рефлектометрические измерения, цифровая фильтрация сигналов, преобразование Фурье, исследование АЧХ и ФЧХ; 8 — параметров частотополосности; 9 — интерфейс IEC-625 (КОП); 9 — интерфейс IEC-232 (Стем-2).

однократного сигнала, предшествующего моменту запуска (режим предзапуска). Такая возможность реализуема потому, что в ЦО до появления синхронимпульса сигнала записи производят непрерывную запись выборок исследуемого сигнала в память прибора. Запись каждой новой выборки, замыкающей запомненную реализацию сигнала, сопровождается "вытеснением" выборки в начале этой реализации, записанной в ЗУВ раньше всех остальных. Это обеспечивает дискретный сдвиг по времени запомненной реализации с пошлывом "продвижением" регистрируемого сигнала через ЗУВ. Если описанный процесс остановить в некоторый момент времени (появление синхронимпульса сигнала записи), то в памяти ЦО зафиксирован участок сигнала, предшествующий этому моменту. Обычно пользователь устанавливает точку запуска в некоторое промежуточное положение и на экран выводятся участки сигнала до и после этого момента.

Режим предзапуска позволяет, например, изучать состояние материалов и конструкций непосредственно перед их разрушением (при испытании на прочность), наблюдать сигнал непосредственно перед возникновением сбоя в электронной схеме, исследовать причины возникновения различных явлений в сейсмологии, медицине, биологии и других областях.

Новые, необычные для пользователя возможности предоставляет режим "выделения пиков". При этом в памяти ЦО фиксируется последовательность не мгновенных значений исследуемого сигнала в точках дискретизации, а последовательность минимальных и максимальных значений, которые принимает сигнал в течение каждого интервала дискретизации. В этом режиме, в отличие от классического метода дискретизации, не теряется информация об исследуемом сигнале в интервалах между моментами дискретизации. В результате открывается возможность наблюдения отглаженного сигнала, регистрации и отображения на экране ЦО практических любых изменений исследуемого сигнала, например, коротких всплесков сигнала ("Glitches") длительностью меньше интервала дискретизации. При этом существенно увеличивается разрешающая способность ЦО по времени. В частности, в этом режиме осциллограф C8-28 позволяет наблюдать короткие всплески длительностью 25 нс на участке исследуемого сигнала длительностью до 64 с (соотношение длительностей — 2×10^9), что эквивалентно увеличению разрешающей способности ЦО в миллионы раз по сравнению с разрешающей способностью его экран по горизонтали. Режим "выделения пиков" может использоваться при исследовании как периодических, так и

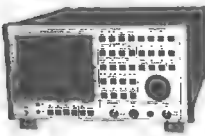
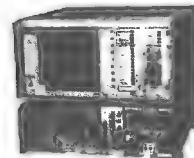
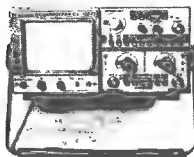
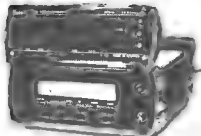


Рис. 5

однократных сигналов и удобен при исследовании шумовых характеристик, нестационарных, воздействии кратковременных помех и др.

При работе с сильно зашумленным сигналом удобен имеющийся во многих моделях режим "усреднения", при котором выводимый на экран сигнал сформирован как среднее значение из нескольких зарегистрированных в памяти осциллографа сигналов.

Большинство ЦО, кроме средств наблюдения процессов, предшествующих моменту запуска, и возможностей анализа зарегистрированных сигналов в течение неограниченного времени, располагает также различными режимами автоматического измерения параметров исследуемого сигнала. Например, для измерения таких параметров, как длительность импульса, время его нарастания или спада, размах сигнала, его частоту, период, величину напряжения или временной интервал между двумя метками и многие другие, достаточно нажать на панели осциллографа одной клавиши, после чего результат измерения индицируется в удобной форме на экране ЦО.

Еще одно преимущество некоторых ЦО заключается в том, что они располагают значительными вычислительными возможностями, например, выполняют быстрое преобразование Фурье (БПФ) и вычисляют корреляционные функции.

Исключительно удобный режим работы ЦО, предусматриваемый изготовителями во многих моделях, — автоматический поиск сигнала, иногда его называют автоустановкой или автоматическим выбором масштаба. В этом режиме прибор на только самостоятельно устанавливает масштабы по вертикальной и горизонтальной осям, но и выбирает момент запуска для стабильного отображения на экране ЗЛТ.

Спектр выпускаемых в настоящее время моделей весьма разнообразен — от простейших "рабочих лошадей" до мощных системных приборов и способен удовлетворить запросы широкой гаммы практических требований в области метрологии.

Технические характеристики некоторых типов осциллографов с цифровой памятью приведены в таблице. На рис. 5 показаны (сверху вниз) осциллографы C8-28, C1-137/2, C9-9, C9-28.

К сожалению, аналоговые осциллографы, работающие в диапазоне низких частот, все еще имеют очевидные стоимостные преимущества перед цифровыми. Однако даже сегодня, когда стоимость цифрового осциллографа с полосой исследуемых сигналов 100 МГц в полтора-два раза превосходит стоимость аналогового осциллографа с такой же полосой частот, во многих случаях представляется целесообразным заплатить более высокую цену за расширенные функциональные возможности цифрового прибора

ВТОРАЯ ПРОФЕССИЯ БЫТОВОГО ДОЗИМЕТРА

ИЗМЕРИТЕЛЬ ЕМКОСТИ КОНДЕНСАТОРОВ

И. НЕЧАЕВ, г. Курск

В "Радио" № 8 и № 12 за 1995 г. мы рассказали о приставках, превращающих бытовой дозиметр в частотомер и испытатель транзисторов. Описываемое ниже устройство представляет собой еще одну приставку. Во всех них дозиметр используется как счетчик импульсов, поэтому приставки можно применять с любым прибором, содержащим подходящий узел. Редакция предлагает читателям продолжить разработку простых приставок к счетчику или частотомеру, позволяющих расширить область применения этих приборов.

С помощью приставки можно проводить измерения емкости конденсаторов от единиц пикофарад до 9999 микрофарад. Принцип ее работы основан на формировании пачки импульсов с эталонной частотой. При этом длительность пачки зависит от емкости измеряемого конденсатора, а количество импульсов в ней подсчитывается счетчиком дозиметра.

Схема приставки приведена на рис. 1, в ее работе поясняется осциллограммами, приведенными на рис. 2. На элементах DD1.1, DD1.2 выполнен генератор прямоугольных импульсов с кварцевой стабилизацией частоты. Делитель частоты на микросхемах DD2—DD4 обеспечивает последовательное деление этой частоты на 10, 100 и 1000. Переключателем предела измерения SA2.1 производит коммутацию эталонных импульсов с частотой следования 1 МГц, 100 и 1 кГц на формирователь пачки эталонных импульсов.

На элементах DD1.3—DD1.6 собран компаратор, который вместе с элементами R4C1 обеспечивает задержку начала работы приставки после перевода ее в режим измерения, а также включает стабилизатор тока на транзисторе VT1 и резисторах R8—R10. На микросхеме DA1 выполнен измерительный компаратор напряжения, а на элементах VT2, VD1, R11 — источник опорного напряжения. Элемент DD5.2 формирует пачку эталонных импульсов, в DD5.3 — импульсы обнуления счетчика дозиметра.

Работает приставка следующим образом. Переключатель SA1 переводят в положение "Установка", и проверяемый конденсатор подключают к гнездам "С.". При этом, если он имел заряд, произойдет быстрая его разрядка через небольшое сопротивление резистора R6. Конденсатор C1 также разряжен (осциллограмма 1), на выходах элементов DD1.4—DD1.6 низкий логический уровень (осциллограмма 2), и ток через транзистор VT1 на протекает. На один из входов элемента DD5.2 (осциллограмма 4) поступают эта-

лонные импульсы, однако они через этот элемент не пройдут, так как этому препятствует высокий логический уровень на выходе элемента DD5.1 (осциллограмма 3). На выходе измерительного компаратора низкий логический уровень (осциллограмма 6). На выходе элемента DD5.3 (осциллограмма 5) будет также низкий логический уровень, так как на его входы через резисторы R13, R16 поступает напряжения питания.

После перевода приставки переключателем SA1 в режим "Измерение" (момент времени t_1) начинается зарядка конденсатора C1 (осциллограмма 1) и пока напряжение на нем не достигнет порога срабатывания, состояние узла приставки не изменяется. Как только это произойдет (момент времени t_2), а этот ин-

тервал времени (0,5...1 с) нужен для того, чтобы исключить влияние дрейфа контактов переключателя и других переходных процессов на точность измерений, на выходах элементов DD1.4—DD1.6 появится высокий логический уровень и начнется зарядка исследуемого конденсатора. Одновременно на выходе элемента DD5.1 появится низкий логический уровень, который разрешает прохождение эталонных импульсов на вход счетчика дозиметра.

Когда напряжение на измеряемом конденсаторе достигнет порогового (U_0), компаратор переключится и на его выходе появится высокий логический уровень, который запретит прохождение эталонных импульсов через элемент DD5.2. Зарядка конденсатора будет продолжаться, но состояние других узлов приставки при этом изменяться не будет.

Скорость зарядки конденсатора и интервал времени от t_1 до t_2 определяются его емкостью, а также величиной зарядного тока. Количество импульсов, поступающих на счетчик дозиметра, зависит от длительности этого интервала, а также частоты следования эталонных импульсов. Изменение частоты импульсов и величины зарядного тока, а значит, и пределов измерения осуществляется переключателем SA2. В положении "пФ" величина зарядного тока составляет 2,3 мкА, а частота поступающих на счетчик дозиметра импульсов — 1 МГц. Это соответствует диапазону измерения емкости от нескольких пФ до 9999 пФ. Во втором положении переключателя — "0,999 мкФ" — величина тока составляет 0,2...0,3 мА, а частота не изменяется, при этом измеряется емкость от 0,001 до 0,9999 мкФ. Децимальная точка на индикаторе, так как в используемом индикаторе занятый перед старшим разрядом нет. В

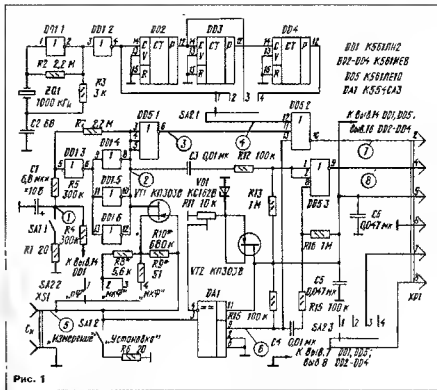


Рис. 1

РАЗРАБОТАНО
В ЛАБОРАТОРИИ ЖУРНАЛА
"РАДИО"

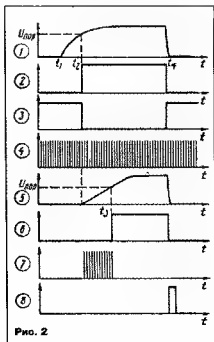


Рис. 2

третьем положении переключателя — «мкФ» — величина тока также 0,2...0,3 мА, но частота ниже — 100 кГц. При этом с помощью переключателя SA2.3 обеспечивается индикация десятичной точки после старшего разряда, обеспечивая измерение емкости в пределах 0,01...9,999 мкФ. В четвертом положении переключателя, обозначенном также «мкФ», зарядный ток составляет 2...3 мА, а частота импульсов — 1 кГц; при этом диапазон измеряемой емкости 10...9999 мкФ. Здесь десятичная точка на индицируется, и его надо на пульт со вторым пределом измерения.

После подсчета импульсов на табло дозиметра индицируется величина емкости измеряемого конденсатора. Эта информация сохраняется до тех пор, пока переключатель не будет переведен в положение «Установка» (t_4). Устройство при этом вернется в исходное состояние, но за счет отрицательного перепада напря-

жений на выходе измерительного компаратора и выходов элементов DD1.4—DD1.6 на выходе элемента DD5.3 формируется импульс обновления счетчика дозиметра, подготовив его к новому циклу измерения.

Благодаря применению быстродействующего компаратора с высоким входным сопротивлением K554A3 удалось добиться нижнего предела измерения емкости в несколько пикофард. Однако из-за наличия паразитной емкости элементов и монтажа, при отсутствии измеряемого конденсатора, показания индикатора могут составлять 3...6 пФ. Поэтому при измерении конденсаторов емкостью до 100 пФ полученные значения необходимо уменьшать на эту величину.

Реально оказалось возможным измерять емкость конденсаторов от 2...3 пФ, при этом погрешность, однако, может достигать величины 20...30%, но уже при емкости более 10 пФ она уменьшается до 10...15%, а при 100 пФ и более — около 3...5%.

При измерении некоторых типов полярных конденсаторов следует учитывать, что они могут быть расформованы, и для получения точных результатов измерений надо поддержать их под напряжением несколько минут, оставив подключенными к приставке в режиме «Измерение».

Необходимое время для измерения конденсаторов емкостью 9999 мкФ составляет примерно 10 с. Для конденсаторов меньшей емкости оно будет соответственно меньше.

Несомненным достоинством измерителя является то, что в дозиметре имеется звуковая и световая сигнализация переполнения счетчика, т.е. при его переполнении подается сигнал, что свидетельствует о необходимости переключения на больший предел измерения, а если это не помогает, то скорее всего конденсатор пробит или имеет значительную утечку и его надо проверить омметром. Это исключает возможные ошибки, связанные с переполнением счетчика и повышает удобство работы.

Приставка подключается к дозиметру с помощью короткого кабеля и вилки XP1. Питается она от батареи дозиметра и потребляет ток около 12 мА.

В приставке можно применить детали:

микросхемы DD1, DD5 заменяются на соответствующие серии K176, K564, в качестве делителей на 10 (DD2—DD4) можно использовать K176IE2, K176IE4. Транзисторы — КП303В (или с индексом Г) с начальным током около 2,5...4 мА. Полярные конденсаторы — серии K50, K52, K53, остальные — КМ, КЛС. Резистор R11 — СП3-19, СП5-2, остальные — МЛТ. Переключатель SA1 — тумблер МТ или кнопка КМ, SA2 — ПГ-2.

Наладившие начинают с проверки работоспособности генератора и делителя частоты и проводят калибровку на первом поддиапазоне («пФ»). Для этого необходим эталонный конденсатор емкостью около 1000 пФ, измеренный с точностью не хуже 1% или имеющий на той допуск. Его устанавливают в гнездо XS1, подключают приставку к дозиметру и, производя последовательные измерения, резистором R11 добиваются соответствующих показаний на табло дозиметра. Если получить требуемые показания не удается, то нужно подобрать резистор R10, при этом следует учитывать, что уменьшение его сопротивления приводит к уменьшению показаний.

Затем проводят калибровку на втором и третьем поддиапазонах с помощью эталонных конденсаторов емкостью примерно 1 и 100 мкФ путем подбора резисторов R8 и R9 соответственно. На третьем поддиапазоне следует обратить внимание на стабильность показаний. Если от измерения к измерению одного конденсатора показания сильно отличаются друг от друга, то причиной этого может быть «дребезг» компаратора. Это связано с тем, что в этом поддиапазоне напряжение на измеряемом конденсаторе нарастает медленно и компаратор, имеющий высокую чувствительность, может реагировать на небольшие помехи и наводки. Устранить этот недостаток можно введением положительной обратной связи, которая обеспечит небольшой гистерезис при переключении. Для этого между выводами 3 и 9 микросхемы DA1 устанавливают резистор 10 МОм, а между выводом 3 этой микросхемы и переключателем SA1 25 кОм. После этого настройку надо проверить, а при необходимости повторить.

Большинство деталей приставки размещаются на печатной плате из двустороннего стеклотекстолита, рисунок ее приведен на рис. 3, 4. Конструкция приставки и ее «стыковка» с дозиметром аналогична описанной в статье «Вторая профессия бытового дозиметра» в журнале «Радио» № 8 за 1995 г.

Когда статья уже была готова к печати, выяснилась возможность некоторого упрощения устройства. Полевые транзисторы VT1, VT2 и стабилизатор VD1 можно исключить, подключив контакты 1—4 секции переключателя SA2.2 через резисторы 4,7 МОм (контакт 1), 47 кОм (контакты 2, 3), 4,7 кОм (контакт 4) к точке соединения выходов элементов DD1.4—DD1.6, правый по схеме вывод резистора R11 — через резистор 15 кОм к той же точке. Если отношение входных резисторов выдерживать как 1000:10:1 с точностью $\pm 2\%$, их подбор при настройке не требуется. Цель C4, R15, R16 также можно исключить, объединив три входа элемента DD5.3 между собой. Для монтажа этого варианта схемы приставки можно использовать ту же печатную плату.

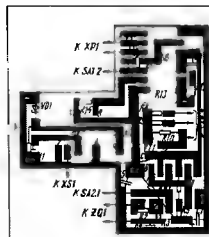


Рис. 3

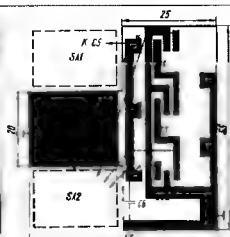


Рис. 4

Лучшая техника и безупречное обслуживание!

"ОКНО-ТВ"**ПРЕДЛАГАЕТ ТЕЛЕВИЗИОННОЕ
ОБОРУДОВАНИЕ**

- ВИДЕО S-VHS, Betacam, MII, DVC PRO фирм SONY, PANASONIC
- ТЕЛЕВИЗИОННЫЕ и РАДИОПЕРЕДАТЧИКИ (сертификат Минсвязи!)
- КОМПЬЮТЕРЫ и СРЕДСТВА MULTIMEDIA
- СИНХРОНИЗАТОРЫ, МОДУЛЯТОРЫ, ТРАНСКОДЕРЫ, СИСТЕМЫ ШИФРАЦИИ, ГОЛОВНЫЕ СТАНЦИИ, КАБЕЛЬНЫЕ СЕТИ, ВИДЕОМАРКЕРЫ, КОММУТАТОРЫ
- СИСТЕМЫ СПУТНИКОВОГО ТЕЛЕВИДЕНИЯ (USA, Голландия, Россия)
- ЗВУКОВОЕ, ОСВЕТИТЕЛЬНОЕ и ИЗМЕРИТЕЛЬНОЕ ОБОРУДОВАНИЕ

БЕСПЛАТНО:

- ✓ **гарантия 1 год со дня продажи!**
- ✓ **доставка в пределах Москвы**
- ✓ **инструкции на русском языке**
- ✓ **все необходимые консультации**
- ✓ **высылаем каталог и прайс-листы**

КРОМЕ ТОГО:

- ✓ **гибкая система льгот и скидок!**
- ✓ **доставка и установка на месте**
- ✓ **курс обучения для персонала**
- ✓ **послегарантийный сервис**
- ✓ **оплата услуг посредников**

Если Вам предложат аналогичную продукцию дешевле,
звоните нам - мы постараемся найти взаимовыгодное решение!

Специальная программа для посредников!

Фирма гарантирует выплаты комиссионных (1-5% от суммы заказа) за каждую сделку, заключенную с Вашей помощью. Для этого Вам необходимо заранее обсудить с нами условия сотрудничества по телефону или прислать свои предложения почтой. Обеспечивается полная конфиденциальность!

*Некоторые цены на поставляемое нами оборудование
(Внимание! На момент выхода журнала из печати цены могли измениться!)*

PANASONIC S-VHS

Видеокамеры		Микшерные пульта	
AG-455	1890\$	AVE5E	870\$
AG-DP800	5055\$	AVE7E	1100\$
WV-F15HS	2990\$	WJ-MX30	2290\$
WV-F350	11500\$	WJ-MX50	3790\$
		WJ-MX1000	42200\$
В/магнитофоны		Монтажные пульта	
AG-4700	1215\$	AG-A350	930\$
AG-5700	1330\$	AG-A570	640\$
AG-7600	3000\$	AG-A800	2780\$
AG-7700	3635\$		
AG-8600	4100\$	Мониторы	
AG-8700	4850\$	TC-1470Y	950\$
AG-7650	4185\$	BT-S1460Y	1070\$
AG-7750	5060\$	BT-H1450Y	1625\$

SONY BETACAM SP

Видеокамеры		Микшерные пульта	
DXC-637PK	12100\$	DFS-500P	17700\$
UVW-100PK	15900\$	BKDF-501	5350\$
		BKDF-502	2700\$
		FXE-100P	8900\$
В/магнитофоны		Монтажные пульта	
UVW-1200	5400\$	BVE-2000	19350\$
UVW-1400	7400\$	PVE-500	3750\$
UVW-1600	7900\$		
UVW-1800	10100\$	Мониторы	
BVV-5PS	17600\$	PVM-1450QM	1230\$
PVV-3P	10600\$	PVM-1454QM	1480\$
PVV-2600P	12700\$	PVM-2044QM	2470\$
PVV-2650P	18200\$		
PVV-2800P	18200\$		

Возможна поставка техники на условиях CIE по более низким ценам!

✉ 125040. Москва, Ленинградский пр. 18. под. 2. ☎ 212-05-91, 214-04-11

АСТРОНИКА

Мы продаем надежные теле- и радиопередатчики!

Мощностью 100, 200, 500, 1000 и 2000 Вт. ДМВ, МВ, ЧМ-стерео.

Практически необслуживаемые!

С эффективными антенно-фидерными системами:

- **турикетная одноэтажная**
Диаграмма направленности - круговая
- **турикетная четырехэтажная**
Диаграмма направленности - круговая
коэффициент усиления Ку - 4дБ
- **панельная**
Диаграмма направленности от секторной (90°) до круговой, коэффициент усиления Ку - 10дБ

Электронная защита:

- входа и выхода (по КСВ);
- по теплу;
- по току.

Автоматическое трехкратное включение при кратковременных бросках напряжения в сети 220В (380В)
Параметры передатчиков соответствуют ГОСТ 20532-83.

Гарантия 2 года

А также другую телевизионную технику:

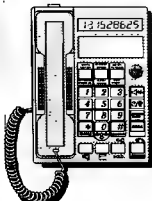
- транскодеры-микшеры PAL-SECAM, NTSC-SECAM;
- транскодеры SECAM-PAL;
- корректоры временных искажений;
- платы ввода-вывода (бабушка строка, страница, фирменный знак);
- графические станции S-VHS.

Новосибирск 8 (383-2) 35-35-78



многофункциональный телефон

ЗОЛОТОЙ ШАР



- ✓ автоматическая настройка на телефонную линию;
- ✓ определение номера, автодозвон, цифровой автоответчик, электронные регулировки и многое другое;
- ✓ интегрированная мини-АТС (1-7), преадресация, конференцсвязь и пр..

Удобное русифицированное управление и обучающий режим. Гарантия - 1 год.

Приглашаем региональных дилеров.

По вопросам оптовых поставок обращаться по тел.: **(095) 152-86-25**

Разработка и производство заказных устройств.

ПРЕДПРИЯТИЕ ПО МОНТАЖУ ВЫСОТНЫХ СООРУЖЕНИЙ

вахтовым методом в любом регионе
выполнит:

- монтаж башенных и мачтовых высотных сооружений связи и телевидения;
- поставку конструкций высотных сооружений;
- монтаж и настройку спутниковых систем телевидения и связи;
- поставку и монтаж антенно-фидерных систем;
- покраску высотных конструкций;
- геодезический контроль сооружений;
- проектирование объектов связи и телевидения.

ЛИЦЕНЗИЯ, ГАРАНТИЙНОЕ И ПОСЛЕ- ГАРАНТИЙНОЕ ОБСЛУЖИВАНИЕ

Телефон в Москве (095) 150-72-56

Телефон/факс (095) 168-59-11

ЦЕНТР АЦП

АОЗТ "Руднев-Шилев"

Виртуальные приборы на основе IBM PC/XT/AT/EISA или NOTEBOOK

- СПЕКТРОАНАЛИЗАТОРЫ
- ОСЦИЛЛОГРАФЫ (ЦЗО)
- ПРЕЦИЗИОННЫЕ ВОЛТОМЕТРЫ
- ЧАСТОТОМЕРЫ
- ФУНКЦИОНАЛЬНЫЕ ГЕНЕРАТОРЫ

Динамический диапазон, частотная полоса точность измерения, разрешение зависит от выбранного Вами устройства серии ГЛ-xxx
Мы производим устройства от 24 разрядов до 8 от 20 мс до 10 нс (до 100 МГц) времени преобразования

Для индустриальных применений, где требуется большое количество слотов РАСШИРИТЕЛЬ IBM PC/XT/AT

ПЕРЕНОСНЫЕ СИСТЕМЫ МНОГОКАНАЛЬНОГО МОНИТОРИНГА и многое другое.

См. журнал "Радио" №10 стр.7

ЗАДАТЬ ВОПРОСЫ ВЫ можете по тел. (7-095) 203-4967, факс (7-095) 203-8414

E-mail: ADC@IRE.RC.AC.RU

проезд метро Охотный ряд, выход в сторону гостиницы "Националь" ПРИХОДИТЕ к нам по адресу: 103907, Москва, ул. Моховая, д.11, ИРЭ РАН местный тел. 2-95, 2-47

УПРАВЛЕНИЕ МОДЕЛЯМИ ПО РАДИО

А. МОХОВ, г. Москва

Сегодня наш разговор пойдет о работе, монтаже и наладке двухканального четырехкомандного приемного устройства дискретного управления. Эта аппаратура — ваш второй, более сложный и наиболее интересный этап освоения техники телеуправления моделями. Что же касается передатчика, то он остается таким же, каким был описан в октябрьском номере журнала прошлого года. Только теперь будут задействованы все кнопки (или переключатели) его пульта управления.

ДВУХКАНАЛЬНОЕ ЧЕТЫРЕХКОМАНДНОЕ ПРИЕМНОЕ УСТРОЙСТВО

Как и одноканальное приемное устройство (см. "Радио", 1995, № 11, с. 26—28), четырехкомандное состоит из сверхрегенеративного приемника, дешифратора, усилителя постоянного тока и двух

электродвигателей, приводящих в движение гусеницы модели. Смонтированный вами приемник (блок А1 на рис. 16) сохраняется без каких-либо изменений. А вот дешифратор и усилитель постоянного тока, схемы которых вы видите на рис. 20, предстоит монтировать и наладить заново.

Источником питания дешифратора служит батарея, питающая приемник ("Кро-

на" или аккумуляторная 7Д-0,125), а усилителя постоянного тока и тяговых электродвигателей М1 и М2 — батарея 3336 (GB2). Включение источников питания осуществляется уже установленным на "Вездеходе" двухсекционный переключателем SA1.

Кроме знакомых вам транзисторов серии КТ315, в дешифраторе использованы логические элементы цифровых микросхем К561ЛА7 (DD1, DD2) и К561ЛЕ5 (DD3). Их применение улучшает помехозащищенность и надежность работы всего приемного устройства.

На вход дешифратора поступает сигнал, выделенный и усиленный приемником. Информацию для первого канала несет длительность пауз между импульсами, для второго — длительность самих импульсов, чем и достигается независимость работы каналов.

Элементы DD1.1 и DD2.1, обеспечивающие необходимую полярность импульсов, выполняют еще одну функцию — формируют крутые фронты импульсов при снижении напряжения источника питания, что очень важно для надежной работы устройств.

Все детали и цепи верхней половины схем дешифратора и усилителя постоянного тока будем считать первым каналом, а нижней половины — вторым. Сигналы в цепях первого канала дешифратора, обозначенных на схеме цифрами

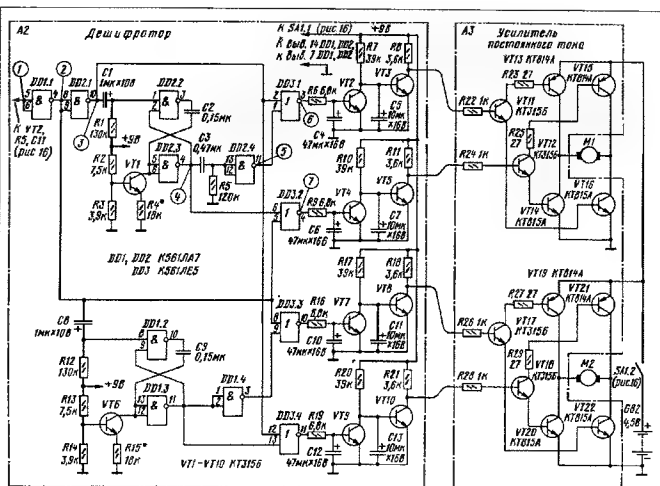


Рис. 20

1–7 в кружках, характеризуют временные диаграммы, приведенные на рис. 21

Рассмотрим для примера работу первого канала. Слэды импульсов входного сигнала в точках 1 и 3 дешифратора (начало паузы между импульсами высокого уровня) через цепочку С1R1 запускают одновибратор, собранный на элементах DD2.2, DD2.3 и транзисторе VT1. Одновибратор формирует в точке 4 образцовые импульсы низкого уровня $t_{обр}$ длительностью около 4 мс, определяемой номиналами конденсатора C2 и резистора R4.

Образцовые импульсы инвертируются элементом DD2.4 (диаграмма 5) и, будучи уже импульсами высокого уровня, поступают на вход 1 элемента DD3.1, где сравниваются по длительности с паузами между входными импульсами дешифратора (о назначении цепи С3R5 будет сказано далее). Аналогичное сравнение производит элемент DD3.2, но неинвертированного выходного импульса одновибратора и инвертированного входного сигнала дешифратора.

Результаты работы элементов DD3.1 и DD3.2 первого канала иллюстрируют временные диаграммы 6 и 7. Возможны три случая соотношения длительности паузы между входными импульсами дешифратора, являющейся командой первого канала $t_{к1}$ и длительности образцовых импульсов дешифратора $t_{обр1}$:

$$t_{к1} > t_{обр1}, t_{к1} < t_{обр1} \text{ и } t_{к1} = t_{обр1}.$$

В первом случае разностные импульсы (Δt) высокого уровня появляются на выходе элемента DD3.1. Во втором — на выходе элемента DD3.2. В третьем на выходах обоих сравнивающих элементов будет нулевой уровень, такой уровень будет и в том случае, если командный сигнал полностью отсутствует.

Цепь С3R5, установленная только в первом канале, служит для исключения ложного срабатывания дешифратора при выключении шифратора передатчика или исчезновении командного сигнала. В этих случаях на выходе одновибратора первого канала дешифратора возникает напряжение высокого уровня, которое при отсутствии цепи С3R5 происходило бы через элемент DD2.4 и на выход элемента DD3.1 и приводило к срабатыванию дешифратора. В результате вал электродвигателя M1 начал бы вращаться без остановки в одну сторону, а модель — выполнять ложную команду.

За элементами сравнения следуют преобразователи сигналов на транзисторах VT2–VT5 с накопительными конденсаторами C4–C7 в базовых цепях. Их назначение аналогично подобным преобразователям одноканальной приемной аппаратуры. Скажем лишь, что при появлении разностного импульса высокого уровня на выходе элемента DD3.1 сигнал высокого уровня возникнет на коллекторе транзистора VT3 — первом выходе дешифратора, а при разностном импульсе на выходе элемента DD3.2 — на коллекторе транзистора VT5, т. е. вторым выходе дешифратора.

Принципиально так работает и второй канал дешифратора.

С четырех выходов дешифратора командные сигналы поступают на входы двух усилителей постоянного тока, объединенных в единый блок, которые управляют работой электродвигателей M1

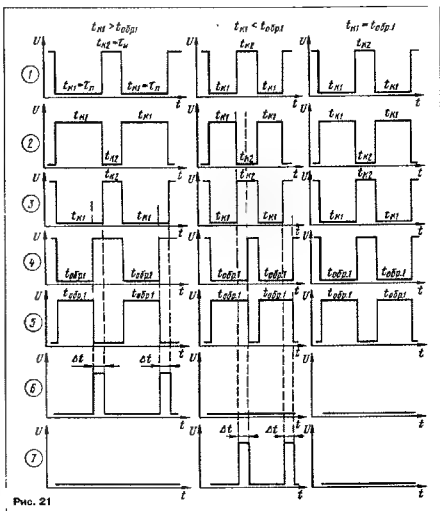


Рис. 21

и M2 модели. Схемы этих усилителей схожи с усилителем постоянного тока одноканальной аппаратуры. Их отличие заключается главным образом в том, что входы усилителей двухканальной системы управления подключены к разным выходам дешифратора, никак не связанным между собой, и управляют они только сигналами высокого уровня, а не смешанными, как в одноканальном приемном устройстве.

Коротко о работе усилителя, управляемого первым каналом дешифратора. При сигнале высокого уровня на базе транзистора VT11 он открывается сам и тем самым открывает транзисторы VT13 и VT16. В это время вал двигателя M1 начинает вращение, например влево. Когда же сигнал высокого уровня появится на втором выходе этого усилителя, то откроются транзисторы VT12, VT14 и VT15, в результате чего направление вращения вала двигателя M1 изменится на противоположное.

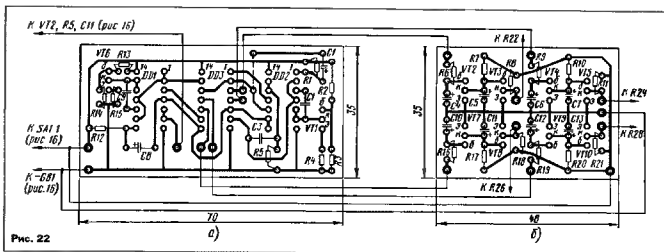
При отсутствии командного сигнала например, когда передатчик выключен или его сигнал пропал, а также в том случае, если командные кнопки (ручки) пульта управления находятся в нейтральном положении, на базис транзисторов VT11 и VT12 присутствуют сигналы низкого уровня, транзисторы VT13, VT16 и VT14, VT15 тоже будут закрыты и вал двигателя M1 не станет вращаться.

Аналогичные процессы происходят в цепях транзисторов VT17, VT19, VT22 и VT18, VT20, VT21 второго усилителя постоянного тока и его электродвигателя M2 при поступлении командных сигналов второго канала управления.

Коротко о деталях, монтаже и размещении плат блоков устройств в "Вездеходе". Монтажные платы описанных здесь блоков приемного устройства показаны на рис. 22 и 23. Дешифратор смонтирован на двух печатных платах, все микросхемы, транзисторы VT1, VT6 и относящиеся к ним резисторы и конденсаторы — на плате размерами 70x35 мм, а транзисторы и конденсаторы преобразователя — на плате размерами 48x35 мм. Первую из них размещают в корпусе игрушки вдоль правого борта (смотрите со стороны электродвигателей), вторую — по левому борту.

Блок усилителей постоянного тока также выполнен на двух платах размерами 30x17 мм каждая. Обозначенная на рис. 23 нумерация деталей без скобок относится к первому каналу, а в скобках — ко второму каналу управления. Платы размещают рядом с соответствующими им электродвигателями.

Микросхемы K561LA7 и K561LE5 можно заменить на аналогичные серии K176. Транзисторы серии KT315 могут быть с любыми буквенными индексами; их коэффициент передачи тока базы должен



быть не менее 60. Транзисторы КТ814А и КТ815А заменимы соответствующими им по структуре транзисторами серий КТ816 и КТ817 с коэффициентом передачи тока базы не менее 40.

Все резисторы — МЛТ-0,125 или МЛТ-0,25; больше часть из них установлена на платах вертикально. Оксидные конденсаторы — К50 35, К53-1 или К53-4, остальные — КД, КТ или КМ-5.

Настройку дешифратора рассмотрим на примере первого канала. Для этого, как и в прошлый раз, понадобятся осциллограф и авометр.

Прежде всего проверьте правильность и надежность монтажа К контрольной точке 1 подключите вход У осциллографа. Включите питание передатчика и приемника, но командные кнопки на пульте передатчика пока не нажимайте. Убедитесь в том, что при этом на выходе дешифратора с выхода приемника поступают командные сигналы.

Затем, подключая вход У осциллографа к контрольным точкам 6 и 7, определите, на какой из них есть сигнал раскомпенсации. Подбором резистора R4 добейтесь, чтобы при $t_{\text{с}} = t_{\text{с0}}$ (см. рис. 21) на выходах элементов DD3.1 и DD3.2 сигналов раскомпенсации не было. Затем, нажимая командные кнопки «Вперед—Назад» первого канала, проверьте, появляются ли в этих точках 6 и 7 дешифратора сигналы раскомпенсации, когда $t_{\text{с}} > t_{\text{с0}}$ и когда $t_{\text{с}} < t_{\text{с0}}$. Если все нормально, то дополнительный подбор резистора R4 не потребуется.

Далее, подключая осциллограф к коллекторам транзисторов VT3, VT5 и нажимая командные кнопки передатчика, убедитесь в том, что на этих выходах дешифратора появляются сигналы высокого уровня.

Если дешифратор не работает или подбором резистора R4 не удается добиться компенсации сигнала на выходах элементов DD3.1, DD3.2, значит есть ошибка в монтаже или неисправная деталь. Обнаружить неисправность можно подключением входа У осциллографа последовательно к контрольным точкам 2, 3, 4, 5 и сравнением сигналов на его экране с временными диаграммами на рис. 21.

Настройку второго канала дешифратора проводят по аналогичной методике, нажимая при проверке вторую пару командных кнопок передатчика.

Работу канальных усилителей постоянного тока проверяйте отдельно при подключенных электролитических и батарей питания (GB2). Соединяя поочередно левые (по схеме) выводы резисторов R22 и R24 с плюсовым проводником батареи питания, убедитесь, что вал двигателя M1 вращается в разных направлениях, т. е. двигатель реверсируется. Когда же эти выводы резисторов «повисают в воздухе», вал двигателя M1 не должен вращаться.

Точно так проверяйте работу усилителя второго канала управления.

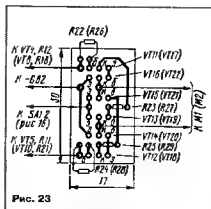
Окончательную проверку, а если надо, то и дополнительную подстройку устройства, проводите после соединения гиб-

кими монтажными проводниками плат блока дешифратора и усилителя постоянного тока с выходом приемника, с электродвигателями. Нажимая командные кнопки пульта управления, проверьте, четко ли модель выполнит подаваемые команды.

Может, однако, случиться, что появятся отдельные сбои в выполнении постоянных командных сигналов. Чаще всего это происходит из-за слишком большого коэффициента усиления каскада приемника, собранного не транзисторе VT2 (см. рис. 16). В таком случае придется несколько снизить усиление этого каскада подбором резисторов R4 и R5. Сопровителен резистора R4 может быть 47 или 51 кОм, а резистора R5 — 3 кОм.

Универсальность двухканального дешифратора позволяет использовать его для дистанционного управления многими другими моделями и игрушками, и не только гусеничного типа. Эффектно выглядит, например, «Лунник» (рис. 24) Рижского завода игрушек, оснащенный описанной аппаратурой телеуправления. Выбор объекта радиоуправления во многом зависит от вашей фантазии и теоретической смекалки.

Какими бортовыми устройствами можно дополнить модель двухканальной системы управления? Как сделать пропорциональный канал управления и превратить нашу дискретную систему в дискретно-пропорциональную дистанционного управления? Ответить на эти и некоторые другие интересующие вас вопросы постараемся в следующей публикации.

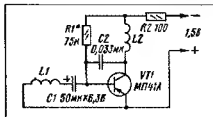


ОТ РЕДАКЦИИ. Стабильность и надежность работы описываемого канала радиоуправления можно значительно повысить, если установить керамический блокировочный конденсатор емкостью не менее 0,047 мкФ между цепями общего провода и питания на плате рис. 22. Заметно возрастет помехоустойчивость устройства, если соединить конденсаторы R4 и R5 приемника уменьшив, как это сказано в конце статьи, между выходом приемника и входом дешифратора включить резистор сопротивлением 100 кОм, а между выходом дешифратора и выходом инвертора DD2 1 — конденсатор емкостью 0,01...0,015 мкФ. Следует также отметить, что если дешифратора, собранные на элементах DD2 2, DD2 3, DD1 2, DD1 3, работают как одновибраторы лишь в тех случаях, когда запускающие их импульсы коротче формируемых ими образцовых (см. «Радио», 1995, № 9, с. 54, рис. 10, б).

ЧИТАТЕЛИ ПРЕДЛАГАЮТ

ЕЩЕ РАЗ
О РЕМОНТЕ "СЛАВЫ"

О ремонте этих электронно-механических часов на страницах "Радио" рассказывалось неоднократно. Вспомните хотя бы заметку Н.Заякина "Ремонт электронных часов" в "Радио", 1979, № 8, с. 55 или "Ремонт "Славы" с помощью осциллографа" В.Маслаева в "Радио", 1988, № 12, с. 51. Однако до сих пор вопрос остается актуальным, поэтому хочу поделиться опытом "доводки" самого простого однотранзисторного генератора часов (см. схему).



Часто случается, что создаваемого механизма часов усиления не хватает для нормального перемагничивания стрелок даже после тщательной чистки и смазки. Этот дефект в большинстве случаев удается устранить подбором резистора R1 с меньшим номиналом (в конкретном случае — 75 кОм вместо 130 кОм).

Правда, случилось, что с частично разряженным элементом питания часы шли нормально, а при установке свежего элемента генератор возбуждался на звуковой частоте с интервалом в доли секунды, что затрудняло запуск часов. Выход из этой ситуации удалось найти включением в цепь питания генератора резистора R2 сопротивлением 100...200 Ом.

В. УТИН

г. Щелково Московской обл.

КАССЕТНИЦА...
ИЗ ПЕНОПЛАСТА

Для хранения малогабаритных радиодеталей (резисторов, конденсаторов, транзисторов) многие радиолюбители используют подобные коробки, пластмассовые и металлические шкатулки, стеклянные банки и т. д. Поиск нужного номинала в них порою занимает немало времени.

Мне показалось, что более удобный вариант (см. фото) — из полосок пенопласта (см. фото) — материала, применяемого, наряду с обоями, для отделки помещений. Радиодетали втыкают выводами в срез пенопласта по всей длине полоски. На бумажной основе пенопласта пишут номинал, тип или наносят другую нужную информацию.

Свернутая в рулон и уложенная в полиэтиленовый пакет, такая "кассетница" занимает немного места.

Няглядность, удобство применения и минимальные затраты времени на поиск нужного радиоэлемента при пользовании



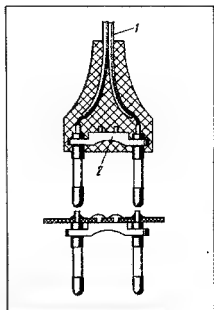
кассетницей по достоинству оценят радиолюбители, так и...продавцы деталей, занимающиеся мелкооптовой торговлей на радиорынках.

Н. МАШОНКИН

г. Геленджик

ИЗ НЕГОДНОЙ ВИЛКИ

У литых сетевых вилок нередко образуется провод вблизи их корпуса, после чего приходится заменять вилку разборной пластмассовой. Однако пришедшую в негодность вилку выбрасывать рано — ее можно использовать по прямому назначению в различных радиолюбительских конструкциях, например, в малогабаритном блоке питания.



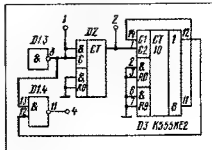
Литую вилку следует разрезать по боковой поверхности, чтобы добраться до основания 2 (см. рисунок) и отрезать кусочками концы провода 1. После этого основание со штырями крепят к корпусу конструкции, оплавляя пластмассовые выступы, а штыри вилки спаивают — к ним в дальнейшем припаивают сетевые проводники устройства.

И. ДОЛЫНСКИЙ

г. Таганрог Ростовской обл.

УСОВЕРШЕНСТВОВАНИЕ
КВАРЦЕВОГО
КАЛИБРАТОРА

Кварцевый калибратор, описанный в статье Б.Григорьева "Радиоконструктор "Калибратор кварцевый" ("Радио", 1982, № 12, с. 55, 56), для калибровки радиоприемников АМ сигналов неудобен, поскольку его выходной сигнал немодулирован, а сигнала с частотой 1000 Гц и скважностью 2, пригодного для модуляции, в нем нет. Поэтому было решено доработать калибратор — вместо микросхемы К1551Е1 (D3) установить К5551Е2 (см. рисунок).



Данную микросхему обычно включают сначала делителем частоты на 2 (вход С1), а затем на 5 (вход С2). В моем варианте она включена наоборот, что позволило на выходе 1 (вывод 12) получить сигналы "меландр" частотой 1000 Гц.

Кроме того, в калибраторе использован ранее не задействованный четвертый элемент микросхемы D1 (D1.4 на схеме). С его выхода (вывод 11) снимался модулированный сигнал частотой 100 кГц, который и использовался для калибровки шкалы приемника.

Если не окажется микросхемы К5551Е2, вместо нее можно установить К1551Е2. Питание на эти микросхемы подают через выводы 5 (плюс) и 10 (минус).

Ш. МИРОНОВ

г. Кемерово

ГРОМКОГОВОРЯЩИЙ
БЕСШУРОВОЙ ТЕЛЕФОН

Осуществить эту идею очень просто. Достаточно воспользоваться любым радиовещательным приемником с УКВ диапазоном и поднести его антенну, например, в виде отрезка провода, возможно ближе к антенне телефона.

При последующем разговоре по телефону нужно медленно переставлять приемник и найти такую гармонику, чтобы разговор доходил из его динамической головки.

Б. ШАУЛА

г. Сургут Тюменской обл.

СИМИСТОРНЫЕ РЕГУЛЯТОРЫ МОЩНОСТИ

С. БИРЮКОВ, г. Москва

Использование симисторов в регуляторах мощности и различных автоматических коммутаторах затруднено из-за необходимости обеспечения сравнительно большого тока управляющего электрода — 150 мА для симисторов серии КУ208. Управление симистором постоянным током требует большой мощности, а при импульсном управлении необходим формирователь, обеспечивающий короткие импульсы в момент прохождения сетевого напряжения через "нуль" и имеющий общий вывод с одним из сетевых проводов.

Автор публикуемой здесь статьи рассматривает новые варианты управления симистором в простых регуляторах мощности и электронных выключателях.

Основной электронной устройством, схема которого приведена на рис. 1, послужил регулятор, описанный И. Нецавым в его статье "Регулятор мощности, на создающий помех" (см. "Радио", 1991, № 2, с. 67, 68). Отличие предлагаемого варианта регулятора заключается в основном в использовании в нем симистора вместо триода, что позволило исключить выпрямительный мост, составленный из мощных диодов. В результате число элементов, устанавливаемых на теплоотвод

горно отличается от источника, использованного И. Нецавым, меньшей потребляемой от сети и соответственно меньшей рассеиваемой мощностью при вдвое большем выходном токе.

Оригинальным является формирование импульсов частотой 100 Гц, выполненный на транзисторах VT1, VT2 и резисторах R2—R4. При положительном полупериоде сетевого напряжения на верхнем (по схеме) сетевом проводе транзистор VT1, включенный по схеме с

общим эмиттером, открыт и насыщен — напряжение на его коллекторе близко к эмиттерному (транзистор VT2 закрыт). При отрицательном полупериоде закрыт транзистор VT1, но открыт и насыщен транзистор VT2, включенный по схеме с общей базой, и напряжение на его коллекторе имеет тот же знак и амплитуду.

Лишь в моменты, когда сетевое напряжение по абсолютному значению меньше 40...50 В, оба транзистора закрыты и напряжение на их коллекторах близко к напряжению на выводе 7 микросхемы DD1. При этом разрешена работа генератора импульсов на элементах DD1.3, DD1.4. Импульсы частотой около 5 кГц с его выхода дифференцируются цепью C6R8, усиливаются транзистором VT3 и включают симистор VS1.

Однако работой этого генератора управляет и генератор, собранный на элементах DD1.1 и DD1.2. Частота формируемых им импульсов — около 2 Гц, а скважность можно регулировать переменным резистором R5 от 1,01 до 100.

При напряжении низкого уровня на выходе элемента DD1.2 разрешена работа генератора на элементах DD1.3 и DD1.4, а при высоком запрещена. В результате при переключении движка резистора R5 из одного крайнего положения в другое изменяется соотношение числа полупериодов напряжения сети, подаваемых и не подаваемых на нагрузку, подключенную к разъему X1. А так как одному периоду работы управляющего генератора соответствует около 50 полупериодов сетевого напряжения, дискретность регулирования равна примерно 2 %.

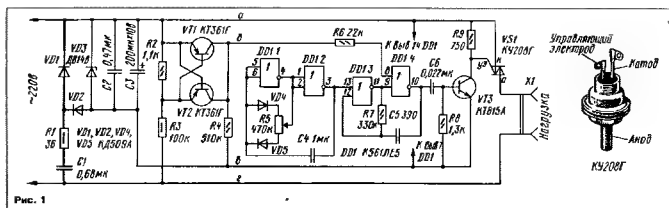


Рис. 1

при выходной мощности 1 кВт, сократилось с пяти до одного.

Регулирование мощности в нагрузке, как и в описанном ранее устройстве, осуществляется изменением числа полупериодов сетевого напряжения, подаваемого на нее в течение некоторого интервала времени, поэтому предлагаемый регулятор можно использовать для работы лишь с такими нагрузками, как, например, электроплитка, камин, галогенки и другие подобные электроннагревательные приборы.

Включение симистора происходит вблизи момента перехода сетевого напряжения через "нуль", что снижает уровень помех по сравнению с регуляторами, в которых использован фазоимпульсный метод регулирования.

Диоды VD1—VD2, стабилитрон VD3, конденсаторы C1—C3 и резистор R1 образуют источник питания устройства напряжением около 10 В (при максимальном выходном токе 18...20 мА). Он вы-

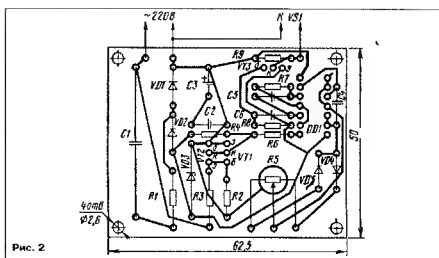


Рис. 2

Все элементы этого варианта регулятора, кроме симистора VS1, смонтированы на печатной плате (рис. 2). Плата рассчитана на установку резисторов МЛТ, конденсаторов К73-16 (C1), К50-6 (C3), КМ-6 (остальные), переменный резистор (R5) СП3-4М или СП3-46М. Диоды VD1, VD2, VD4 и VD5 — маломощные кремниевые, стабилизатор VD3 — на напряжение стабилизации 10...12 В. Микросхема К561ЛЕ5 ваменна на К176ЛЕ5 или КР1561ЛЕ5. Транзисторы VT1 и VT2 могут быть любыми кремниевыми маломощными структуры р-п-р, транзистор VT3 — средней или большой мощности структуры п-р-п с допустимым коллекторным током 150 мА.

Конденсатор К73-16 (C1) можно заменить на любой металлопленочный емкостью 0,33...0,68 мкФ на номинальное напряжение не менее 250 В или на бумажный или металлобумажный такой же емкости на номинальное напряжение не менее 400 В. Корпус резистора R5 должен быть соединен с плюсовым проводником цепи питания микросхемы, что необходимо для его экранирования. Симистор КУ208В (или КУ208В) установлен на штыревом теплоотводе размерами 80х60х20 мм.

Предварительно симистор целесообразно проверить на значение тока спрямления, включив его по схеме, приведенной на рис. 3. Напряжение питания анодной цепи симистора должно соответствовать номинальному для лампы накаливания EL1, рассчитанной на рабочий ток не менее 150 мА. Плавное увеличение тока управляющего электрода симистора (резистором R1), измерять его значение непосредственно перед включением лампы. Паспортное значение тока спрямления при комнатной температуре равно 150 мА. Для регулятора следует подобрать симистор с током спрямления не более 70 мА (из проверенных автором 15 симисторов лишь один не соответствовал этому требованию).

Налаживают регулятор следующим образом. Стабилизатор VD3 временно отключают, а внешний источник постоянного тока напряжением 9...10 В подключают к конденсатору C2. Установив движок резистора R5 в среднее положение, с помощью осциллографа или головных телефонов (что очень удобно) контролируют на резисторе R9 наличие пачек импульсов частотой около 5 кГц, и периодом повторения пачек близким к 0,5 с. При перемещении движка переменного резистора длительность пачек должна изменяться практически от нуля до непрерывной последовательности импульсов.

Затем восстанавливают включение стабилизатора (при этом установка симистора на теплоотвод не обязательна), к разъему X1 подключают настольную лампу и на регулятор подают напряжение. При перемещении движка резистора R5 лампа должна вспыхивать с частотой около 2 Гц, а длительность ее вспышек — изменяться от нуля до непрерывного свечения.

Устройство можно упростить, если в нем использовать микросхему К561ЛЛ1 — четыре триггера Шмитта, каждый из которых выполняет функцию элемента 2И-НЕ. Схема соответствующей части такого варианта устройства показана на рис. 4, а, а фрагмент рисунка монтажной платы, в остальном аналогичной предыдущей — на рис. 4, б. Источник питания и формирователь импульсов на транзисторах VT1, VT2 остаются без изменений.

Последовательность прямоугольных импульсов низкого уровня, соответствующих моментам нулевого напряжения сети, поступает на нижний по схеме вход элемента DD1.4 через дифференцирующую цепь C5R6. Входные диоды элемента подавляют отрицательные продифференцированные импульсы, а положительные проходят на базу транзистора VT3 — усилителя тока — и далее на управляющий

КОРОТКО О СИМИСТОРЕ

Симистор, как и уже привычный нам триод, имеет три электрода. Его основное отличие от триода — возможность коммутации переменного тока. Ток через симистор может протекать в любом направлении — как от анода к катоду (как в триоде), так и в противоположную сторону. То, что ток может протекать от катода к аноду, делает названия этих электродов, строго говоря, неверными. В литературе научного характера применяют термины "Анод 1" и "Анод 2", в популярной же технической литературе широко используют более удобные названия — "Катод" и "Анод", считая катодом прибора тот из его анодов, относительно которого подают управляющий сигнал (как в триоде или радиолампе).

Симисторы серии КУ208 при положительном напряжении на аноде могут включаться импульсами любой полярности, подаваемыми на управляющий электрод относительно катода, а при отрицательном напряжении на аноде — импульсами только отрицательной полярности.

Также применяются и многие другие симисторы, выпускаемые отечественной промышленностью (см. "Справочный листок" в "Радио", 1989, № 7, с. 91, 92).

электрод симистора VS1. Длительность управляющих импульсов — около 12 мкс. Они открывают симистор VS1 в начале полупериода.

Прохождение импульсов через элемент DD1.4 разрешает выходной сигнал генератора с регулируемой скважностью, собранный на элементе DD1.1.

Подобный формирователь управляющих импульсов можно использовать в различных автоматических устройствах, например, в термостабилизаторе (рис. 5, а) или автомате включения лестничного освещения (рис. 5, б). В термостабилизаторе

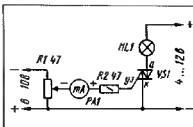


Рис. 3

Рис. 4

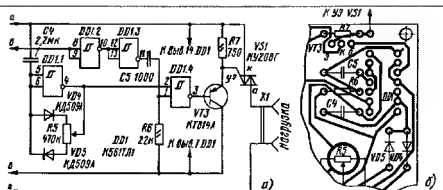


Рис. 6

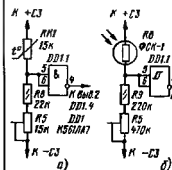
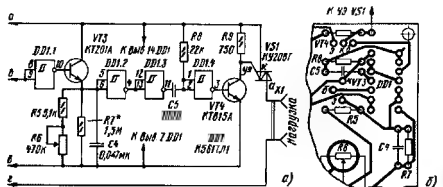


Рис. 5



тора использование триггера Шмидта может привести к слишком большой температурной разнице включения и выключения нагревателя, поэтому здесь уместнее микросхема К561ЛА7 или К176ЛА7. В автомате включения освещения гистерезис необходим, поэтому в нам следует использовать микросхему К561ЛЛ1.

На рис. 6 приведены схема варианта регулятора с фазоимпульсным управлением симистором и чертеж соответствующего ему участка монтажной платы. Такой регулятор хоть и создает помехи радиоприему, зато позволяет регулировать напряжение питания таких нагрузок, как, например, лампа накаливания, электро-двигатель переменного тока.

При прохождении сетевого напряжения через "нуль" импульс отрицательной полярности с выхода формирователя на транзисторах VT1 и VT2 (не схемат. рис. 6, а не показаны) инвертируется элементом DD1.1 и через эмиттерный повторитель на транзисторе VT3 зарядает конденсатор C4 практически до напряжения источника питания. Разряжается конденсатор через резисторы R5—R7. При снижении напряжения на нем до порогового элемента DD1.2 и DD1.3 переключаются, спад импульса с выхода элемента DD1.3 дифференцируется цепью C5R8 и в виде импульса длительностью около 12 мкс через инвертор DD1.4 и транзистор VT4 включает симистор VS1.

Переменным резистором R6 можно регулировать длительность разряда конденсатора C4, изменять момент включения симистора и эффективное напряжение на нагрузке. Резистор R5 исключает перегрузку транзистора VT3. Подбором резистора R7 можно добиться, чтобы максимальное сопротивление резистора R6, работающего как реостат, соответствовало нулевое напряжение на нагрузке.

Конденсатор C4 должен быть бумажным или пленочным. Транзистор VT3 должен допускать обратное напряжение на эмиттерном переходе не менее напряжения стабилизации стабилитрона VD3. Пригодны транзисторы серии КТ201 (с буквенными индексами А, Б, АМ, БМ, а при использовании в источнике питания стабилитрона VD3 на напряжение стабилизации 10 В — с индексами Б—Д, ВМ—ДМ). Можно также использовать любой кремниевый маломощный транзистор структуры p—n—p, включая последовательно с его эмиттерным переходом кремниевый маломощный диод.

Вместо переменного резистора R6 можно установить, например, биполярный или полевой транзистор, фотодиод или фоторезистор оптопары. В таком случае регулятор может быть использован в автоматических устройствах типа выключателя с плавным включением лампы накаливания или мощного коллекторного электродвигателя.

Во всех описанных здесь вариантах устройств отсутствуют резонаторы, ограничивающие выходной ток элемента, управляющего выходным транзистором, и ток управляющего электрода симистора. Из-за малой длительности импульсов этого тока такое включение совершенно безопасно для радиоэлементов.

При наладке любого варианта регулятора и его практическом использовании следует помнить, что все его элементы, включая даже переменный резистор, находящийся под напряжением сети. Поэтому регулятор должен быть помещен в корпус из изоляционного материала, а переменный резистор — снабжен ручкой из изоляционного материала с закрытым стопорным винтом.

ТРЕХТОНАЛЬНЫЕ МУЗЫКАЛЬНЫЕ СИГНАЛИЗАТОРЫ

В. БАННИКОВ, г. Москва

Просматривая журнал "Радио" и популярную литературу по электронике, можно заметить, что в последние годы у радиолюбителей намелился устойчивый интерес ко всякого рода музыкальным звуковым сигнализаторам, будь то дверной звонок, звуковой брелок или телефонное вызывное устройство. Многим хотелось бы, чтоб все звуковые сигналы были мелодичными, в еще лучше — музыкальными, даже если этот звуковой сигнал принадлежит охранному устройству. О том, как можно строить трехтональные музыкальные сигнализаторы, как получить звучание различного характера, рассказывает эта статья.

Трехтональный звуковой сигнал более различим на фоне окружающего шума, чем двутональный. Если соотношения тонов выбраны правильно, то такой сигнал будет приятным на слух. Ведь даже сигнал тревоги может быть мелодичным, на говоря уж о квартирном звонке или сигнализаторе электронного будильника либо таймера.

Чтобы избежать трудностей, связанных с музыкальной настройкой сигнализатора, а также нестабильностью тонов при изменении температуры и питающего напряжения, целесообразно строить его на основе единого задающего генератора и триггерного делителя частоты. Выбрав соответствующие коэффициенты деления частоты генератора, можно сформировать желаемые ноты, как это реализовано, например, в [1]. Коэффициенты деления при этом должны представлять собой по меньшей мере трехзначные числа [2]. Такие делители, очевидно, сложны и дороги.

Однако задача станет много проще, если ограничиться воспроизведением лишь мажорного, а тем более минорного трезвучия [3]. Так, для последовательного перебора (арпеджио) звуков минорного аккорда нужно, чтобы значения их частоты были в отношении 6:5:4. Несколько сложнее сформировать ноты мажорного аккорда. Здесь требуется пропорция 15:12:10 либо более близкое к равномерию темперированному строю отношение 24:18:16. Ясно, что реализовать на практике такие небольшие коэффициенты деления частоты значительно легче, чем трезвучные. Более того, полученные подобным образом математически точные созвучия более мелодичны на слух, чем ноты темперированного строя с его довольно искусственным разбеганием интервалов.

Сначала заметим, что если вместо пропорции 6:5:4 брать отношения 8:6:5 или 5:4:3, то вместо звуков минорного аккорда (воспроизводимого, например, в виде арпеджио) мы получим его так называемое обращение. Их музыкальная ценность сравнима с самим трезвучием. То же самое относится и к мажорному трезвучию — вместо пропорции 15:12:10 можно брать 20:15:12 или 24:20:15, либо

вместо 24:19:16 32:24:19 или 19:16:12

Составляющие трезвучие ноты можно, вообще говоря, воспроизводить в любом порядке. Однако для музыкального сигнализатора представляют интерес два частных случая — восходящее и нисходящее арпеджио. В первом случае звуки перебирают в порядке возрастания их высоты, начиная с самого низкого, во втором — наоборот.

Один из вариантов схемы трехтонального сигнализатора показан на рис. 1, а Задающий генератор собран на элементе DD1.1 — DD1.3 и работает на частоте 14 кГц. Эту частоту делит счетчик импульсов, выполненный на триггерах DD2.1, DD2.2, DD3.1, DD3.2, DD4.1.

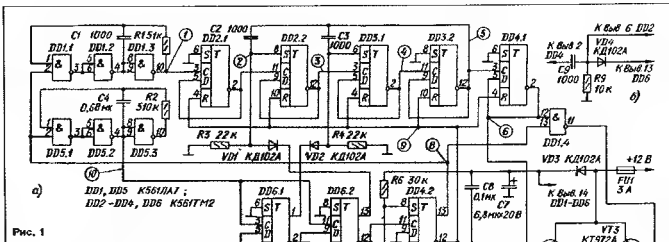
Управляющий сменой коэффициента деления частоты манипулятор составлен из триггеров DD6.1, DD6.2 и генератора низкой частоты (2 Гц) на элементах DD5.1 — DD5.3. В манипуляторе эту частоту делит на 3 счетчик на триггерах DD6.1, DD6.2. Диоды VD1, VD2 дешифруют состояние этого счетчика.

Узел пуска сигнализатора собран на элементах R6, C6, R7, SB1, в нем работает триггер DD4.2 и элемент DD5.4, а также интгрирующие цепи C5R5 и R8C8. Дифференцирующая цепь R8C8 служит для установки в нулевое состояние триггера DD4.2 после включения питания.

Воспроизводит звуки динамическая головка BA1 — эмиттерная нагрузка двутактного мостового усилителя ЗЧ, собранного на транзисторах VT1—VT4. Элемент DD1.4 играет роль управляемого фазоинвертора сигнала, подающего на усилитель. Маломощная часть устройства разделена по питанию от усилителя ЗЧ цепью VD3C7.

Задающий генератор и делитель частоты работают тогда, когда пусковой триггер DD4.2 находится в единичном состоянии, на нижнем по схеме входе элемента DD1.1 будет высокий уровень, а на входе R триггера делителя частоты — низкий. Период повторения Т импульсов задающего генератора равен примерно 70 мкс.

Если на катоде диодов VD1 и VD2 низкий уровень, триггеры делителя частоты работают в обычном счетном режиме.



Поэтому период повторения импульсов на выходе триггера DD4.1 равен 32T (рис. 2,а), что соответствует частоте 438 Гц — примерно нота ля первой октавы (А₁). Если же на катоде диода VD1 действует низкий уровень, а на катоде VD2 — высокий, то цепь R4C3 будет периодически устанавливать (по входу S) триггер DD3.1 в единичное состояние. При этом период повторения импульсов на выходе триггера DD4.1 уже будет равен 24T (рис. 2,б), что дает частоту 583 Гц, или ре второй октавы (D₂).

Когда же оба диода VD1 и VD2 закрыты (на их катоде высокий уровень), оба триггера DD2.2 и DD3.1 будут периодически устанавливаться в единичное состояние. Период повторения выходных импульсов триггера DD4.1 уменьшится до 20T (рис. 2,в), а частота становится равной 700 Гц, или фа второй октавы (F₂). Таким образом, коммутируя диоды VD1 и VD2, можно получить три значения частоты, которые находятся в отношении 8/6/5 (32:24:20), что соответствует обращению минорного трезвучия.

Предположим, нужно получить ноты, образующие мажорное звучание. В этом случае коэффициент деления 20 нужно заменить на 19. Сделать это можно, введя в устройство дополнительную цепь C9, R9, VD4, показанную на рис. 1,б. Так как катоды диодов VD4 и VD1 оказываются соединенными, открываться и закрываться эти диоды будут одновременно. Это даст (при закрытых диодах VD1, VD2, VD4) вместо ноты фа второй октавы (20T) ноту фа диез той же октавы (19T или 737 Гц). Иначе говоря, звучавшая ранее последовательность ре минор сменится на ре мажор.

В момент включения напряжения питания дифференцирующая цепь C8R8 формирует короткий (около 0,15 мс) импульс, устанавливающий по входу R пусковой триггер DD4.2 в нулевое состояние. В нем триггер может находиться бесконечно долго — это дежурный режим сигнализатора. Низкий уровень с прямого выхода пускового триггера задерживается задерживающим генератором и генератором манипулятора, а также закрывает элемент DD1.4 — фазинвертер выходного сигнала 3Ф. При этом на выходе элементов DD1.2, DD5.2 — низкий уровень, а на выходе элементов DD1.1, DD1.3, DD5.1, DD5.3 и DD1.4 — высокий.

Кроме того, высокий уровень на инверсном выходе триггера DD4.2 удерживает по входу R в нулевом состоянии все

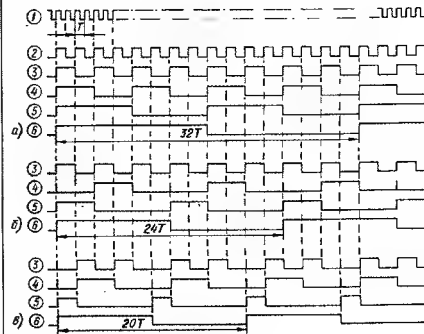


Рис. 2

остальные триггеры-сигнализаторы, включая DD6.1, DD6.2. На базе транзисторов VT1—VT4 высокий уровень, поэтому точка зрения головки BA1 нет.

Если теперь кратковременно нажать на кнопку SB1, пусковой триггер DD4.2 перейдет в единичное состояние, оба генератора вступают в работу. Интегрирующая цепь C5R5 препятствует переключению триггера DD6.1 по входу C от фронта первого импульса с выхода элемента DD5.2.

Как уже сказано, триггеры DD6.1 и DD6.2 манипулятора соединены так, что коэффициент деления частоты (2 Гц) равен 3. Поэтому, вообще говоря, период повторения импульсов на выходе триг-

ггеров DD6.1 и DD6.2 должен бы быть равен 1,5 с. Но как только на инверсном выходе триггера DD6.2 появится плюсовой перепад напряжения (это произойдет за 1,5 с), пусковой триггер DD4.2 вновь возвратится по входу C в нулевое состояние, сигнализатор вернется в дежурный режим. После кратковременного нажатия на кнопку SB1 сигнализатор работает в течение 1,5 с.

Процессы, происходящие в некоторых характеристических точках манипулятора после короткого нажатия на кнопку SB1, иллюстрирует рис. 3,а. Сначала звучит нота А₁, затем D₂ и, наконец, F₂. Время звучания каждой равно 0,5 с.

Если кнопку SB1 удерживать нажатой

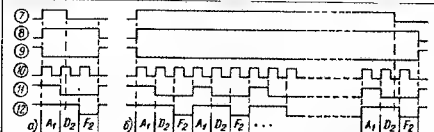


Рис. 3

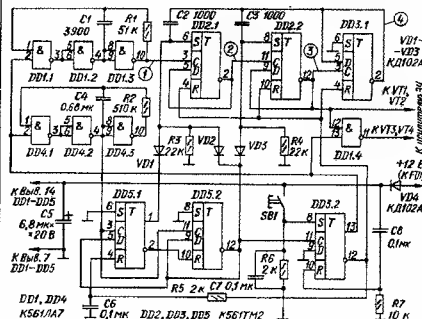


Рис. 4

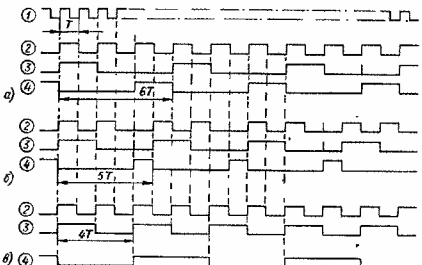


Рис. 5

закрываются в противофазе, что необходимо для его правильной работы.

Порядок чередования нот определяется тем, как включены диоды VD1 и VD2. В показанном на схеме рис. 1 варианте сигнализатор воспроизводит восходящую арпеджио. Если же требуется нисходящая арпеджио F_2, D_2, A_1 , то катод диода VD2 следует соединить с инверсным выходом триггера DD6.2, а диода VD1 — с инверсным выходом триггера DD6.1. Это для минорного трезвучия, а для мажорного — к инверсному выходу триггера DD6.1 нужно подключить катод на только диода VD1, но и диода VD4 (см. рис. 1,б). То есть катоды этих диодов в любом случае должны быть объединены.

Второй вариант трехтонального сигнализатора (рис. 4) несколько проще, поскольку в нем микросхем — одну меньше, но по структуре он подобен предыдущему. Задающий генератор, собранный на элементах DD1.1 — DD1.3, работает на частоте 3500 Гц. Децимальные частоты собраны всего на трех триггерах — DD2.1, DD2.2, DD3.1, причем выходной сигнал снимается с инверсного выхода триггера DD2.2 (а не DD3.1).

Пусковым здесь является триггер DD3.2, а триггеры DD5.1, DD5.2 и элементы DD4.1 — DD4.3 входят в состав манипулятора. При показанном на схеме включении диодов VD1 — VD3 сигнализатор последовательно воспроизводит ноты ре второй октавы (D_2), фа (F_2) и ля той же октавы (A_2). Так, при низком уровне на катоде только диода VD1 период повторения импульсов на инверсном выходе триггера DD2.2 равен 6T (рис. 5,а), что соответствует частоте 583 Гц (нота D_2).

При высоком уровне на катоде всех диодов период повторения импульсов на том же выходе равен 5T (рис. 5,б) — это уже частота 700 Гц (F_2). Когда же низкий уровень на катоде диодов VD2 и VD3, период уменьшается до 4T (рис. 5,в), а частота увеличивается до 875 Гц (нота A_2). Следовательно, воспроизводится восходящее минорное арпеджио D_2, F_2, A_2 (ра минор). Чтобы сделать его нисходящим A_2, F_2, D_2 , нужно катод диода VD3 отключить от диода VD2 и соединить его с катодом диода VD1. Получить мажорное трезвучие при такой упрощенной схеме нельзя.

Заметим, что пусковой триггер DD3.2 здесь в единичное — рабочее — состояние устанавливает замыкающая кнопка SB1 (а не размыкающая, как в первом варианте). Это позволяет использовать устройство в качестве, скажем, квартирного звонка. Впрочем, не так уж сложно подобный измененный ввести и в первый вариант сигнализатора.

(Окончание следует)

ЛИТЕРАТУРА

- 1 Бирюков С. Генератор для настройки музыкальных инструментов. — Радио, 1982, № 4, с. 33–35.
- 2 Моисеев А. Выбор коэффициентов деления частоты. — Радио, 1990, № 3, с. 63, 64.
- 3 Баников В. Музыкальная сирена: Сб: "В помощь радиобинтелу", вып. 116. с. 45–48. — М.: Патриот, 1993.

От редакции. Для повышения надежности работы предлагаемых устройств рекомендуется включить последовательно с конденсаторами C2, C3, C8 на рис. 1 и аналогичными на рис. 4 и рис. 5 (во второй части статьи) резисторы сопротивлением 2,8 кОм. Входы неиспользуемых элементов микросхем следует соединить с общим проводом.

тогда выключается. Так же работает устройство и при воспроизведении мажорного трезвучия.

После нажатия на кнопку SB1 сигнал на выходе элемента DD1.4 будет уже противофазен сигналу на инверсном выходе триггера DD4.1. Поэтому транзисторы VT1, VT4 и VT2, VT3 усилителя открываются и

GAMMA

Санкт-Петербург

Тел. (812) 532-4383, тел./факс (812) 531-1402, E-Mail: postmaster@gamma.spb.su

Дистрибьютор по электронным компонентам



Microchip

Единственный официальный дистрибьютор в России

Весь спектр продукции фирмы на заказ и со Склада по ценам фирмы!
Постоянное наличие однокристальных ЭВМ серии PIC16/17, а также EEPROM I2/C, 3-wire, 4-wire, parallel EEPROM. Контроллер потребления энергии электродвигателей ПЗУ с ультрафиолетовым стиранием

Микросхемы для телефонов, компьютеров, звуковые генераторы, синтезаторы мелодий, синтезаторы голоса. Статическая память (SRAM), быстрая статическая память, микропроцессоры.



Официальный дистрибьютор в России



Официальный дистрибьютор в России

Семейство микроконтроллеров Z8: для инфракрасного ДУ, Контроллеры для автоответчиков, телевизионные цифровые контроллеры, микросхемы для радиотелефонов. Цифровые сигнальные процессоры, факс/модем контроллеры, полный набор контроллеров по обслуживанию периферии.

Программируемые логические матрицы, FLEXlogic, PAL, GAL, EPLG, FPGA.



ALTERA

Официальный дистрибьютор

Продукция для отраслей промышленности:

телекоммуникации, автомобилестроения, промышленное производство, продукция массового спроса. Процессоры и периферия, память, АЦП, транзисторы, тиристоры, диоды, микросхемы FIFO.



SGS-THOMSON MICROELECTRONICS

Официальный дистрибьютор



intel.

Изделия для рынка персональных компьютеров:

микропроцессоры, контроллеры прерываний, изделия для коммуникаций, процессоры и сопроцессоры, периферийные микросхемы, флэш-память, семейство MCS-51, MCS-86, программируемые логические устройства.

Постоянное наличие более 500 популярных позиций, полных аналогов отечественных

Широкий выбор технической литературы, программных и аппаратных средств отладки, поставка опытных партий компонентов, программа поддержки разработчиков.

Постоянное наличие на складе большой в употреблении продукции по ценам ниже рыночных

Наш адрес: С-Петербург, Гражданский пр. 111, офис 427, мест. тел. 245.

ДОСКА ОБЪЯВЛЕНИЙ

ДВЕ КОНСТРУКЦИИ НА PIC-КОНТРОЛЛЕРЕ

Д. ГАНЖЕНКО, И. КОРШУН, г. Зеленоград

В "Радио", 1995, № 10, с. 47—49 рассказывалось об интересном устройстве — PIC-контроллере и одной из конструкций, разработанных фирмой "Телесистем ЛТД" на его основе, — калькофоне. Сегодняшняя публикация посвящена двум другим конструкциям — автоматическому телефонному коммутатору и микро-АТС, расширяющими возможности телефонной линии.

АВТОМАТИЧЕСКИЙ ТЕЛЕФОННЫЙ КОММУТАТОР

Ни для кого не секрет, что телефонных линий и станций у нас катастрофически не хватает — до телефонизации всей страны еще далеко. Есть известное решение для подключения двух абонентов к одной линии — старый телефон. Однако оно уже практически исчерпало себя — телефоны с блокираторами стоят везде, где для этого есть возможность. К тому же на все АТС поддерживают такой режим, а зачастую просто нет свободной номерной емкости. Предлагаемый автоматический телефонный коммутатор (АТК) немного поможет в решении проблем.

АТК позволяет к имеющейся телефонной линии подключить второй телефон с независимой адресацией, т. е. предоставляет возможность звонить именно на тот из двух телефонов, который нужен.

Чтобы позвонить на первый (главный) телефон, надо просто набрать его номер. Для того чтобы позвонить на второй, придется проделать процедуру двойного набора номера: набрать номер, дождаться одного-двух гудков, затем положить трубку и сразу же набрать номер во второй раз — при этом раздастся звонок во второй телефон.

При повторном наборе первый телефон на звонит потому, что АТК задерживает сигнал вызова на два звонка. Этот способ, прямо скажем, не очень удобный, однако на требует применения дополнительных устройств, например тонального бипера*.

Возможны два режима работы. В первом — при поднятии трубки на любом из телефонов другой отключается, что исключает помехи при наборе номера и прослушивание разговора. Во втором режиме первый телефон имеет преимущество — при поднятии на нем трубки

второй телефон отключается, даже если в этот момент по нему разговаривают (в этом случае связь обрывается и линия освобождается для разговора по первому телефону), что позволяет сделать подключение второго телефона практически неощутимым для владельца первого.

АТК позволяет запретить абоненту второго телефона выход на междугородную и международную связь. Имеется и возможность переадресации звонка с одного телефона на другой. Это на тот случай, когда произошла ошибка — хотели

позвонить вашему соседу, а попали к вам. Переадресация осуществляется просто: набравте цифру 2 на вашем телефоне, кладете трубку — и звонок раздается на другом аппарате.

Вот, пожалуй, и все о возможностях. Теперь об устройстве. АТК не требует питания от электрической сети, поэтому связь есть всегда, когда работает телефонная сеть. Он собран на микроматричной плате (рис. 1), которая умещается внутри обычной телефонной розетки. Устройство получилось весьма простым (рис. 2) благодаря использованию современной элементной базы — PIC-контроллера PIC16C54.

Весь алгоритм работы устройства определяется программой контроллера. Стабилизация напряжения питания цифровой части (2,8...3,3 В) обеспечивает цепь VD1, DA1, VD2. Для отсекаания отрицательного полупериода импульса звонка и разрядки звонкового конденсатора телефона служат элементы VD3—VD7. При недостаточном напряжении питания контроллера транзистор VT1 формирует низкий уровень на выводе 4 микросхемы DD1 (происходит сброс процессора).

На резисторах R1 и R2 собран "датчик" наличия сигнала вызова, а на R3 и R4 — "датчик" состояния линии. Поднята или положена трубка первого телефона определяет "датчик" на резисторах R5—R7, причем чувствительность его пере-

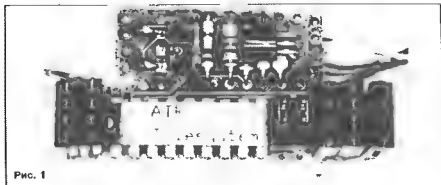


Рис. 1

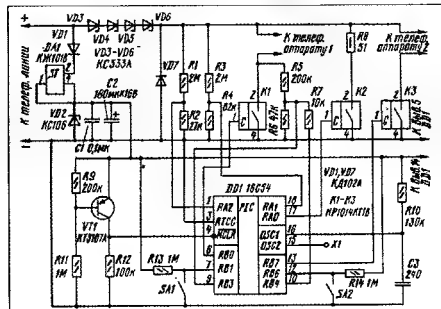


Рис. 2

* Бипер — звучащий брелок, имеющий клавиатуру, как на телефонном аппарате. Прикладывая бипер к микрофону телефонной трубки, можно передавать сигналы тонального набора. При этом каждой цифре соответствуют два сигнала разной частоты. Такой многочастотный телефонный код обозначают DTMF (Dual Tone Multiple Frequency). Его используют в телефонах с тональным набором, а также для дистанционного (по телефонной линии) управления автоматическими, многофункциональными телефонами и офисными АТС.

УЛЬТРАЗВУКОВОЙ АВТОСТОРОЖ

В. ВИЛЛ, г. Москва

Как известно, в охранных устройствах для автомобилей используют различные датчики — контактные, вибрационные, качания, наклона и др. В дорогих автосторожах зачастую работают одновременно несколько датчиков, разных по принципу действия. Почти все современные зарубежные системы вместе с одним или несколькими из перечисленных имеют в своем составе ультразвуковой датчик.

С устройством и работой такого датчика, еще мало распространенного в любительских автоохранных устройствах, знакомит эта статья.

Рассматриваемое охранное устройство состоит из трех узлов — излучателя ультразвуковых акустических колебаний, приемника этих колебаний и логического устройства, причем совместно работающие излучатель и приемник представляют собой ультразвуковой датчик.

Излучатель, как следует из названия, излучает в охраняемое замкнутое пространство акустические волны, которые заполняют его, многократно отражаясь от стен и предметов, находящихся внутри этого пространства. В просторечье (в том числе и в точке, где расположен приемник) устанавливается стационарная интерференционная акустическая картина, т. е. амплитуда и фаза волны в любой точке будут постоянны. Приемник выполнен так, что он чувствителен именно к изменению амплитуды колебаний, поэтому полезный сигнал на его выходе близок нулю.

Однако достаточно в охраняемое пространство начать вводить даже небольшую предмет, как интерференционная картина начнет смещаться, а точка приема произойдет многократная смена максимумов и минимумов волн. Приемник зафиксирует это изменение и сформирует на выходе последовательность импульсов. Логическое устройство обрабатывает эту последовательность и приводит в действие узел подачи сигнала тревоги.

Чувствительность ультразвуковой системы охраны может быть исключительно высокой — она способна уверенно реагировать не слабый воздушный поток или на летящую муху. Поэтому в вестосторож принимают меры по регулированию чувствительности на необходимом уровне. Достоинством следует считать и тот факт, что чувствительность, хоть и непостоянна по охраняемому объему, все же удовлетворительна в самых неблагоприятных точках. Стоорож, при желании, легко замаскировать.

В качестве излучателя и приемника в ультразвуковых охранных устройствах очень часто используют пьезоэлектрические микрофоны, которые имеют АЧХ с явно выраженным резонансом. Это свойство позволяет существенно улучшить помехозащищенность устройства в целом. Однако, кроме основного, у пьезоэлектрического микрофона есть и ряд других, паразитных резонансов, обычно расположенных по частоте выше основного. Этот факт приводит к усложнению

схематехники устройства в целом.

Пьезомикрофоны, как правило, продают подобранными по частоте в пару излучатель—приемник. В описываемом стороже использована пара микрофонов УМ-1, однако пригодны и другие пьезомикрофоны, скорее всего потребуются лишь коррекция номиналов некоторых элементов датчика.

Задача генератора возбудить излучатель на частоте его основного резонанса. Об особенностях схематехники и свойствах генераторов, применяемых для этой цели, подробно рассказано во вступительной части статьи (1). Здесь же укажем лишь, что наиболее удобно применять генераторы, в которых резонатором служит собственно пьезоизлучатель, однако они часто требуют принятия мер, препятствующих запуску на частоте паразитного резонанса.

На рис. 1 изображена схема генератора, которую рекомендует предприятие—изготовитель микрофонов УМ-1. Протекающий через излучатель В01 переносный ток создает на резисторе R5 падение напряжения, которое через конденсатор С2 поступает на неинвертирующий вход ОУ DA1, замыкая петлю положительной ОС. Цепь C1R4 устраняет отрицательную ОС по переменному току.

К сожалению, этот генератор при использовании излучателя УМ-1 в половине случаев запускается на частоте паразитного резонанса. Конечно, в этот генератор можно добавить цепи, подавляющие положительную ОС на частоте паразитного резонанса. Однако частотное соотношение основного и паразитного резонансов микрофонов УМ-1 (и им по-

добно) таково, что от этих дополнительных цепей требуется высокая добротность и точная настройка. В результате теряется основное достоинство генератора — простота. Поэтому схему на рис. 1 следует применять, если у излучателя паразитный резонанс выражает существование слабее основного.

Генератор, схема которого изображена на рис. 2, состоит из двух узлов, собственно задающего генератора на инверторе и устройства синхронизации. Частоту задающего генератора можно плавно регулировать подстроечным резистором R5 в пределах 25...50 кГц. Нагрузкой генератора служит излучатель В01, включенный последовательно с резистором R6.

Устройство синхронизации, собранное на транзисторе VT1, заставляет генератор работать на частоте основного резонанса излучателя. На резисторе R6 падает напряжение, пропорциональное току через излучатель В01. Цепь R7C3 отфильтровывает высокочастотные составляющие, после чего сигнал через конденсатор С4 поступает на усилитель напряжения на транзисторе VT1, выполненный по схеме с общей базой (коэффициент усиления — около 15). Разделительный конденсатор С2 и резистор R1 замыкают петлю положительной ОС.

Таким образом, на резонансной частоте излучатель глубина положительной ОС максимальна. Поэтому генератор устойчиво работает только на основной резонансной частоте излучателя В01.

Транзистор VT1 — любой кремниевый, со статическим коэффициентом передачи тока 50...300 и напряжением $U_{бэ}$ не менее 15 В (например, KT315F, KT315E, KT3102A—KT3102B). Микроэлемента К561ЛН2 может быть заменен одноименной из серии 564, КР1561. Конденсатор С1 должен быть возможно более термостабильным. При использовании конденсаторов группы ТКЕ М75 генератор уверенно "держит" резонансную частоту при изменении температуры окружающей среды от +25 до -20 °C (в более широком интервале проверять не удалось). Подстроечный резистор R5 — из серии C16. Такой резистор позволяет получить долговременную и точную установку частоты.

При наладке генератора сначала замыкают конденсатор С3 и подключают осциллограф к выводам резистора R6. Плавное вращение винта резистора R5, находясь резонанс по резкому увеличению амплитуды напряжения на экране. Удалять замыкающую перемычку с конденсатора С3 и, вращая винт резистора R5 на несколько оборотов в обе стороны от найденного положения, убеждаются, что "завал" резонансной частоты надежен.

Приемник улавливает акустические колебания ультразвуковой частоты и вырабатывает сигнал при резком изменении амплитуды этих колебаний. Принципиальная схема приемника изображена на рис. 3. Микрофон ВМ1 преобразует акустические колебания в электрические. На транзисторе VT1 выполнен предусилитель, а на ОУ DA1 — основной усилитель сигнала.

После детектирования (цепью VD2R7C2) сигнал дополнительно усиливает ОУ DA2.1, после чего он поступает на вход компаратора напряжения, собранного на ОУ DA2.2. К выходу компаратора подключают логическое устройство.

Без диода VD1 ступень на ОУ DA1 представляла бы собой обычный усилитель

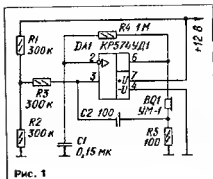


Рис. 1

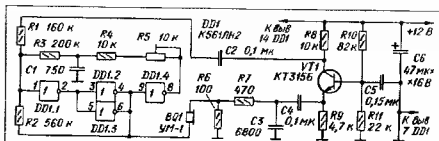


Рис. 2

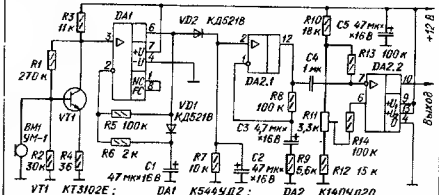


Рис. 3

стационарна, на выходе ОУ DA2.1 присутствует некоторое постоянное напряжение. На инвертирующем выходе компаратора напряжение больше, чем на неинвертирующем, поэтому на выходе приемника — низкий уровень. Всякие перемещения в охраняемой зоне вызовут многократное переключение компаратора DA2.2. Подстроечным резистором R11 можно регулировать порог срабатывания компаратора, т. е. фактически чувствительность системы в целом.

Транзистор VT1 должен иметь большой статический коэффициент передачи тока, желательно — не менее 400. Кроме того, он должен быть малопаразитным. Вместо KT3102E подойдет транзисторы KT3102Г и KT342В. ОУ DA1 необходим быстродействующий, с полемными транзисторами на входе; здесь, кроме указанного, подойдет К5/4УД1А. К ОУ DA2 требования не столь жестки; можно использовать К1408УД2 (цоколевка та же) или два одиночных ОУ широкого применения — К1408УД6, К1408УД7, К1408УД12, К1408УД14 и т. д.

Неловжанные начинают с проверки уровня постоянной составляющей на коллекторе транзистора VT1 (6...7,5 В). При необходимости подбирают резистор R2. Далее при включенном генераторе проверяют правильность работы ОУ DA1 по графикам на рис. 4. В заключение проверяют работу ОУ DA2.1 и компаратора DA2.2.

Вобщем говоря, охранная система может работать и без логического устройства, достаточно к выходу приемника подключить, например, сирену (через усилитель тока, разумеется). Но тогда появляется серьезная проблема ложных срабатываний, которые способны вывести из терпения как владельца автомобиля, так и его соседей. Уменьшить вероятность ложных срабатываний из-за сквозняков и случайных сотрясаний кузова можно, по-видимому, увеличением зоны нечувствительности компаратора (резистором R11 в приемнике). Однако, как показала практика, помехозащищенность при этом почти на увеличилась, а вот чувствительность приемника пала существенно.

Дело в том, что при движении в охраняемом пространстве крупного предмета приемник вырабатывает целую серию импульсов, тогда как значительная часть случайных помех однократна, как правило, не более одного-двух мощных импульсов. Логическое устройство (его схема изображена на рис. 5) построено так, что оно вырабатывает сигнал тревоги только по приходе от 2 до 10 импульсов подряд. Конкретное их число, необходимое для срабатывания устройства, задают переключателем SA1. При этом вместе с незначительным уменьшением чувствительности резко увеличивается помехозащищенность.

Такой алгоритм работы обеспечивают триггер Шмита на элементах DD1.1, DD1.2, одновибратор на триггере DD2.1 [3] и счетчик DD3. Триггер Шмита обеспечивает крутые фронт и спад импульсов, а одновибратор задает строгое время, в течение которого счетчик DD3 ведет подсчет этих импульсов.

В исходном состоянии высокий уровень на прямом выходе триггера DD2.1 блокирует счетчик. После прихода с приемника первого импульса триггер DD2.1 на 1,5 с изменяет свое состояние и разрешает счетчику начать подсчет импульсов

переменного напряжения с коэффициентом передачи, заданным резисторами R5 и R6 (в рассматриваемом случае около 50). Дело в том, что амплитуда ультразвукового сигнала на коллекторе транзистора VT1 очень непостоянна, она может меняться примерно от 5 до 500 мВ. Сильный сигнал таким усилителем будет неминуемо ограничен.

В результате приемник потеряет чувствительность к небольшим колебаниям амплитуды сигнала на входе, что снизит общую эффективность охранного устройства. Можно, конечно, понизить коэффициент усиления ОУ DA1, но тогда резко упадет чувствительность охранного устройства к слабым сигналам. Введение же ручной регулировки усиления усложнит наладку системы охраны на объекте.

Итак, здесь требуется эффективный автоматический регулятор усиления (АРУ) с большой постоянной времени. Обычный АРУ, например, на полевом транзисторе, заметно усложнил бы устройство. Введение же диода VD1, на внося снижения, уменьшает вероятность перегрузки усилителя практически до нуля.

Диод VD1 серьезно изменяет логику работы ступени на ОУ DA1. Если без диода постоянная составляющая сигнала на неинвертирующем входе (вых. 3) и выходе ОУ одинакова, то с диодом равными стали максимальные ("верхние") значения напряжения сигнала (точнее, выходной сигнал примерно на 0,6 В больше из-за падения напряжения на диоде VD1). Так как постоянная составляющая на указанном входе ОУ DA1 примерно равна 7,5 В, а размах переменной составляющей велик — десятки, максимумы выходного сигнала находятся на практически постоянном уровне.

На рис. 4 показано изменение выходного сигнала ОУ DA1 во времени в зависимости от амплитуды переменной со-

стающей на его входе. График 1 — выходной сигнал при отсутствии переменной составляющей на входе (отключен датчик или выключен генератор); график 2 — при слабом входном сигнале, а 3 — при сильном. Видно, что при сильном сигнале на входе выходной сигнал ограничен снизу, однако это не мешает нормальной работе приемника. Рис. 4 соответствует стационарной интерференционной картина волн в охраняемой зоне сторожа.

Если же что-то начнет перемещаться, амплитуда ультразвуковых колебаний в месте установки микрофона будет резко меняться. Постоянная времени цепи VD1, C1, R6, R5 велика, поэтому обратная связь не будет успевать отслеживать эти изменения. Значит, уровень максимального сигнала на выходе ОУ тоже будет изменяться. Так как постоянная времени детектора VD2C2R7 в 10 раз меньше, на неинвертирующем входе ОУ DA2.1 (вых. 2) появится сигнал, изменяющийся в такт с резкими изменениями амплитуды ультразвуковых колебаний. Этот сигнал после усиления ОУ DA2.1 (примерно в 20 раз) поступает на компаратор, выполненный на ОУ DA2.2.

Когда обстановка в охраняемой зоне

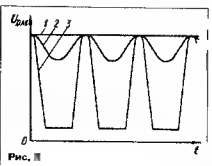


Рис. 4

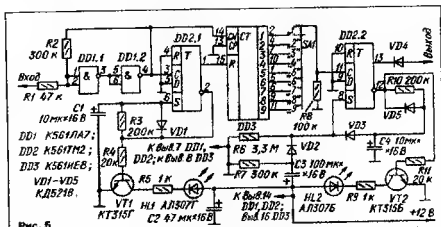


Рис. 5

Благодаря вносимой триггером DD2.1 задержка первый импульс на изменяет состояние счетчика, зато второй импульс переводит счетчик в состояние 1; третий — в состояние 2 и т. д.

Предположим, переключатель SA1 установлен в положение "5". До прихода с приемника серии импульсов на выходе 5 счетчика действует низкий уровень. Первый пришедший импульс запускает одновибратор, а следующий переводит счетчик DD3 последовательно в состояния 1, 2, 3 и далее, пока, наконец, шестой импульс на переводит счетчик в состояние 5. Появившийся на выходе 5 счетчика DD3 высокий уровень запускает второй одновибратор, собранный на триггере DD2.2. С выхода этого одновибратора сигнал тревоги поступает на исполнительное тревожное устройство.

В случае, если за 1,5 с на вход логического устройства поступит менее 6 импульсов, сигнал тревоги не будет сформирован и устройство вернется в дежурный режим. Подбирая положение переключателя SA1, можно получить оптимальную чувствительность и помехозащищенность.

Одновибратор DD2.2 предназначен для согласования ультразвукового охранного устройства с исполнительным устройством, которым может служить один из автоосторож, описанных в журнале "Радио". Цепь R10C4 задает длительность импульса тревоги, при указанных на схеме номиналах она равна примерно 1,5 с. Большинство автоосторож накрываются длительностью этого сигнала.

Цепь C3, R7, VD2 бикурирует прохождение сигнала тревоги на исполнительное устройство в первые 15 с после подачи питания. Светодиод HL1 индицирует появление первого импульса с приемника, а HL2 — появление сигнала тревоги на выходе логического устройства. Транзисторы VT1 и VT2 — усилители тока, питающего светодиоды.

Микросхемы серии K561 можно заменить соответствующими на серии 564, KP1561. Переключатель SA1 может быть и на меньшее число положений, например на 5. В этом случае его контакты целесообразно подключить к выходам 2, 3, 5, 7, 9 счетчика DD3. Собрание безотказно и из исправных деталей логическое устройство налаживания не требует.

Независимо от условий применения охранной системы приемник желательно поместить в экранирующую коробку. Все неиспользуемые входы микросхем КМОП обязательно надо подключить либо

к общему, либо к плюсовому проводу питания. В автомобильном варианте системы генератор с изолятором и приемник часто объединяют в один блок. При этом акустические оси излучателя и датчика располагают в одной плоскости так, чтобы они слегка расходились; угол расходжения — от 0 до 30°. Блок желательно располагать в передней части салона, около зеркала заднего вида, напротив оси излучателя и микрофона назад.

Возможны и другие конструктивные варианты, например, общий блок с выносными излучателем и микрофоном. В этом случае провода, соединяющие их с блоком, должны быть экранированными и возможно более короткими. Перед окончательным выбором места установки стоит попробовать различные варианты. Логическое устройство целесообразно установить в скрытом месте. Очень удобно, если оно выполнено в едином блоке с исполнительным тревожным устройством.

В качестве практического примера рассмотрим подключение ультразвуковой охранной системы к автоосторож, описанному в [3]. Для этого в автоосторож между общей точкой резисторов R4, R5 и выводом 4 (обозначения по схеме в указанной статье) следует включить любой маломощный диод анодом к резисторам. После этого выход логического устройства подключают к общей точке вновь введенного диода и резисторов R4, R5 автоосторожа. Питание на ультразвуковой блок подают с автоосторожа.

В заключение регулируют чувствительность ультразвуковой охранной системы. Для этого на нее подают питание и, вращая движок подстроенного резистора R11 приемника, добиваются, чтобы при возможно более высокой чувствительности устройство не давало бы срабатываний при отсутствии перемещений в охраняемом пространстве. Индикатором срабатывания служит светодиод HL1. После этого переключателем SA1 устанавливают оптимальную чувствительность устройства в целом. Сигнал тревоги поступит на автоосторож, когда вслед за HL1 включится и светодиод HL2.

ЛИТЕРАТУРА

1. Волков А. Мостовой генератор для УЗ пьезоизлучателя. — Радио, 1995, № 6, с. 34, 35.
2. Алексеев С. Формирователи и генераторы на микросхемах структуры КМОП. — Радио, 1985, № 8, с. 31—35.
3. Бирюков С. Усовершенствованный автоосторож "Сигар-с". — Радио, 1993, № 8, с. 34—36.

В значительной части переносных радиоприемников и магнитофонов работают динатические головки со звуковыми катушками сопротивлением 8 Ом при напряжении источника питания 9 В. Максимальный ток, потребляемый их безтрансформаторными усилителями мощности, достигает 0,4...0,5 А. Тем не менее регулирующий транзистор стабилизатора источника насыщается при меньшем токе нагрузки ($I_{наг} < 0,2$ А). В этом случае резко уменьшается размах пульсаций выходного напряжения, что является причиной ухудшения качества как радиоприема, так и воспроизведения звука [1]. Лучшая средство избежания таких явлений — увеличение запаса мощности источника питания.

На рис. 1 приведены нагрузочные характеристики двух промышленных блоков питания: БП 9/60 — специализированного источника для радиоприемников типа "ВЭФ" и ИПС-9/0,1 — источника общего применения, снабженного двухпроводным выходным кабелем сопротивлением $R_{\text{каб}}$ около 0,2 Ом. Для обоих источников характерна абсолютная нестабильность выходного напряжения $\Delta U_{\text{вых}}$, увеличивающаяся с ростом выходного тока $I_{\text{наг}}$. Значение $\Delta U_{\text{вых}}$ у ИПС-9/0,1 больше, чем у БП-9/60, особенно в области больших значений $I_{\text{наг}}$. Причина тому — $R_{\text{каб}}$, которое добавляется к выходному сопротивлению стабилизатора ($R_{\text{вых}}$). Очевидно, что у этих блоков общая относительная нестабильность $\Delta U_{\text{вых}}/U_{\text{вых}} = 10\%$. Серьезный недостаток некоторых промышленных блоков питания — отсутствие средств защиты при коротких замыканиях в нагрузке.

Предлагаемый источник питания (рис. 2) проверен в работе с различной аппаратурой в течение более десяти лет. Он рассчитан на присоединение двухпроводным кабелем и обеспечивает выходное напряжение 5...12 В при токе до 0,8 А. Источник, обладающий повышенной стабильностью выходного напряжения при изменении тока нагрузки и надежно защищенный от замыканий, представляет собой последовательный компенсационный стабилизатор напряжения. Цепь обратной связи стабилизатора образуют делитель напряжения R4R5R6 и транзистор VT6.

Источником образцового напряжения, выполненный на стабилизаторе VD4 и резисторе R6, питается выходным напряжением стабилизатора. Стабилизатор VD4, транзистор VT1 и резисторы R1, R2 образуют источник тока, являющийся нагрузкой транзистора VT6. Устойчивость работы стабилизатора обеспечивается конденсаторами C4 и C5.

Подробно работа компенсационного стабилизатора описана в [2].

В блоке использован сетевой трансформатор ТС-14-2 или другой, обмотка II которого обесточивает переменное на-

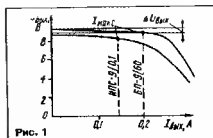


Рис. 1

СЕТЕВОЙ БЛОК ПИТАНИЯ ПЕРЕНОСНОЙ РАДИОАППАРАТУРЫ

Д. ДАНИЮК, Г. ПИЛЬКО, г. Киев

Авторы публикуемой здесь статьи предлагают устройство для питания переносной радиоаппаратуры, в котором учтены не только недостатки, присущие многим промышленным устройствам подобного назначения.

Напряжение 16...18 В при токе до 1 А. На холостом ходу ток первичной обмотки не превышает 25 мА. Конденсатор С1, шунтирующий обмотку II, предотвращает возникновение интерференционных помех при закрывании диодов выпрямительного моста VD1.

Электронная система защиты источника от замыкания выхода выполнена по типу RS-триггера с запуском в цепь базы транзисторов [3]. Отличается от аналогичных тем, что функция нагрузки транзистора VT3 выполняет роль смещения VD2R1 и эмиттерный переход транзистора VT2, а транзистор VT2 нагружен источником тока VT1 и входом регулирующего источника транзистора VT4VT5. Начальную установку триггера защиты осу-

ществляет кнопка SB1, а транзистор VT3 и регулирующий VT4VT5 закрыты. Ток, текущий через стабилизатор VD2 и резистор R1, поддерживает транзистор VT2 в насыщении.

При нажатии на кнопку SB1 транзистор VT2 закрывается, вследствие чего коллекторный ток транзистора VT1 переключается в цепь базы транзистора VT5 и переводит регулирующий элемент в режим стабилизации выходного напряжения. Когда напряжение на конденсаторе С5 превысит пороговое, транзисторы VT3 и VT6 открываются. Устройство при этом изменяет исходное состояние и фиксирует режим стабилизации выходного напряжения. Одновременно загорается светодиод HL1.

При перегрузке по току линейный ре-

жим стабилизации нарушается и на выходе устройства появляются пульсации напряжения большой амплитуды. Когда при пульсациях выходное напряжение становится меньше порогового, транзистор VT3 закрывается, а транзистор VT2 открывается. В результате регулирующей транзисторы VT4VT5 закрываются и устройство возвращается в исходное состояние, в котором оно было до нажатия на кнопку "Пуск". Светодиод HL1 гаснет.

Такая защита удобна для маломощных стабилизаторов, способных при замыкании выхода ограничивать выходной ток на уровне, не позволяющем в течение хотя бы нескольких секунд выйти из строя регулирующему транзистору из-за превышения допустимой мощности. Она может быть использована и с микросхемными стабилизаторами серии K142 [4].

Отличительной особенностью описываемого источника является положительная ОС по току, компенсирующая падение напряжения на выходном кабеле (рис. 3,б). Положительная ОС осуществляется через резистор R10, включенный в разрыв общего провода стабилизатора. Компенсация достигается за счет того, что с увеличением $I_{вых}$ падение напряжения на резисторе R10 уменьшает напряжение на базе транзистора VT6 относительно образцового напряжения на стабилизаторе VD4. При снижении напряжения на базе транзистора VT6 уменьшается его коллекторный ток и растет ток базы транзистора VT5. В результате падение напряжения на регулирующем транзисторе уменьшается, тем самым компенсируя падение напряжения на выходном кабеле, равное $I_{вых} R_{каб}$ [2].

При настройке устройства достаточно достичь точной компенсации $\Delta U_{вых}$ только в одной точке нагрузочной характеристики, которую выбирают при $I_{вых} = I_{ном}$. Делают это подбором резистора R10. Необходимое сопротивление этого резистора можно ориентировочно выбрать из условия компенсации $\Delta U_{вых} = I_{ном} R_{каб} / (K_1 - 1)$. Здесь: K_1 — коэффициент стабилизации по напряжению при $I_{ном} = 0,8$ А, $R_{каб}$ — 0,16 Ом, U_0 — 3,3 В, U_0 — 9 В. Расчетное сопротивление $R_{10} \approx 0,18$ Ом.

Конструктивно резистор R10 выполнен как бифилярная катушка, намотанная проводом ПЭВК-1 диаметром 0,2 мм на корпус резистора МЛТ-1. Можно также использовать медный провод диаметром меньше 0,1 мм.

Детали источника смонтированы на плате размерами 165x70 мм. Транзистор VT4 установлен на теплоотводе площадью 70 см².

Для $I_{ном}$ 0 источник обеспечивает $K_1 > 170$. Двойную амплитуду пульсаций $\Delta U_{пульс} < 6$ мВ, ток потребления — 27 мА. Интервал регулировки выходного напряжения: 4,5 В $U_{вых} < 12,6$ В. При $I_{ном}$ 9 В максимальный коэффициент полезного действия — 45%.

ЛИТЕРАТУРА

1. Собылевский А. Г. Почему появились источники? М. Радио и связь, 1985.
2. Источники электропитания на микроэлектронных приборах. Под редакцией Доксис Д. Д., Галычарина Е. И. М.: Сов. радио, 1989.
3. Данилюк Д. Л., Пилько Г. V. // Газ-Полу Проводящий // Electronics World & Wireless World 1992 March P. 211.
4. Данилюк Д. Л., Пилько Г. В. Триггерная защита на K142ЕН1А. К. РадиоМастер 1994 № 12, с. 23.

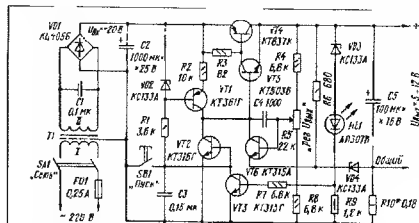


Рис. 2

ществляет кнопку SB1, а транзистор VT3 через резистор R7.

Действие системы защиты поясняет нагрузочная характеристика источника, приведенная на рис. 3,а. Она соответствует $U_{ном}$ 9 В при $R_{10}=0$. Порог срабатывания защиты U_0 — 3,3...4 В задается, главным образом, напряжением открытия стабилизатора VD3. Сравнение характеристик с рис. 3,а для $R_{10}=0$ и $R_{10} 0,2$ Ом показывает, что компенсация позволила уменьшить нестабильность $U_{вых}$ в интервале $0,5 \text{ Ом} \leq R_{10} \leq 1$ А примерно в 10 раз.

После включения питания тумблером SA1 (KM-1-1) система находится в исходном состоянии: ток через стабилизатор VD3 и светодиод HL1 и падение напряжения на резисторе R9 близки к нулю, а

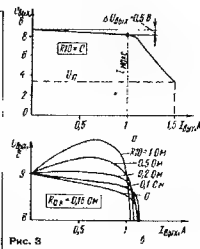
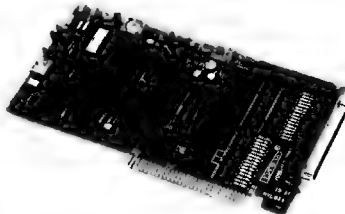


Рис. 3

СИГНАЛ®

125319, Москва,

ул.Коккинаки, д.8, под.8

тел/факс: (095) 152-29-97**E-mail:** signal @ signal.msk.ru**Телетайп:** 207477 ОКТЕТ АЯ 52220

**Оборудование для автоматизации предприятий и лабораторий
с помощью IBM-совместимых компьютеров.**

Платы НВЛ, Россия	АЦП	ЦАП	Дискр.в/в	Интерфейс	Цена, USD
НВЛ 03	16x10bit 40мкс	-	16	ISA 8bit	180
НВЛ 14, коммутатор аналоговых сигналов, 32вх, 1вых				ISA 6bit	150
НВЛ 15, ПДП	8/16x12bit 6мкс	2x12bit 6мкс	16	ISA 16 bit	295
НВЛ 17	-	-	56	ISA 6bit	150
НВЛ 19, ПДП	8/16x14bit 7мкс	2x12bit 5мкс	16	ISA 16bit	495
НВЛ 22	Коммутатор аналоговых сигналов с гальванической развязкой 1,5кВ			ISA 6bit	220
НВЛ 26, "временной срез"	8/16x8/9bit 4мкс	-	16	ISA 6bit	250
КОП (IEEE 488, GP, HP, IB, IEC 625) соответствует стандарту				ISA 8bit	199
SC 202, плата осциллографа, Germany	2x8bit 20мгц	-	вход синхрониза- ции	ISA 16bit	698
AD8/12, Germany	6x12 bit 175мкс	-	-	RS 232	299
A/D 8/16, USA	8x16bit 13 Hz	-	-	RS 485	487
R6-C, релейная плата, Germany	-	-	8 рела 6Ax250B	Centroniks	220
VOLTCRAFT506 Germany мультиметр: I, U, R, L, °C, F, C, dB	1x4 десят резр	генератор прямоуг. сигн.	-	RS 232	350
TL 8, система телеметрии, Germany	8x8bit	-	6	RS 232+ра- диоканал до 1000м	698
Notebook AD, USA	8x12bit 30kHz	-	4x2	PCMCIA type II	785
D 32, USA Плата дискретного ввода/вывода с гальв.развязкой каждого канала			16 на вых. 16 на вход	ISA 8	299

- ♦ Архитектура вентиляционной матрицы FPGA - типа XILINX
- ♦ Количество триггеров - 282, 452, 636, 820, 1188, 1500
- ♦ Быстродействие - 71...125 МГц
- ♦ Технология - SRAM с загрузкой без программатора
- ♦ Стоимость - \$0,07 за триггер (EPF8282ALC84-4 - \$16.50)

ПЛИС семейства MAX7000

(См. также "Радио" №9/95, стр. 64)

- ♦ Матричная архитектура с быстродействием до 180 МГц
- ♦ Количество триггеров - 32, 64, 96, 128, 160, 192, 256
- ♦ Технология - КМОП с электростатическим стиранием
- ♦ Самое низкое соотношение стоимости/интеграция (одна ПЛИС EPM7032-12 заменяет две EP910-15 при четырехкратном выигрыше в цене)

ПОСТАВЛЯЕМ

- ♦ Пакет проектирования EPM7032 с библиотеками 74-й серии, документацией и каталогом - 20 у.е.
- ♦ Средства проектирования и отладки (САПР) ПЛИС
- ♦ Программаторы, микросхемы, справочную литературу

ВЫПОЛНЯЕМ

Проектирование СБИС на ПЛИС на заказ (5-15 дней)

НОВИНКИ

Отечественные программаторы для ПЛИС семейства MAX5000 (5016, 5032, 5064, 5128) и микросхемы EPM7032

А также МИКРОСХЕМЫ ФИРМ INTEL и ZILOG

Москва, ☎ (095) 464 7980, 381 9222

ФИРМА "ДИСПЛЕЙ"

СПЕЦИАЛИЗИРУЕТСЯ в области разработок ЖК-дисплеев различной конфигурации, в т.ч. для работы в расширенном диапазоне температур.

Мы предлагаем КОМПЛЕКС УСЛУГ:

ПОСТАВКИ отечественных и импортных ЖК-индикаторов по каталогам фирм; дисплейных модулей (индикатор + контроллер + конструктив); промышленных терминалов на основе ЖК- и электролюминесцентных индикаторов; клавиатур для дисплеев. Документация, техническое сопровождение.

РАЗРАБОТКА по ТЗ заказчика, изготовление и поставка ЖК-индикаторов и дисплейных модулей на их основе; пленочных клавиатур, шильдиков и передних панелей со встроенной клавиатурой.

ПОСТАВКИ изделий фирм INTEL, ZILOG, ALTERA XILINX, средств проектирования. Консультации по применению, услуги по проектированию.

ТОО фирма "Дисплей", Москва
тел. (095) 165-4309, 324-2788, факс 413-4440.
E-mail: aniva@firdisp.msk.ru

**СКОЛЬКО НУЖНО СДЕЛАТЬ ТЕЛЕФОННЫХ ЗВОНКОВ,
ЧТОБЫ КУПИТЬ ВСЕ НЕОБХОДИМЫЕ ВАМ ЭЛЕКТРОННЫЕ КОМПОНЕНТЫ?
ТОЛЬКО ОДИН.**

ЗВОНИТЕ В ФИРМУ "ЭЛЕКТРОННЫЕ КОМПОНЕНТЫ".

РОЗНИЧНАЯ И ОПТОВАЯ ПРОДАЖА ТОВАРОВ.



Около 10000 наименований деталей для сервиса компьютеров, TV-, VIDEO-, и AUDIO-техники со склада в Москве и более 20000 наименований под заказ по разделам:

- ☒ интегральные микросхемы;
- ☒ полупроводниковые элементы;
- ☒ оптоэлектроника;
- ☒ пассивные элементы;
- ☒ строчные трансформаторы;
- ☒ ремонтное и паяльное оборудование;
- ☒ измерительные приборы;
- ☒ источники питания;
- ☒ механика для радиотехники;
- ☒ с правочники фирм-производителей (CD-версия: SGS, Siemens, Samsung, IC-Master).
- ☒ техническая литература

- ☎ прием заказов по факсу и телефону,
- ☎ по России возможно почтовая доставка,
- ☎ каталог высылается по запросу

☎☎ (095)281-0429; 281-4025
E-mail: meta@elcomp.msk.ru

ТЕРМОРЕЗИСТОР — ОГРАНИЧИТЕЛЬ ПУСКОВОГО ТОКА ЛАМПЫ НАКАЛИВАНИЯ

В. ВЯХИРЕВ, М. ДУХНОВСКИЙ, г. Москва

Вопрос ограничения пускового тока, характерного для некоторых видов нагрузки, сейчас уже не нов. Напомним, что в журнале "Радио" еще в 1988 г. была помещена статья М. Франке (в разделе "За рубежом", в № 10, с. 61), посвященная "мягкому" включению ламп накаливания. В дальнейшем эту тему настойчиво развивал В. Банников (см., в частности, его статью "Защита электроосветительных приборов" в "Радио", 1990, № 12, с. 53). Авторы названных статей решали задачу ограничения пускового тока "электронным" способом, т. е. введением в цепь нагрузки электронного узла, способного изменять свое сопротивление по требуемому закону. Помещенная ниже статья знакомит читателей с другим решением этой задачи.

Пусковой ток лампы может быть ограничен на безопасном уровне, если на время разогревания ее спирали в цепь ввести токоограничительный резистор, который затем, после разогревания спирали, выкинуть. Эта же цель достигается включением последовательно с лампой элемента, имеющего отрицательный температурный коэффициент сопротивления (ТКС). Таким элементом является терморезистор, или, как его еще называют, термистор. В момент включения лампы ток в цепи будет ограничен значительным сопротивлением холодного терморезистора, который при этом быстро разогревается. После его разогревания ток лампы уже будет определять сопротивление спирали, которая к тому времени тоже разогреется и увеличит свое сопротивление (примерно в 10 раз).

Следовательно, при правильно подобранных параметрах терморезистора пусковое значение тока будет снижено в несколько раз. Это предотвратит локальный перегрев "слабых" участков спирали лампы, их дальнейшее разрушение и позволит продлить срок ее службы. Уменьшатся электромагнитные помехи и другие отрицательные явления, связанные с резким изменением тока в сети. А некоторая "плавность" в нарастании освещенности, если она возникнет, скорее всего станет приятной для глаз.

Терморезистор — ограничитель пускового тока лампы накаливания — представляет ряд очевидных требований.

Во-первых, нужно следить, чтобы терморезистор нагревался и остывал за время, сравнимое с временем разогревания спирали лампы. В противном случае он не сможет эффективно ограничивать ток на всем участке быстрого увеличения температуры спирали, а также не будет готов к выполнению своей функции в те-

чение некоторого времени после выключения лампы.

Во-вторых, начальное сопротивление терморезистора должно позволять ограничить пусковой бросок тока в момент включения лампы не менее чем в три раза, иначе защитный эффект будет незначительным.

В-третьих, сопротивление нагретого терморезистора во время горения лампы не должно быть более 1...2% сопротивления лампы, это исключит заметное уменьшение напряжения на самой лампе, могущее привести к понижению температуры ее спирали. Известно, что световое излучение лампы имеет резкую зависимость (четвертой степени) от температуры спирали; так, пятипроцентное уменьшение напряжения уменьшит, как минимум, на 20% световой поток от лампы.

В-четвертых, мощность, рассеиваемая нагретым терморезистором, не должна превышать предельного значения (для приборов из различных материалов эти значения разные).

И, наконец, пятое требование — их невысокая стоимость.

Из описанного выше в настоящее время терморезисторное на удалось най-

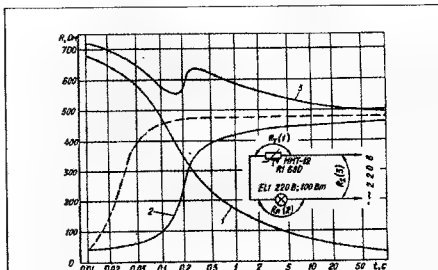


Рис. 1

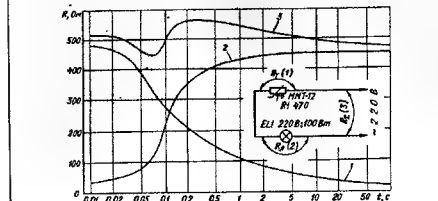


Рис. 2

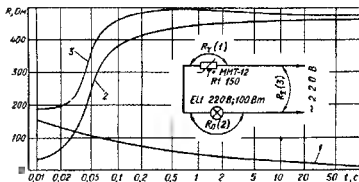


Рис. 3

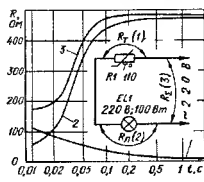


Рис. 4

ти прибор, полностью удовлетворяющий этим требованиям. Однако некоторые из них, например, ММТ-12 сопротивлением 680, 470 и 150 Ом, оказались пригодными для изучения переходных процессов в цепи лампы при ее включении. Эти приборы мы включали в испытательную цепь последовательно с лампой мощностью 100 Вт, питаемую от сети переменного тока напряжением 220 В.

На рис. 1—3 показаны экспериментально снятые временные зависимости сопротивления с момента включения в сеть испытательной цепи терморезисторов (кривые 1) и лампы (кривые 2), а также суммарного сопротивления цепи (кривые 3). На рис. 1 для сравнения штриховой линией изображена такая же зависимость сопротивления этой же лампы в отсутствие в ее цепи терморезистора. Кривая показывает, что время полного разогревания спирали лампы равно примерно 0,3 с.

Рассмотрев кривые 1 на рис. 1—3, можно заключить, что терморезисторы ММТ-12 разогреваются протекающим током за 10...80 с, т. е. время их разогревания в 30...270 раз больше, чем спирали лампы. Эти приборы обладают большой массой (1,7 г), с чем связано и связанная с ней большая тепловая инерционность. И хотя потеря яркости лампы (из-за существенной доли гудящего на разогрег терморезистора напряжения) почти незаметна на глаз, их вряд ли можно рекомендовать для широкого применения.

Графики на рис. 1—3 показывают также, что с уменьшением номинала терморезистора эффективность ограничения

начального тока лампы снижается. В испытательной цепи с терморезистором сопротивлением 680 Ом ток в момент включения несколько меньше, чем в установившемся режиме, и увеличивается по мере разогревания терморезистора и спирали лампы. При терморезисторе с номиналом 470 Ом общее сопротивление и, следовательно, ток почти не изменяются, при 150 Ом ток в момент включения примерно в четыре раза превышает установившееся значение. Выходит, что низкоомные терморезисторы из серии ММТ-12 менее пригодны для ограничения начального тока лампы мощностью около 100 Вт.

Однако при использовании терморезисторов этой серии сопротивлением более 1000 Ом, на них выделяется слишком большая мощность, приводящая к разрушению приборов. То же произойдет при повышении мощности лампы. С точки зрения потребляемой мощности необходим терморезистор с наименьшим сопротивлением в установившемся режиме (соответствующем конечному участку кривых 1). На низкоомном терморезисторе к тому же меньше падение напряжения.

Как видим, решение задачи сводится к определению некоего компромисса между двумя противоречивыми требованиями.

Нами изготовлены экспериментальные образцы терморезисторов из кремния, специально предназначенных для ограничения начального тока лампы накала мощностью 60...150 Вт. Масса одно-

го прибора примерно равна 0,007 г, начальное сопротивление 110 Ом. Из рис. 4 видно, как изменяется сопротивление такого терморезистора, включенного последовательно в цепь лампы накала мощностью 100 Вт (кривая 1), лампы накала (кривая 2) и суммарное — лампы и терморезистора (кривая 3). Конечное сопротивление его равно 11 Ом. Это хотя меньше, чем у ММТ-12 (соответственно — 28, 24 и 21 Ом в том порядке, как на рис. 1—3), но все же довольно велико — около 2% от сопротивления нагретой лампы.

В ближайшее время мы предполагаем изменить конструкцию терморезистора с целью значительно снизить (в 3...8 раз) его сопротивление, а значит, и потребляемую мощность в нагретом состоянии.

Для кардинального уменьшения сопротивления терморезистора в нагретом состоянии перспективны, на наш взгляд, два направления работы. Первое — установка терморезистора в баллона лампы вблизи спирали и использование для его нагрева на только джоулевого тепла, но и тепла излучения спирали лампы. Второе — создание комбинированной конструкции — совместно работающей на одном кремниевом кристалле терморезистора и симистора. В этой структуре носители заряда, генерируемые в результате разогревания зоны терморезистора, будут диффундировать в зону симистора и открывать его, а терморезистор, шунтируемый симистором, после этого остынет и не будет потреблять мощности.

ОБМЕН ОПЫТОМ

ЗАМЕНА ДАТЧИКА

В течение первого года эксплуатации магнитофона-приставки "Вега МП-122С" дважды возникали отказы, связанные с выходом из строя индукционного датчика в стабилизаторе частоты вращения двигателя ведущего вала. Учитывая дефицит таких датчиков в мастерской, а также высокую стоимость ремонта, предлагаю вариант замены датчика скорости типа "Старт ДС-4" универсальной магнитной головкой от старого катушечного монофонического магнитофона, например от "Чайки-66".

Чтобы после установки ее рабочий валзор был расположен ближе к середине зубчатой поверхности маховика ведущего вала, следует перевернуть головку в экран на 180°, а также обрезать выступающую часть экрана. Экран с головкой устанавливается на посадочное место штатного датчика. Положение головки регулируют смещением ее в экране или огибаю экрана так, чтобы между поверхностью головки и зубцами маховика вала был зазор 0,2...0,4 мм.

После установки ЛПМ на место следует проверить скорость вращения ведущего вала и, если необходимо, произвести корректировку скорости резистором R28.

В таком варианте ремонта можно использовать в качестве датчика любые универсальные высокоомные головки от ламповых магнитофонов, отличающиеся высокой чувствительностью при большой высоте набора сердечника. Ширина зазора магнитной головки не критична, важно лишь, чтобы вся рабочая поверхность головки была ровной. При наличии выступающей поверхности поверхности необходимо снять мелкой наждачной бумагой или камнем. Размер экрана по высоте должен быть не более 20 мм.

А. КИРСАНОВ

г. Пятигорск

МОЩНЫЕ ТЕРМОРЕЗИСТОРЫ С ОТРИЦАТЕЛЬНЫМ ТКС

По определению ГОСТ 21414—75, терморезистор — это полупроводниковый резистор, основное свойство которого заключается в способности изменять свое электрическое сопротивление при изменении его температуры. Самыми первыми устройствами, где эти приборы нашли применение в качестве чувствительных датчиков, были измерители и регуляторы температуры. Для этой цели в настоящее время промышленность выпускает миллионы разнообразных терморезисторов, используемых во всех отраслях техники в самом различном оборудовании, установках и аппаратах, начиная от систем управления космическими кораблями, автомобильными двигателями, воздушными кондиционерами и кончая устройствами защиты электродвигателей от перегрева.

Все многообразие известных в настоящее время вариантов технического применения терморезисторов базируется на четырех основных принципах их работы. По этому признаку все варианты также делят на четыре условные группы.

К первой относят те, в которых сопротивление прибора изменяется вследствие изменения температуры или других параметров окружающей среды. Протекающий через прибор ток столь мал, что практически не может его разогреть и служит лишь для измерения сопротивления. Рабочим участком ВХХ терморезистора выделяют обычно ее линейный участок (ВА на рис. 1), на котором с большой степенью точности выполняется закон Ома. В эту группу входят измерители температуры, влажности и других параметров, узлы температурной компенсации и стабилизации в различной аппаратуре.

Вторая группа — устройства, в которых сопротивление терморезистора изменяется вследствие разогривания его протекающим током, колебания температуры окружающей среды имеют второстепенное значение. Рабочим здесь служит участок ВХХ, на котором дифференциальное сопротивление прибора отрицательно (БВ на рис. 1). К этой группе относят узлы защиты от превышения напряжения, переключающие устройства, реле времени, ограничители тока, узлы термостабилизации в генераторах и др.

Третья группа объединяет признаки первых двух. Прибор может быть значительно нагрет током, но тепловой баланс и, следовательно, сопротивление в заметной степени зависит и от влияния окружающей среды. На этом основано действие газоанализаторов, устройств температурного контроля и пожарной сигнализации, использующих возникновение релейного эффекта при определенной температуре.

Для устройств четвертой группы характерно нагревание терморезистора значительно выше окружающей температуры, однако в этом случае его сопротивление определено током, протекающим через специально подогретую обмотку, электрически изолированную от терморезистора. Такие приборы принято называть терморезисторами с косвенным подогревом. Их используют как бесконтактные переменные резисторы, в узлах термостабилизации амплитуды сигнала, в измерителях скорости течения жидкост-

ти и газа, в регуляторах усиления в аппаратура телефонных связи.

История терморезисторов началась в 1833 г., когда М. Фарадей обнаружил отрицательный температурный коэффициент сопротивления (ТКС) у сульфида серебра. Современные приборы с отрицательным ТКС изготавливают из оксидных систем никель—марганец—медь, никель—марганец—кобальт—медь, марганец—медь, кобальт—медь и др.

Полупроводниковые терморезисторы имеют ряд серьезных преимуществ в сравнении с другими термодатчиками — ртутными термометрическими, термопарами и т. д. Здесь следует отметить в первую очередь высокую термочувствительность, достигающую 8%/°C. Это позволяет получить высокую точность измерения параметров (например температуры) при сравнительно низкой чувствительности измерительного аппарата.

Малые габариты терморезисторов обеспечивают их небольшую тепловую инерцию, а широкий выбор формы и размеров — удобство монтажа даже в труднодоступных местах. Широкий интервал значений сопротивления терморезисторов — вплоть до десятков мегаом — позволяет пренебречь сопротивлением контактов и подводящих проводников.

Важнейшей характеристикой терморезистора является температурная зависимость сопротивления. На рис. 2 в качестве примера показаны эти зависимости для терморезисторов ТР-10 сопротивление 10 и 330 Ом.

К основным параметрам приборов следует, в первую очередь, отнести номинальное сопротивление, R_n (Ом) — электрическое сопротивление, измеренное при нормальной температуре T_n (обычно при 20°C, иногда при 25°C). Статическое сопротивление R_s терморезистора с отрицательным ТКС в рабочем температурном интервале изменяется по следующему закону:

$$R_s = R_n e^{(T_n - T)/\beta},$$

где T — текущее значение температуры прибора в К; переход от шкалы Цельсия к шкале Кельвина описывает соотноше-

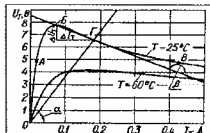


Рис. 1

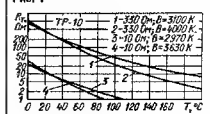


Рис. 2

ние: $T(K) = 273,15 + T(^{\circ}C)$; R_n — соответствующее ему значение сопротивления, В — постоянная, характеризующая материал, из которого выполнен прибор; она определяет, какую энергию необходимо затратить, чтобы перевести электроны полупроводникового материала в энергетическое состояние проводимости; численное значение постоянной, выраженное в градусах Кельвина, указывает в технических условиях.

ТКС терморезистора, α (%/°C) — отношение первой производной его сопротивления по температуре к сопротивлению при этой температуре (ГОСТ 21414—75). Иначе говоря, выраженное в процентах относительное изменение его сопротивления при изменении температуры на градус Цельсия. Для терморезисторов зависимость ТКС от температуры выглядит так:

$$\alpha = -(B/T^2)100 \%$$

ТКС зависит от температуры и характеризует прибор лишь в определенной точке температурного интервала.

Коэффициент рассеяния мощности, H (Вт/°C) — относительная мощность, рассеиваемая прибором, к изменению его температуры при определенной температуре окружающей среды:

$$H = P/(T - T_{\text{ср.ок}})$$

Коэффициент энергетической чувствительности, G (Вт/%) — величина, численно равная мощности, которую нужно подвести к терморезистору для уменьшения его сопротивления на 1%:

$$G = \frac{P}{R_2 - R_1} 100\%$$

где R_1 и R_2 — значения сопротивлений до и после подведения мощности P . Коэффициенты рассеяния мощности и энергетической чувствительности, зависящие от свойств полупроводникового материала терморезистора и характера его теплообмена с окружающей средой, взаимосвязаны следующим соотношением:

$$G = H/\alpha.$$

Теплоемкость терморезистора, C (Дж/°C) — величина, численно равная энергии (тепловой), необходимой для повышения температуры прибора на 1°C.

Тепловая постоянная времени, t_c (с) — время, в течение которого температура терморезистора изменится (уменьшится) на 63% от первоначальной разности значений температуры прибора и окружающей среды. Величины C , H и t_c связаны между собой соотношением:

$$t_c = C/H$$

Статическое сопротивление, R_s (Ом) — отношение падения напряжения на терморезисторе U_s к протекающему через него току I , в установившемся режиме:

$$R_s = U_s/I_s$$

Статическое сопротивление остается всегда положительным и уменьшается по мере удаления рабочей точки по статической ВХХ от начала координат; оно пропорционально тангенсу угла α (см. рис. 1), образованного осью тока и линией, соединяющей начало координат с рабочей точкой на ВХХ.

Дифференциальное сопротивление терморезистора, R_d (Ом) — величина, равная пределу отношения приращения напряжения на приборе к соответствующему приращению тока через него, ко-

Таблица 1

Терморезистор	Размеры, мм				Масса, г, не более
	D	b	d	A	
ТР-10-4,7-1,5	9	3	0,8	7,5	0,6
ТР-10-4,7-3,4	13	4	0,8	9	1
ТР-10-5,6-0,6	6	3	0,6	4	0,4
ТР-10-5,6-6	25				5,3
ТР-10-10-5	21	6	0,8	10	4
ТР-10-10-7	25				6
ТР-10-16-0,3	4	2,5	0,3	2,5	0,3
ТР-10-16-0,8	6	3		5	0,5
ТР-10-16-1,7	9,5	4		7,5	0,8
ТР-10-16-2	12				1,2
ТР-10-16-3	17				1,9
ТР-10-47-2	14				0,8
ТР-10-150-3		4,5	0,8	9	
ТР-10-330-3					
ТР-10-510-2	17				1,6
ТР-10-820-2					
ТР-10-1200-2					

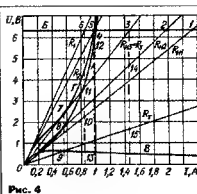


Рис. 4

здать простые, надежные и дешевые (из-за минимального числа применяемых деталей) устройства защиты

Для защиты нити накала кинескопа 61ЛК3Ц последовательно с ней включили терморезистор ТР-10-4,7-1,5. Способ защиты основан на компенсации отри-

Таблица 2

Терморезистор	Номинальное сопротивление при 25 °С, Ом	Допускаемое отклонение сопротивления, %	Максимальное допустимое токи, А	ТКС при 25 °С, %/°С	Постоянная материала, К	Коэффициент энергетической чувствительности, мВт/°С	Тепловая постоянная времени, с	Коэффициент рассеивания мощности, мВт/°С	Теплоемкость, Дж/°С
ТР-10-4,7-1,5	4,7		1,5	3,3...4,1	2970...3630	3,2	62	12	0,62
ТР-10-4,7-3,4			3,4			4,1	80	15	1,2
ТР-10-5,6-0,6	5,6	±20	0,6			2,2	20	9	0,18
ТР-10-5,6-6			6			6,3	230	20	5,75
ТР-10-10-5	10		5			5,8	200	23	4,6
ТР-10-10-7			7			6,3	230	25	5,75
ТР-10-16-0,3			0,3	3,6...4,4	3195...3980	2	17	8	0,14
ТР-10-16-0,8			0,8			2,5	50	10	0,5
ТР-10-16-1,7	16	±15	1,7			3	80	12	0,7
ТР-10-16-2			2			3,5	80	14	1,12
ТР-10-16-3			3			5,8	115	22	2,53
ТР-10-47-2	47		2			4	80	16	1,44
ТР-10-150-3	150		3						
ТР-10-330-3	330								
ТР-10-510-2	510	±20		3,5...4,5	3100...4000	5,6	115	22	2,53
ТР-10-820-2	820		2						
ТР-10-1200-2	1200								

Примечания: 1. Рабочий температурный интервал терморезисторов серии ТР-10 — 60... +155 °С. 2. Максимально допустимое напряжение приборов — 253 В.

3. Максимально допустимое напряжение

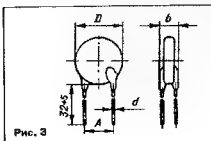


Рис. 3

да приращение тока стремится к нулю. Дифференциальное сопротивление пропорционально тангенсу угла β, образованного касательной к ВАХ, проведенной через рабочую точку, и осью тока (см. рис. 1). В точке характеристики, соответствующей наибольшему напряжению,

дифференциальное сопротивление равно нулю; правее этой точки оно становится отрицательным.

В настоящее время разработан и серийно выпускается ряд типовых терморезисторов с отрицательным ТКС. Общий вид терморезисторов показан на рис. 3, а основные размеры — в табл. 1. Электрические характеристики приборов представлены в табл. 2.

В заключение рассмотрим один из примеров применения терморезистора с отрицательным ТКС для ограничения пускового начального тока телевизионного кинескопа. Укажем здесь, что в статье В. Банникова "Защита накала кинескопа" ("Радио", 1993, № 4, с. 8, 9) подробно описан механизм старения и выхода из строя нити накала. В статье, кстати, отмечено, что из-за отсутствия промышленного выпуска мощных терморезисторов с отрицательным ТКС невозможно со-

ставить ТКС терморезистора положительному ТКС нити накала.

И нить, и терморезистор — нелинейны по сопротивлению. Аналитический расчет таких цепей крайне громоздок, поэтому удобнее использовать графический метод. На рис. 4 изображены ВАХ нити накала кинескопа (А), источника питания нити (Б), терморезистора (В), последовательной цепи нить-терморезистор (Г), трех мгновенных значений сопротивления нити накала (R_{A1} , R_{A2} , R_{A3}), мгновенного значения сопротивления терморезистора (R_B) и трех мгновенных значений сопротивления последовательной цепи нить-терморезистор ($R_{Г1}$, $R_{Г2}$, $R_{Г3}$).

(Окончание следует)

Материал подготовили
В. ГАВРИЛОВ, В. ТЮХ

г. Котловск Тамбовской обл.

НАША КОНСУЛЬТАЦИЯ

**БАНИКОВ В. ДВУТОНАЛЬНАЯ СИРЕ-
НА ПОВЫШЕННОЙ МОЩНОСТИ. — РА-
ДИО, 1995, № 2, с. 34, 35.**

Печатная плата.

Чертеж возможного варианта печатной платы устройства изображен на рис. 1. Ее желательно изготовить из фольгированного стеклотекстолита толщиной 1,5...2 мм. Плата рассчитана на установку постоянных резисторов МЛТ, оксидных конденсаторов К52-1 (К52-1Б) и кермических КМ. Не показанный на принципиальной схеме (рис. 1 в статье) бло-

кировочный конденсатор С6* — КМ-5 емкостью 0,047...0,1 мкФ.

На плату размещены все детали, кроме кнопки SB1 и динамической головки BA1. Пружинящие контакты-держатели предохранителя FU1 (ПМ) припаяны к площадкам фольги, оставленным на пластине из фольгированного стеклотекстолита размерами 25х6х1,5 мм. К этим же площадкам припаяны и проволоочные стойки диаметром 1 мм, с помощью которых пластина закреплена на плате.

Транзисторы VT1—VT4 установлены на Г-образных теплоотводах, согнутых из по-

лос листового (толщиной 2 мм) вольфрамиевого сплава АМЦ-П размерами 50х20 мм (размеры полков для крепления к плате — 20х15 мм). Штриховыми линиями на рис. 1 показаны проволоочные перемычки, установленные со стороны деталей.

**ЯКОВЛЕВ Г. ПРИМЕНЕНИЕ МИКРО-
СХЕМ СЕРИИ К174 В УСИЛИТЕЛЯХ ЗЧ.
— РАДИО, 1994, № 12, с. 12—14.**

Печатная плата.

Чертеж печатной платы и расположение на ней деталей стереофонического (по схеме на рис. 6 в статье) и монофонического (рис. 7 там же) усилителей мощности ЗЧ показаны на рис. 2 (за основу взят рисунок, приведенный в [6] списка литературы к статье). Плату рекомендуется изготовить из фольгированного стеклотекстолита толщиной 1...1,5 мм.

Для сборки обоих усилителей автор использовал радиаторы МЛТ, конденсаторы К73-17 (C1, C2, C4, C10, C11) и К50-35 (остальные). При монтаже монофонического усилителя резистор R4 необходимо установить на место элемента, показанного на чертеже штриховыми линиями, вместо конденсаторов C12 и C13 впаивать проволоочные перемычки (изображены штриховыми дугами). Кроме того, надо изолировать, как показано светлой штрих-пунктирной линией, часть печатной проводники с отверстиями под правый (по чертежу) вывод конденсатора C8 и левый вывод резистора R7 (в скобках указаны позиционные обозначения резисторов R6 и R7 по схеме на рис. 7). Имеющиеся в плате «лишние» отверстия (на продолжении выводов конденсаторов C1, C2, C10, C12) используют в том случае, если не удастся приобрести малогабаритные детали. На место конденсатора с позиционным обозначением C3 устанавливаются конденсаторы с одинаковыми выводами (К50-35, К50-16), на место C' — с разнонаправленными (К20-29, К52-10, К53-18).

Микросхема DA1 установлена на Г-образном дюралиминиевом теплоотводе размерами 80х80х60 мм, закрепленном на плате четырьмя винтами с гайками. Был опробован также угольный тепловод меньших размеров (80х20х25 мм). К какому-либо заметному ухудшению параметров усилителей это не привело.

Для соединения с предварительным усилителем ЗЧ, динамической головкой BA1 и источником питания применен разъемный соединитель МРН-14, вилка которого закреплена на плате.

ВНИМАНИЮ ЧИТАТЕЛЕЙ

Редакция консультирует только по статьям, опубликованным в журнале «Радио». Вопросы порезов статей просим писать разборчиво на отдельных листах. Обязательно укажите название статьи, ее автора, год, номер и страницу в журнале, где она опубликована. Если Вы хотите, чтобы Ваш материал в индивидуальном порядке, а именно, пожелать, маркированный конверт надписанным Вашим адресом. Консультация дается бесплатно.

Адресов авторов базиса согласия редакции не сообщает. Если возникли вопросы, некоторые, не Вашему мнению, может ответить только автор статьи, пожалуйста, пишите нам, а мы передадим его автору. Не забудьте в этом случае вложить два маркированных конверта: один — чистый, другой — с надписанным Вашим адресом.

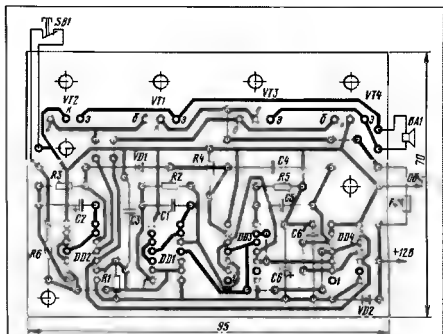


Рис. 1

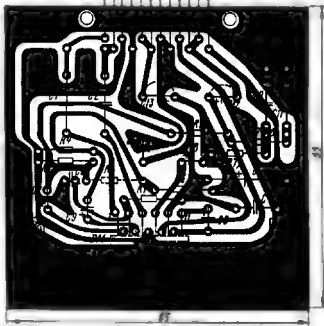


Рис. 2



Недорогие приборы, удачно сочетающие компактность с высоким качеством измерений. Отличаются от аналогов:

- * способностью измерять силу тока величиной до 10 А
- * входной импеданс 10 МОм на всех п/диапазонах измерения напряжения
- * надежной защитой всех входов от перегрузок
- * преобразователь среднеквадратического значения, используемый в этих приборах обеспечивает точные измерения сигналов произвольной формы в диапазоне частот от 20 Гц до 100 кГц

Благодаря 3 1/2 разрядному ЖК-дисплею и высокой базовой точности прибора, позволяют проводить измерения с высокой разрешающей способностью. Дополнительно снабжены автоматической индикацией перегрузки и индикацией полноты измеряемого напряжения. Модель В7-58 имеет возможность питания от блока батарей 9 В.



По точности и полосе частот измеряемых сигналов не уступают многим настольным приборам.

Имеют небольшую потребляемую мощность за счет использования ЖКИ.

Большие контрастные символы на индикаторе позволяют работать при больших уровнях освещения, даже при прямой солнечной засветке.

Надежная защита входов на всех п/диапазонах.

Дополнительно обладают рядом особенностей, создающих удобство при эксплуатации:

- * питание от источника 3 В
- * индикация полярности исследуемого сигнала, перегрузки, разряда батарей,
- * звуковой сигнал в режиме проверки электропроводности
- * тестирование р-п перехода

Напряжение постоянного тока, В	$10^{-4} - 10^3$		
Основная погрешность, %	0,15	0,25	0,6
Напряжение переменного тока, В	$10^{-3} - 700$	$10^{-4} - 750$	
Основная погрешность, %	0,6	1	1,2
Диапазон частот, Гц	$20 - 10^5$	$20 - 2 \cdot 10^4$	$20 - 450$
Постоянный ток, А	$10^{-7} - 10$	$10^{-6} - 2$	$10^{-3} - 2$
Основная погрешность, %	0,2	0,4	1
Переменный ток, А	$10^{-7} - 10$	$10^{-6} - 2$	$10^{-3} - 2$
Основная погрешность, %	1	1	2
Диапазон частот, Гц	$40 - 2000$	$40 - 1000$	$40 - 450$
Сопротивление постоянному току, Ом	$0,1 - 2 \cdot 10^6$		
Основная погрешность, %	0,2		

БЕЛВАР обеспечивает гарантийное и техническое обслуживание в любой точке СНГ.

По Вашему желанию квалифицированные специалисты окажут помощь в выборе необходимого оборудования для решения Ваших измерительных задач.

Официальные представительства:

Екатеринбург Приборы и ВТ - (3432) 41-13-33

Ижевск Радио-сервис - (3412) 37-56-25, 37-96-52

Новосибирск ТОО Приборы и ВТ - (3832) 47-28-67

Самара Роскомснаб - (8462) 66-60-36

С-Петербург ТОО "Диком" - (812) 119-14-78

Приборы - (812) 290-53-29



Проводится
подписка
на российский
ежемесячный
журнал

по спутниковому телевидению

"ТЕЛЕСПУТНИК"

Публикуются материалы по программам развития спутникового ТВ, спутниковой связи и кабельного ТВ, аппаратуре, ежедневные программы передач; открыта справочно-рекламная рубрика.

Цветная полиграфия.

Печатается в Финляндии.

Стоимость подписки до 31 января одного номера на один месяц (по России):
XI, XII/95 г. - 18 000 руб., 1996 г. - 20 000 руб.

*Приглашаем к сотрудничеству
региональных распространителей.*

1233633, Москва, аб. ящ. 60

Телефон/факс: (095) 492-50-25, 495-31-55.

АО САМАРСКИЙ ЗАВОД "ЭКРАН"
предлагает:

✓ **КОМПЛЕКС-5М** - радиорелейная станция (диапазон 11 ГГц), 2 дуплексных ствола, от 30 до 240 телефонных каналов, возможна передача телевизионной программы по одному стволу при сохранении телефонии по 2-му стволу, длина одного пролета до 50 км.

✓ **ПЧМ-30** - радиовещательный УКВ-ЧМ передатчик (66...74 МГц) моно- и стереорежимы, выходная мощность 30 Вт. Возможна поставка антенны и усилителя мощности УМ-300Н (300 Вт)

✓ **СТВ** - приемник спутникового телевидения - обеспечит качественный прием программ Российского телевидения в любой местности.

✓ **АКУСТРОН**, "РАСХОД-7" - ультразвуковые счетчики расхода воды и др. жидкости. Точность 0,5...1 %, диаметр трубопроводов 10...1400 мм.

✓ **ММ-2** - цифровой мультиметр (измерение постоянного и переменного токов, сопротивления, напряжений), активное входное сопротивление 1 - МОм. Вес - 300 г, габариты - 150х80х30 мм.

✓ **КАСКАД-МИКРО** - УКВ - стереоприемник для прослушивания стереорадиопередач УКВ диапазона (64...75 МГц) на головные телефоны.

Адрес: 443022, г. Самара, пр. Кирова, 24

Телефоны: (846-2) 27-18-54, 29-25-87.

Факс (846-2) 27-18-34.

Вы хотели бы купить современный компьютер по почте?
Это реально!!!

Фирма «СКОРПИОНЪ» (С.-Петербург) предлагает самые совершенные и постоянно развивающиеся ZX Spectrum-совместимые компьютеры

Scorpion® ZS-256
Разработка 1992-95 гг.

Варианты поставки по почте:

Настроенная плата 44-59 у.е.

Набор для сборки 115-125 у.е.

Готовый компьютер 125-135 у.е.

На 01.12.95 1 у.е. = 5000 руб.

Почтовые расходы - дополнительно 15%

Сроки выполнения заказа 3-4 недели

Всегда в продаже дисководы 5.25/3.5", клавиатуры, корпусы, джойстики, любые блоки питания, другие сопутствующие компоненты. Огромный выбор программ и литературы, как для начинающих, так и для опытных пользователей.

Для Scorpion ZS 256 разработаны и выпускаются: контроллеры IBM-клавиатуры и Keyboard-plus, IBM (Pages)-модема, MIDI, световой пистолет, Союз, программатор, расширитель памяти. Все устройства поддерживают соответствующий программным обеспечением и подробной документацией, все они могут быть подключены и к другим Spectrum-совместимым компьютерам.

Если протестировать Spectrum Вас уже не устраивает и Вы хотите его усовершенствовать, если Вы хотите не только играть, но и разработать свои собственные программы, если Вам необходим недорогой и надежный компьютер для ведения любых дел, то Scorpion - это то, что Вам нужно!

Dandy и Sega - для новичков, IBM - для богатых,

Scorpion - для всех остальных!

Для получения подробной информации пошлите запрос по адресу:
199048, Санкт-Петербург, а/я № 083, Сергею Зонову.
Тел. (812) 524-16-53, 172-69-94

Технические характеристики:

Полная совместимость с ZX Spectrum

ОЗУ 256 Кб, ПЗУ 64-256 Кб

Процессор Z80 (3.5 / 7 МГц)

Встроенный контроллер дисков

Трехканальный музыкальный процессор

Полная поддержка принтера

Телев. Сервис-Монитор от МОА

Специальный режим для расширения

РАДИОТОВАРЫ - ПОЧТОЙ
КНИГА - ПОЧТОЙ

Жителям РОССИИ высылаем:

- Широкий ассортимент радиотехнической, справочной и литературы по программированию ведущих издательств России и ближнего зарубежья,
- Литературу по эксплуатации, техобслуживанию и ремонту отечественных легковых автомобилей;
- Литературу по домашнему хозяйству;
- Интегральные аналоговые и цифровые микросхемы бытовой аудио- и видеоаппаратуры отечественного и зарубежного производства;
- Кварцевые резонаторы и фильтры;
- Комплектующие телевизоров 3-6-го поколений;
- Узлы и детали российских видеоманитрофонов;
- Комплектующие и рекомендации для самостоятельной сборки IBM-совместимых компьютеров различной конфигурации, компьютеры Second Hand

Вы получите **БЕСПЛАТНЫЙ** каталог и правила нашей работы, прислав вложенный конверт со своим обратным адресом и указанием интересующих книг и товаров

Два года на рынке почтовых услуг!

Постоянное расширение ассортимента!

107113, г. Москва, а/я 10, "DESSY"

тел. (095) 264-74-02 с 10 до 16 ч.

E-mail: postshop@dessy.msk.ru

**Микросхемы
Транзисторы
Диоды
Конденсаторы
Кварцы
Резисторы
Разъемы
Реле**

Оптом и мелким оптом

продукция более 50 предприятий России и ближнего зарубежья.
Низкие цены и отличный сервис.
Оптовый склад в центре Москвы.
Большой выбор товаров с приемкой "5" и "9".

Прямые поставки из Тайваня по минимальным ценам:
электролитические конденсаторы, резисторы, кварцы,
панельки, разъемы, ленточное
оборудование, мультиметры.

Доставка товаров почтой по России и за рубеж.
Бесплатный каталог для предприятий.

Москва, ул. Гусинского, 39 (ст. метро "Проспект Мира")



ПЛАТАН

Фирма "Платан"
поставляет оптом со склада
и на заказ по низким ценам,
электролитические конденсаторы
ведущих тайваньских
фирм Arc, Yea Hwa, Res.

НОМИНАЛЫ:

от 0,47 мкФ до 10000 мкФ
от 6,3 В до 450 В

От отечественных аналогов
K50-35 и K50-38
они отличаются
меньшими габаритами
и повышенной надежностью.

СРАВНИТЕ ЦЕНЫ:

10 мкФ	X 25 В	- 110 руб.
10 мкФ	X 450 В	- 1600 руб.
22 мкФ	X 25 В	- 120 руб.
470 мкФ	X 16 В	- 300 руб.
1000 мкФ	X 50 В	- 2000 руб.
4700 мкФ	X 25 В	- 3100 руб.

Поставляются также конденсаторы
осциллографного типа и со специальными
параметрами:

- с расширенным температурным диапазоном
- с низкими токами утечки
- с низким импедансом
- неполярные
- суперминиатюрные
- импульсные
- большой емкости.

ЭРА

ВСЕ ДЛЯ ВИДЕОПРОИЗВОДСТВА И КОМПЬЮТЕРНОЙ ГРАФИКИ

Немедленно со склада!

Газета "ЭРА"



BETACAM SP

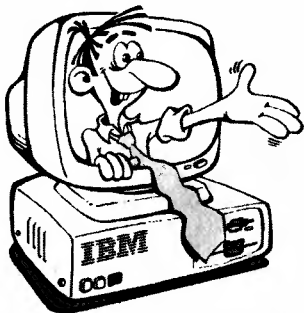
Digital BETACAM

Москва: 556-20-24
556-24-63

Фотос: 100-15-00
100-15-00

Владельцы АТС "КВАНТ" !

НПК "Квант-Сервис" рад сообщить о выпуске
АВТОМАТИЗИРОВАННОГО РАБОЧЕГО МЕСТА
ОПЕРАТОРА АТС "КВАНТ"
НОВОГО ПОКОЛЕНИЯ.



Помимо уже знакомых Вам функций (ввод - вывод программ, замена телетайпа, генерация ПО, графический трафик, электронная картотека, обслуживание многомашиных комплексов, работа со всеми видами ЦУУ) появились новые:

- └ Повременный учет стоимости любых видов соединений
- └ Дистанционное управление станцией (функция ЦТО)

АРМ оператора АТС

"КВАНТ" -

ЭТО МОЩНОЕ РАСШИРЕНИЕ ВОЗМОЖНОСТЕЙ ВАШЕЙ АТС.

По вопросам приобретения АРМ и выполнения других работ на АТС "Квант" обращайтесь к нам:

по телефонам (8 381-2) 24-00-37, 25-73-74, тел/факс 25-67-60,

Телетайп 216336 ИВА

Почтовый адрес: 644007, Омск-7, ул. Яковлева, 143, "Квант-Сервис"

E-mail: kvant@oms.omsk.su

или к нашим дилерам:

г. Самара ТОО "Телеком", т. (8 846-2) 63-86-41

г. Пермь, фирма "Алвик", т. (8 342-2) 27-73-98

г. Нижний Новгород, АО "Электросвязь" т. (8 831-2) 37-07-96

г. Уфа, ТОО "Капон", т. (8 347-2) 21-08-56